

LHC Run2の現状と展望

戸本 誠

名古屋大学大学院理学研究科
タウ・レプトン物理研究センター

自己紹介

戸本 誠 名古屋大学大学院理学研究科 准教授

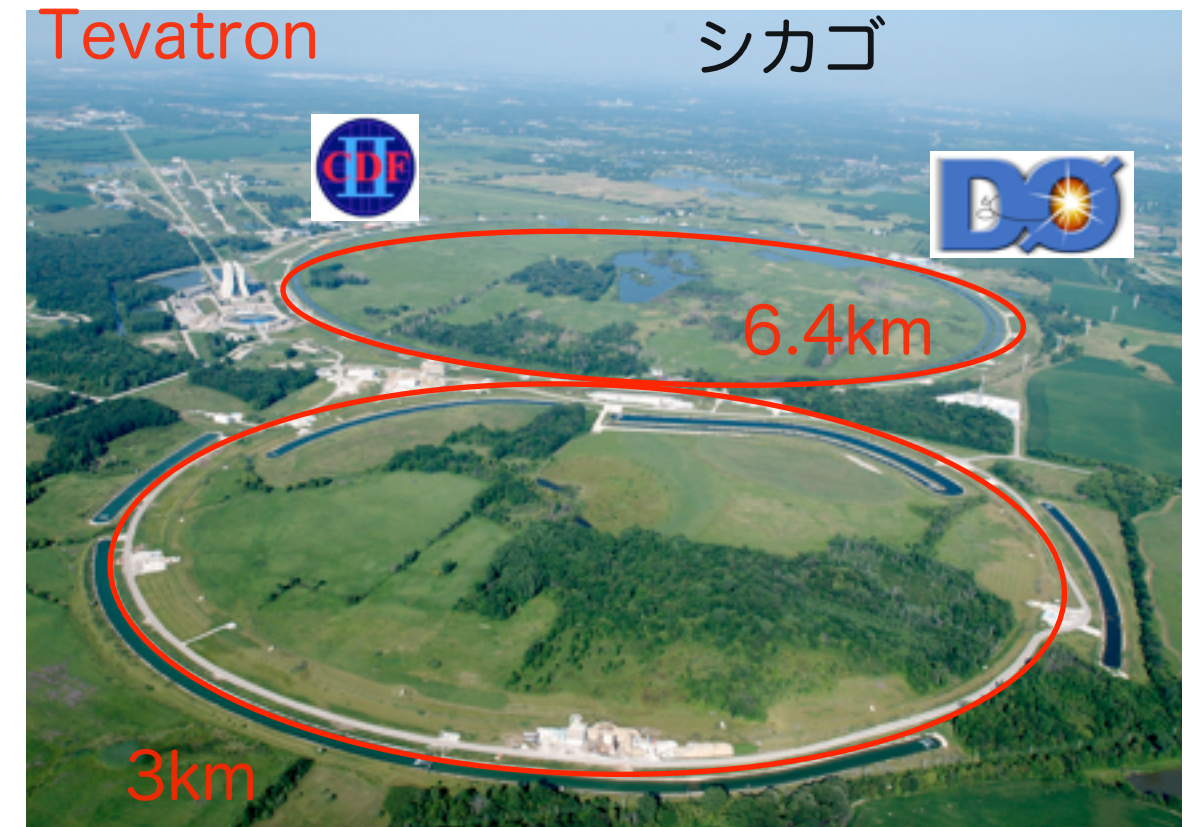
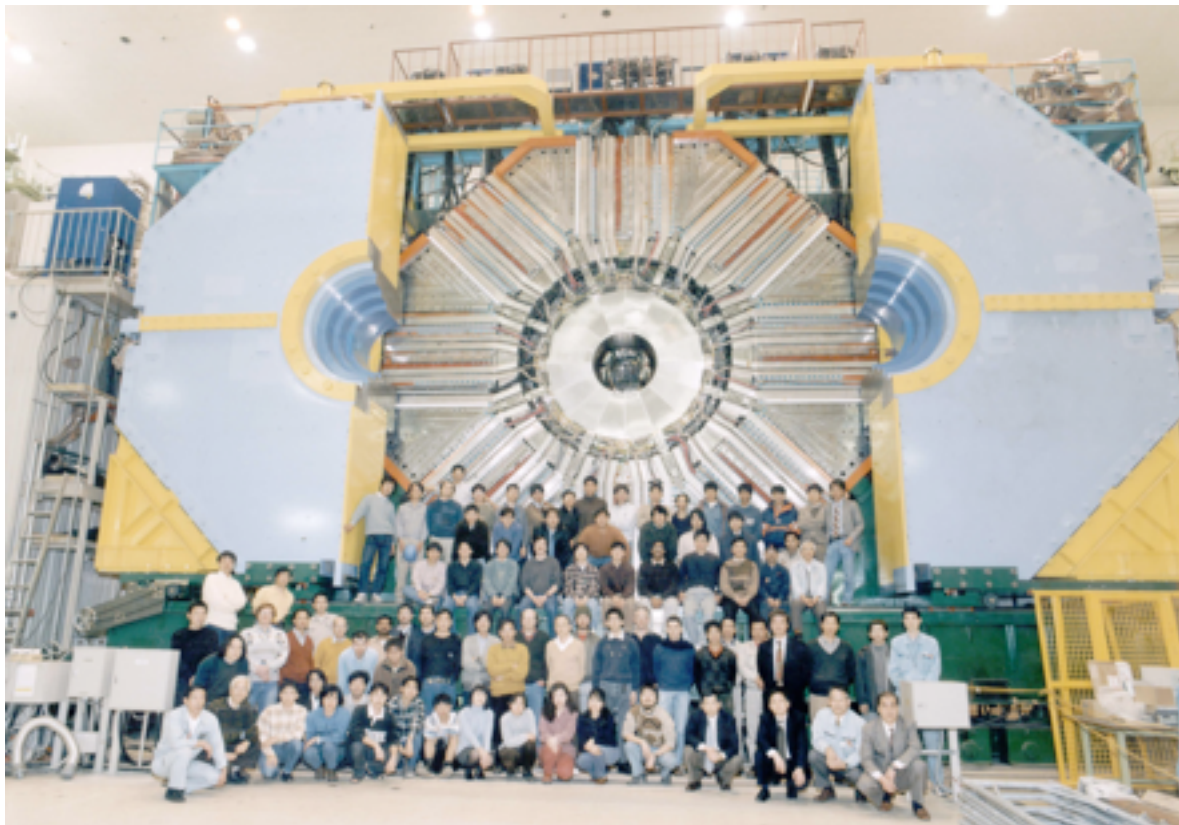
1971年：名古屋市中村区にて誕生。名古屋育ち

2000年：名古屋大学大学院理学研究科 博士(理学)取得

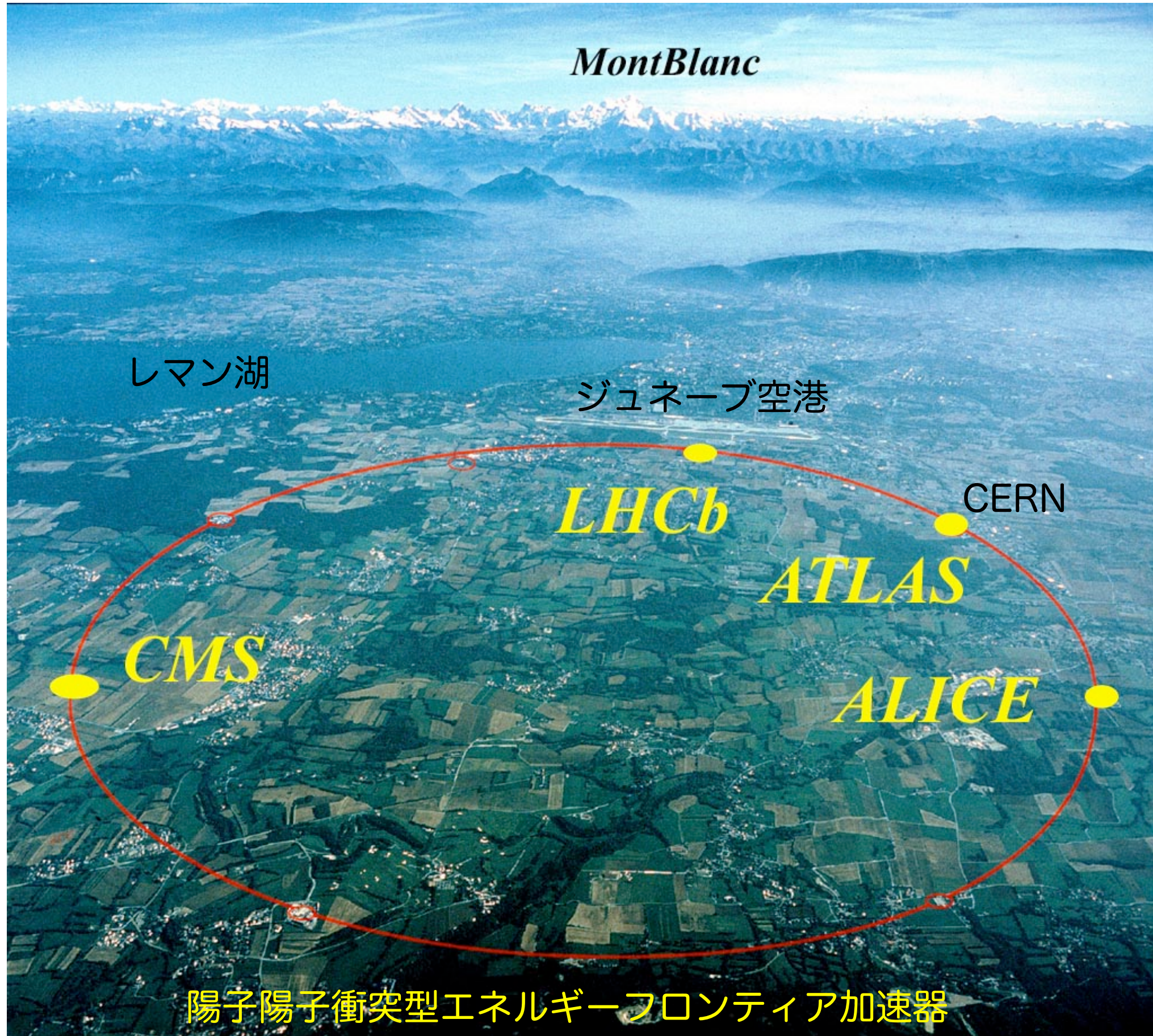
「Belle実験に於けるダイレプトン事象を用いた $B_d^0 \bar{B}_d^0$ 振動現象の測定」

2001年～：米国Fermi研究所 Research Associate
Tevatron-D0実験でヒッグス粒子探索

2006年～：現職
LHC-ATLAS実験でヒッグス物理、トップクォーク物理、新物理探索



Large Hadron Collider



LHC実験のこれまでの歩み

~2009	: 建設	
2009	: 加速器事故	
2010	: Physics run開始	
2011	: $\sqrt{s}=7\text{TeV}$ の物理データ収集	
2012	: $\sqrt{s}=8\text{TeV}$ の物理データ収集	} Run 1
2012/7/4	: ヒッグス粒子の発見	
2013-2015	: Shutdown	
2015	: $\sqrt{s}=13\text{TeV}$ の物理データ収集	Run 2

Publishされた論文数：434！
(2015年10月1日)

Run 1 : 2010 - 2012

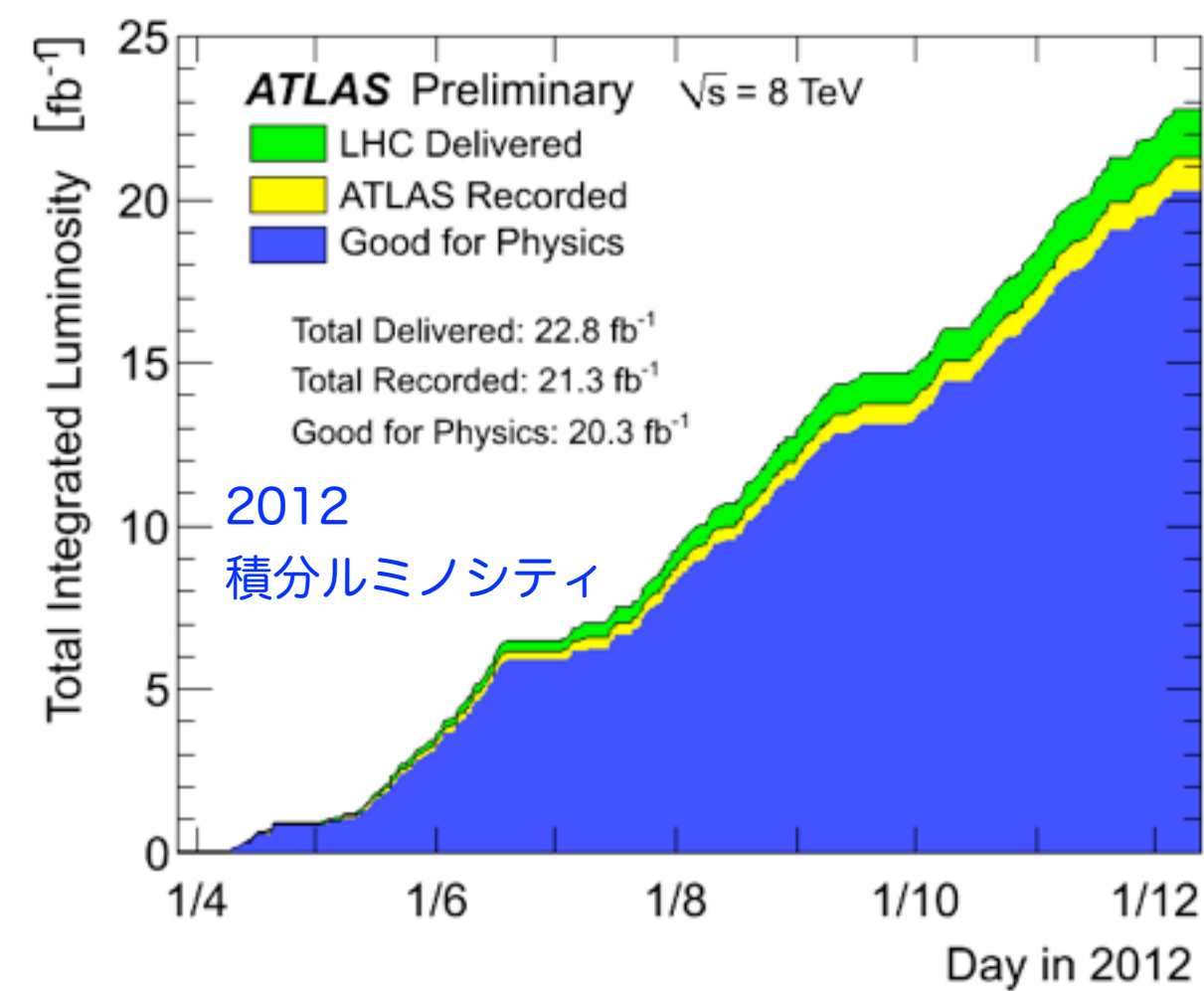
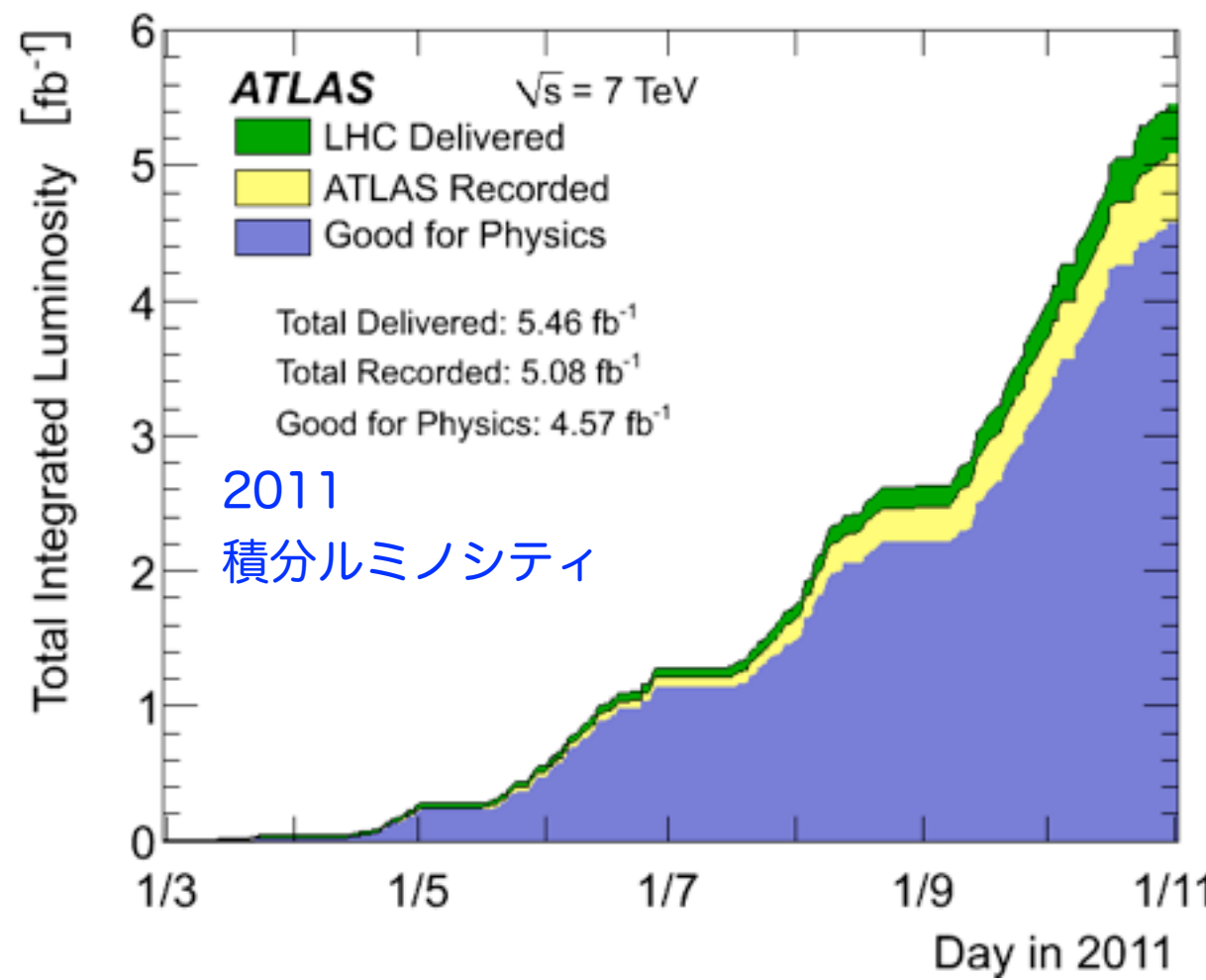
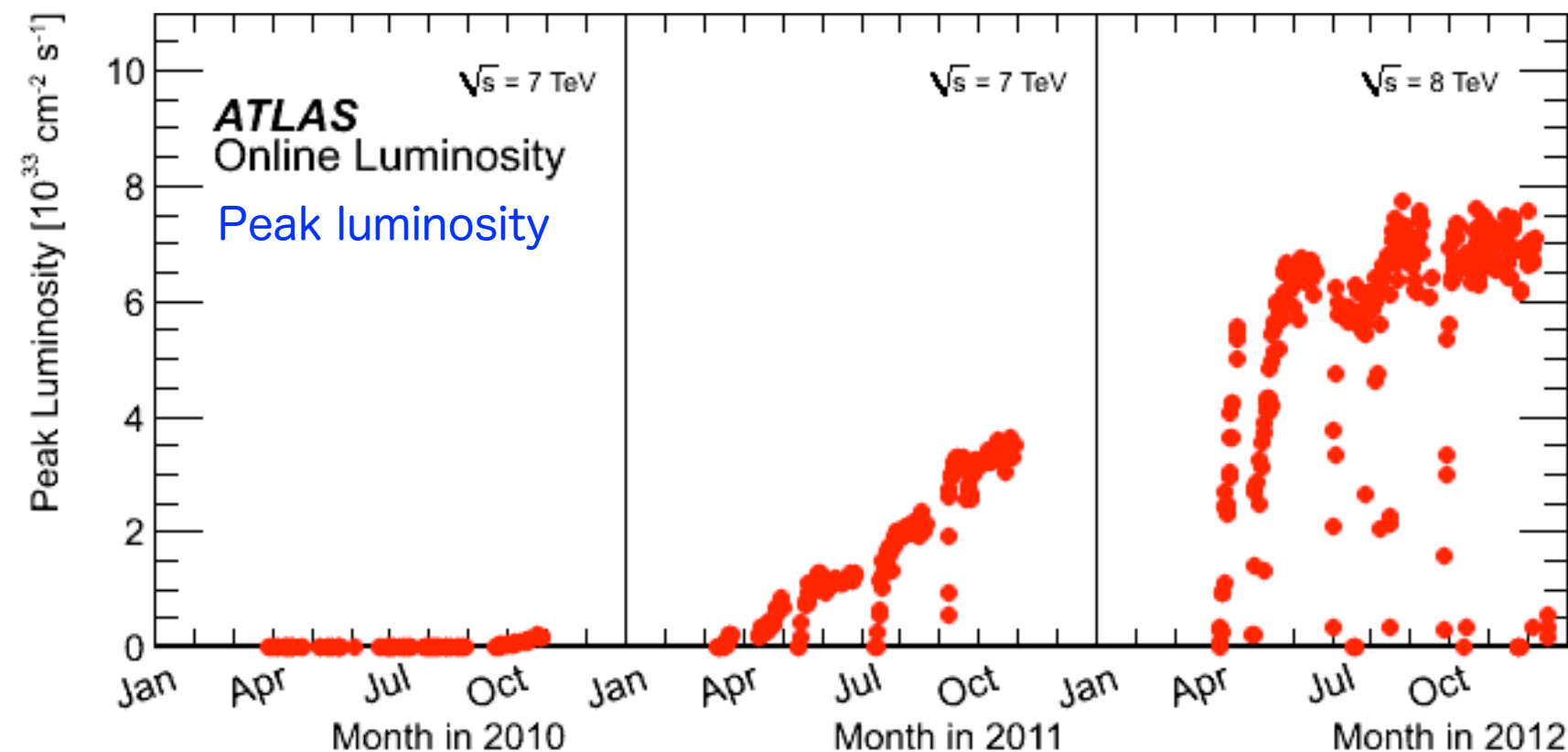
$\sqrt{s}=7\sim8\text{TeV}$

50ns bunch spacing

proton数/bunchなどは良かった

→ そこそこのルミノシティ

→ パイルアップは多くなる

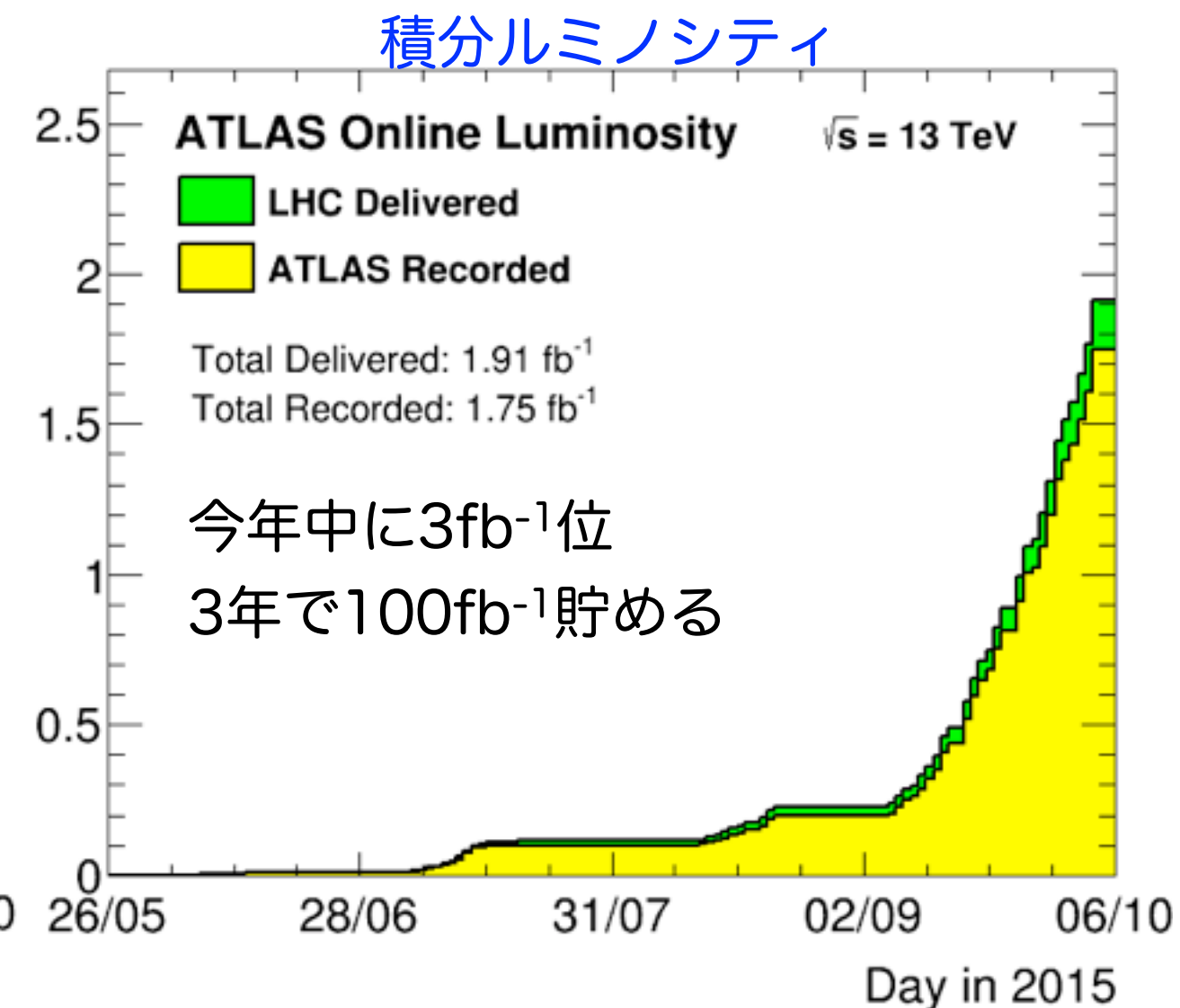
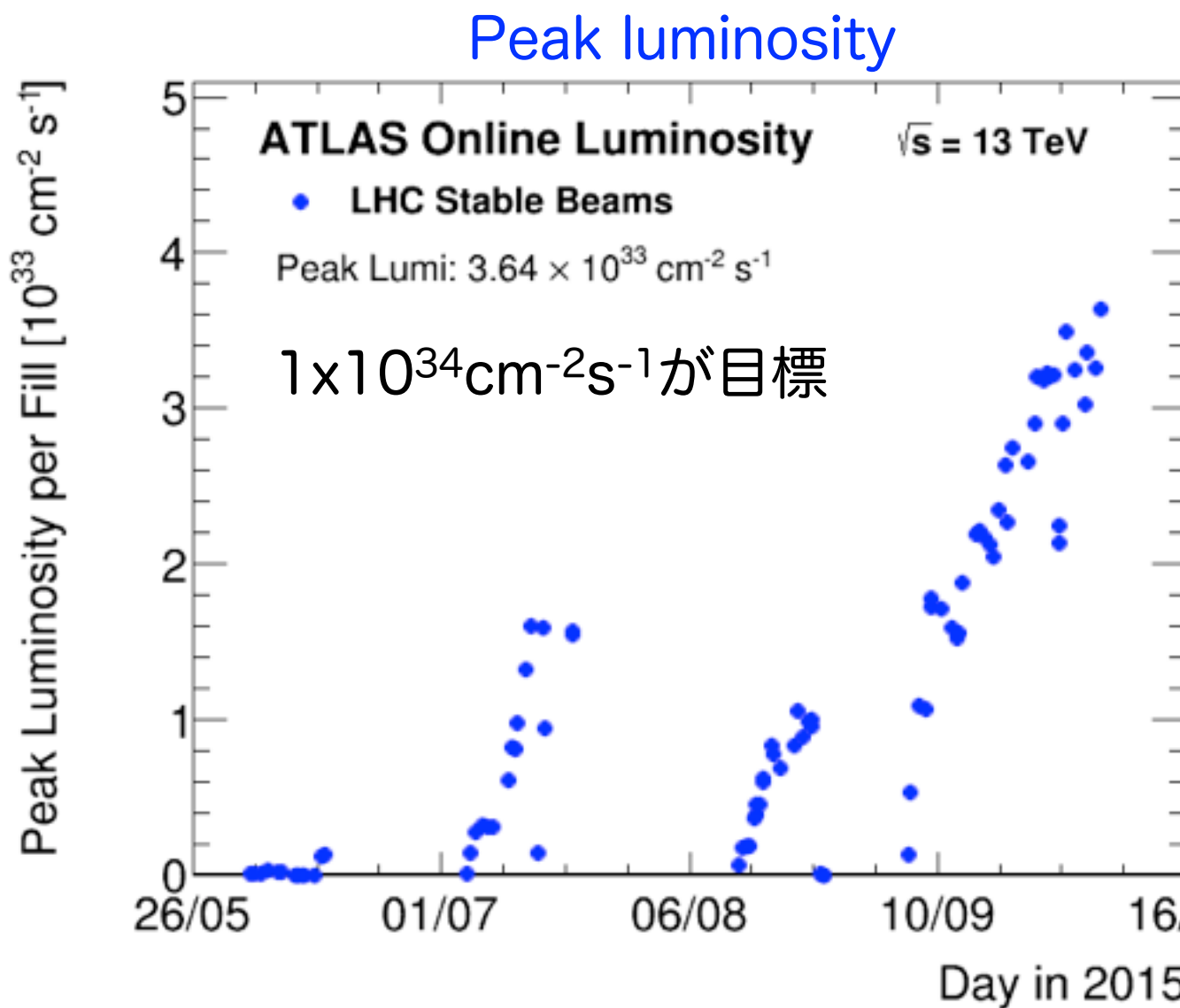


Run 2 : 2015 -

$\sqrt{s}=13\text{TeV}$

25ns bunch spacing

1464 bunch (design: 2808 bunch) まで入れることができた



今日のお話は、 $\sim 80\text{pb}^{-1}$ のデータ解析時による結果

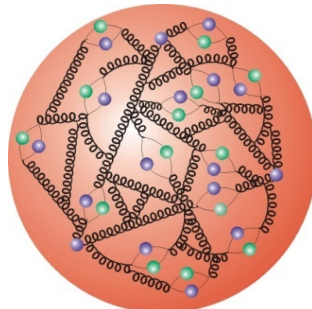
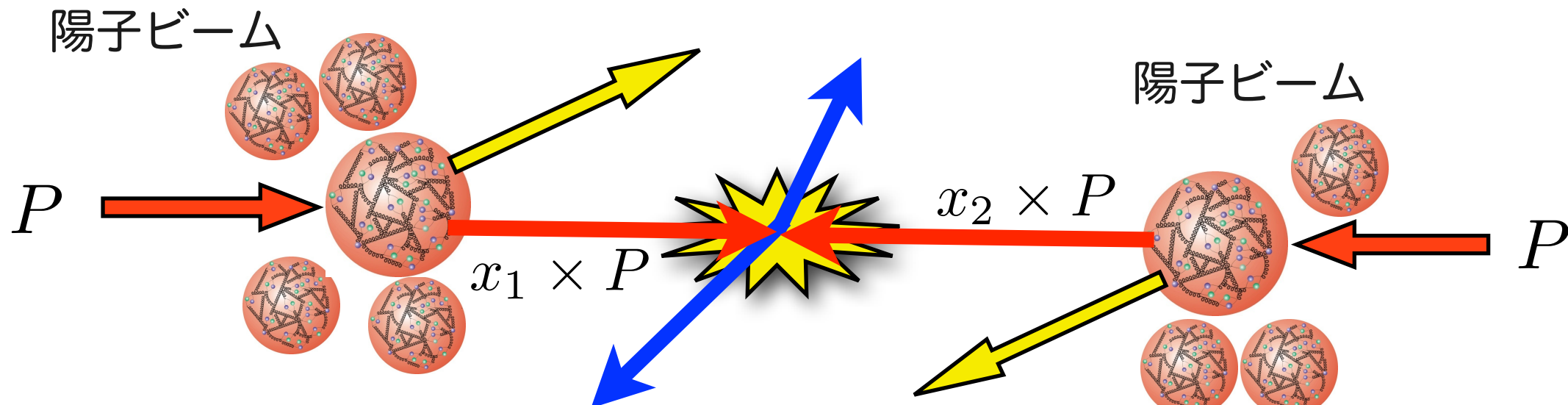
はじめに

1. ハドロンコライダーの物理
2. ATLAS検出器
3. ATLAS実験のこれまでの解析結果と展望
 - 3.1 標準模型
 - 3.2 Higgs物理
 - 3.3 新物理探索

ハドロンコライダーの物理

陽子陽子衝突

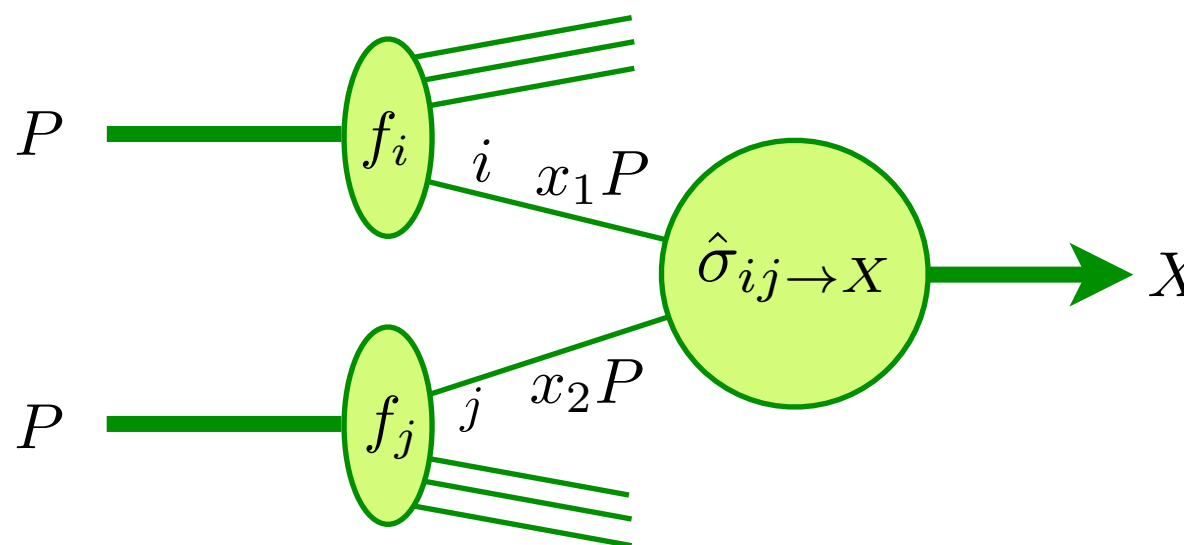
9



陽子の量子数を担うuud(valence quark)だけなく、
沢山のquark(sea quark)やgluon → parton
partonの存在割合がわからないと、生成断面積がわからない。

$$\sigma_{pp \rightarrow X} = \int dx_1 \int dx_2 \sum_{ij} [f_i(x_1, \mu_F) f_j(x_2, \mu_F)] \hat{\sigma}_{ij \rightarrow X}(\hat{s})$$

partonの存在割合
素過程の断面積

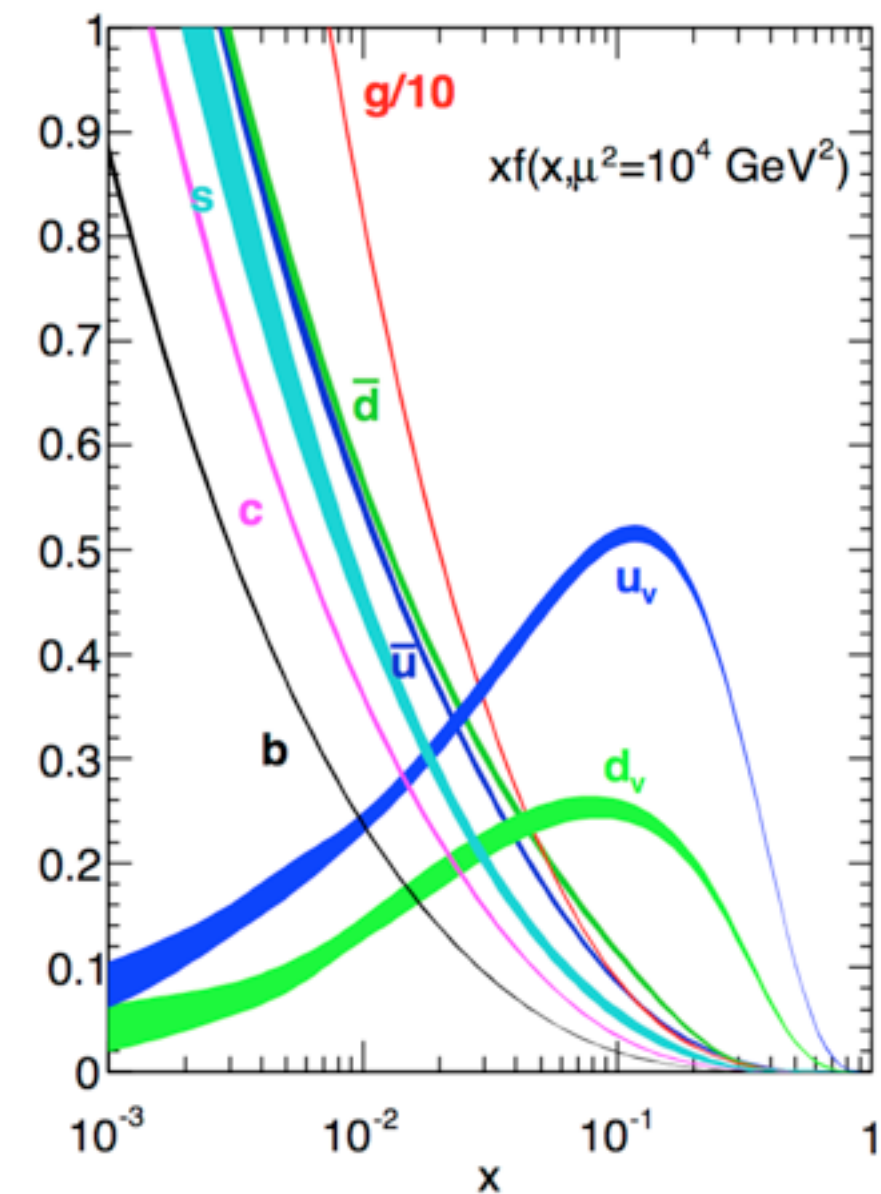
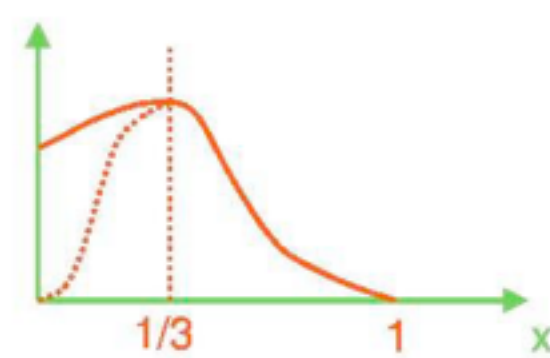
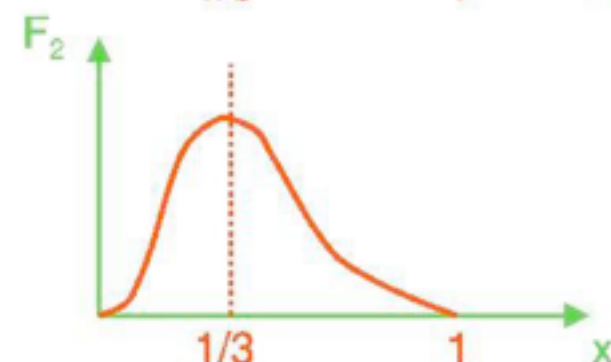
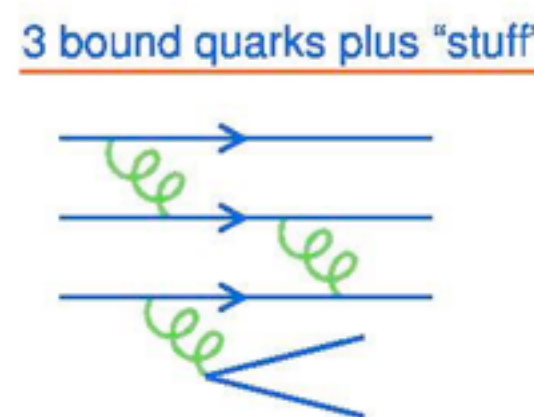
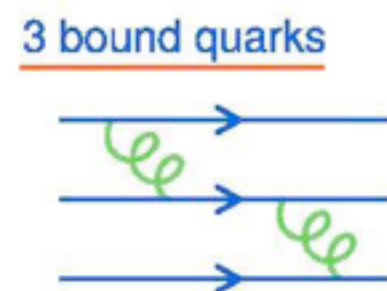
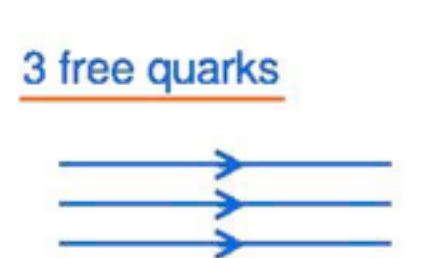
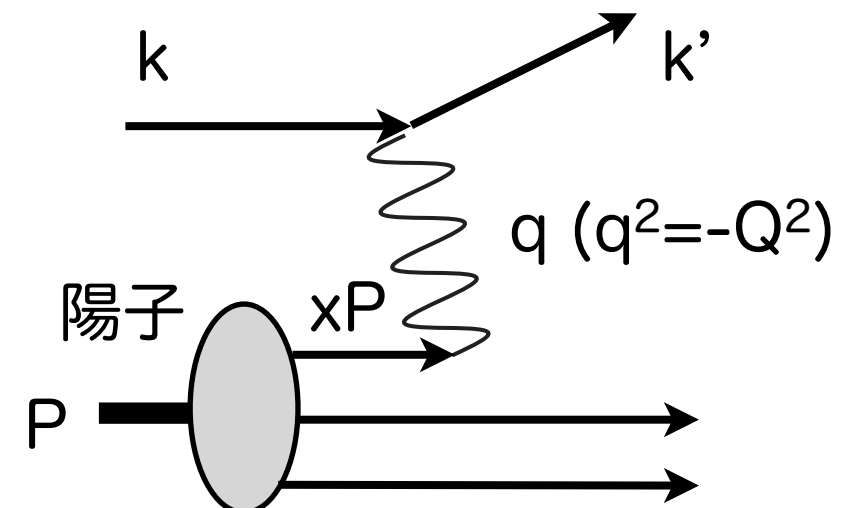


partonとpartonの衝突による断面積 $\hat{\sigma}_{ij \rightarrow X}$
にparton分布で重み付け
可能なparton全部足し算する

PDF: Parton Distribution Function

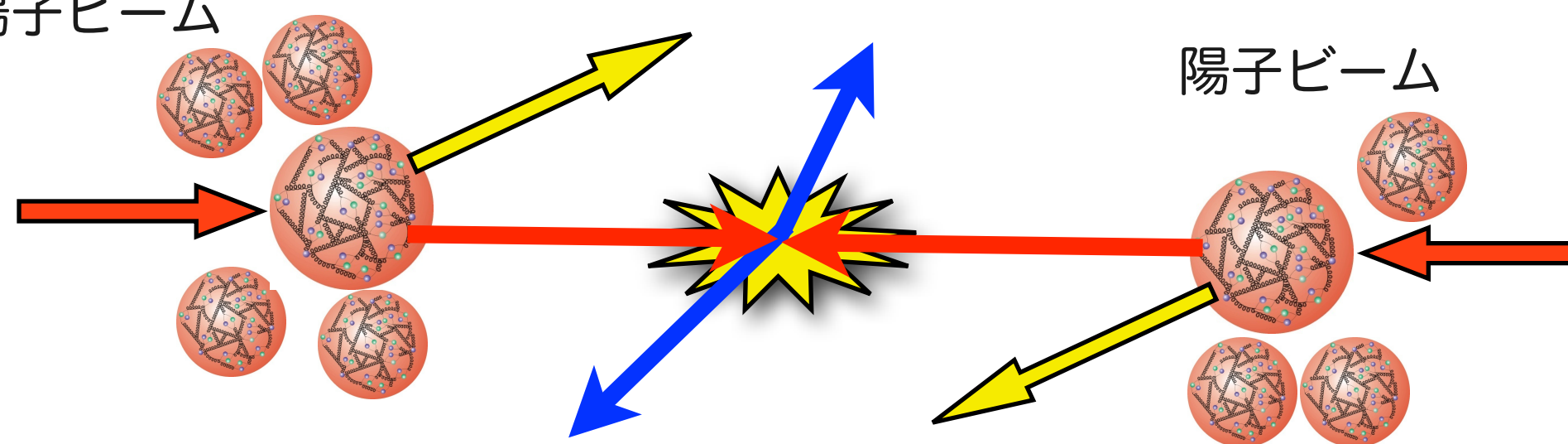
非摂動領域なので計算不能

どのpartonがどれ程のenergyを担うかは、
深非弾性散乱実験によって決定する



ハドロンコライダーの運動学

陽子ビーム



$$P_1 = (x_1 P; 0, 0, x_1 P)$$

$$P_2 = (x_2 P; 0, 0, -x_2 P)$$

$((x_1 + x_2)P; 0, 0, (x_1 - x_2)P) \rightarrow \text{Asymmetric}$ (衝突毎に違う)

$$\sqrt{\hat{s}} = (x_1 + x_2)^2 P^2 - (x_1 - x_2)^2 P^2 = 4x_1 x_2 P^2$$

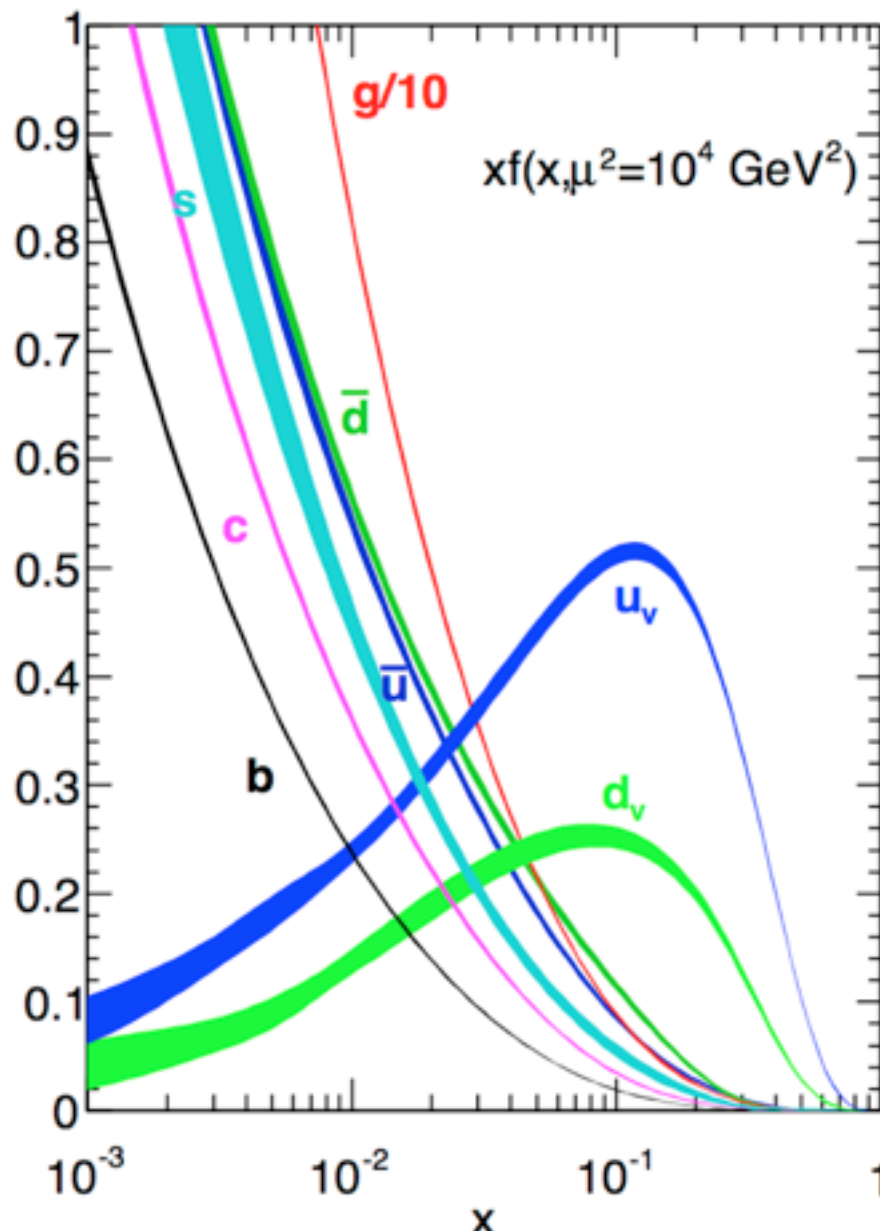
$$\text{実効エネルギー } \sqrt{\hat{s}} = \sqrt{x_1 x_2} \sqrt{s_{pp}} \quad (\sqrt{s} = 2P)$$

物理過程によって x が決まる

$\sqrt{x_1 x_2}$	Tevatron 2TeV	LHC 8TeV	LHC 13TeV
$\sqrt{\hat{s}} = 100 \text{ GeV}$	0.05	0.0125	0.007
$\sqrt{\hat{s}} = 1 \text{ TeV}$	0.5	0.125	0.07

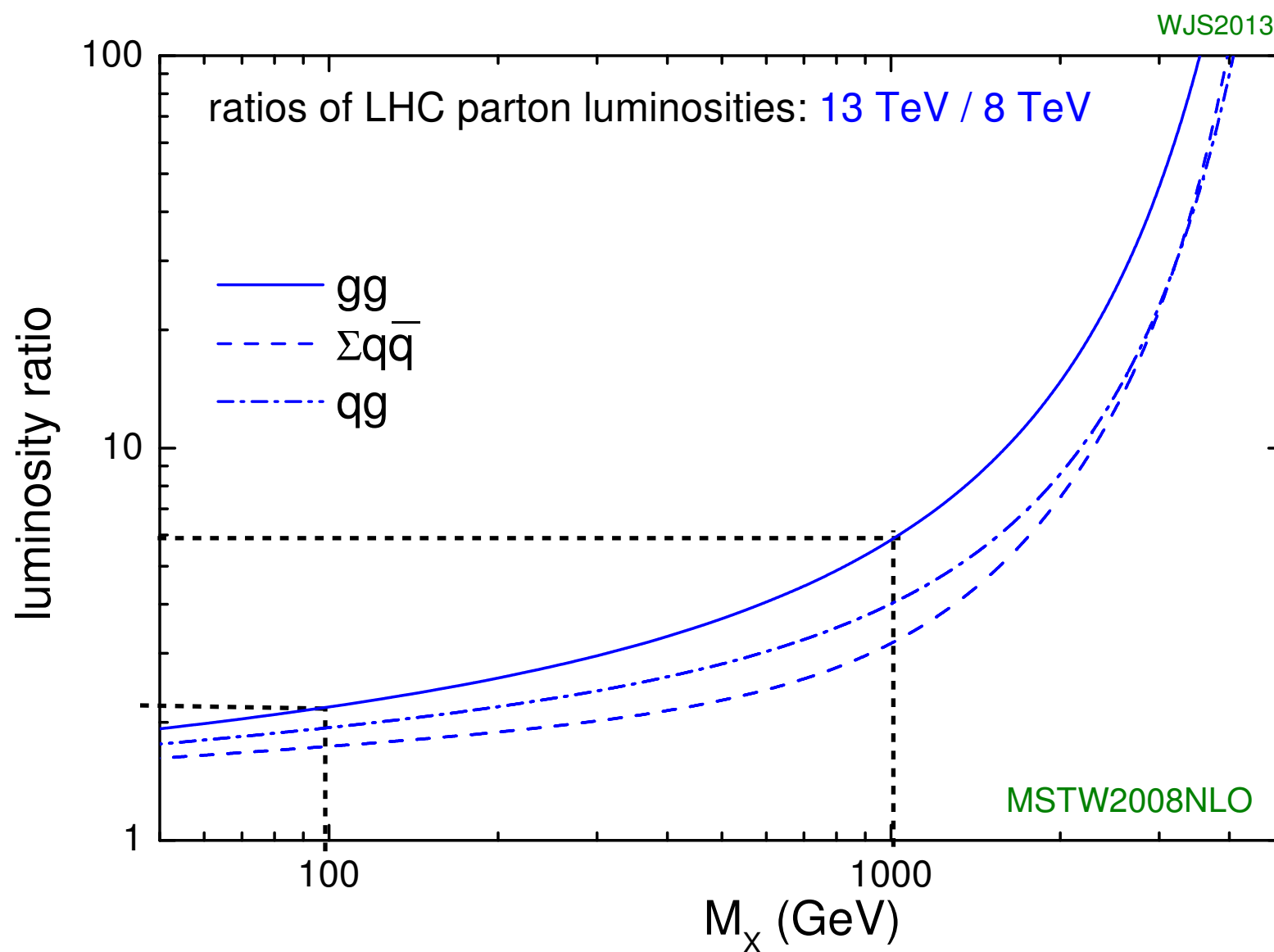
Tevatronはvalence quarkで勝負→陽子・反陽子

LHCはgluonやsea quarkが十分寄与できる→陽子・陽子



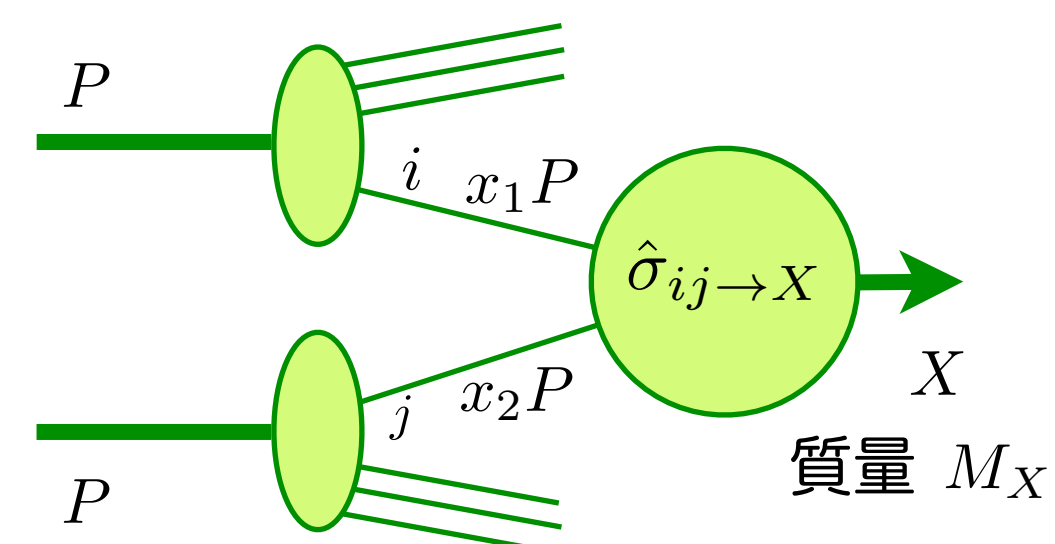
7TeV→8TeV→13TeVへのご利益

\sqrt{s} を高くすると、重い粒子の生成が特に増加する



13TeV / 8TeV

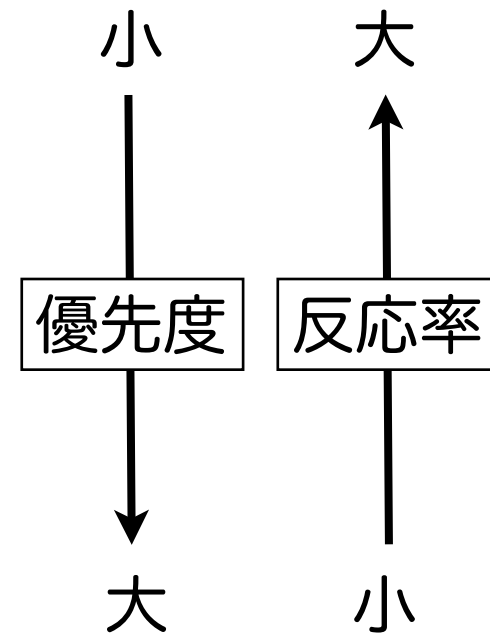
- ヒッグス粒子 (100GeV) 生成 : ~2倍
- 超対称性粒子 (1TeV) 生成 : 5~6倍



陽子陽子衝突断面積

色々な物理を楽しめる

- QCD
- B-physics
- Electroweak
- top quark physics
- Higgs physics
- New physics



大抵の反応は興味のない事象

ヒッグス：10桁のリダクション

トリガーが重要

L1で100kHz、HLTで100Hzまで削減

パイルアップ事象

反応頻度 = 断面積 × ルミノシティ

$$\sigma_{\text{tot}} \sim 100 \text{ mb}$$

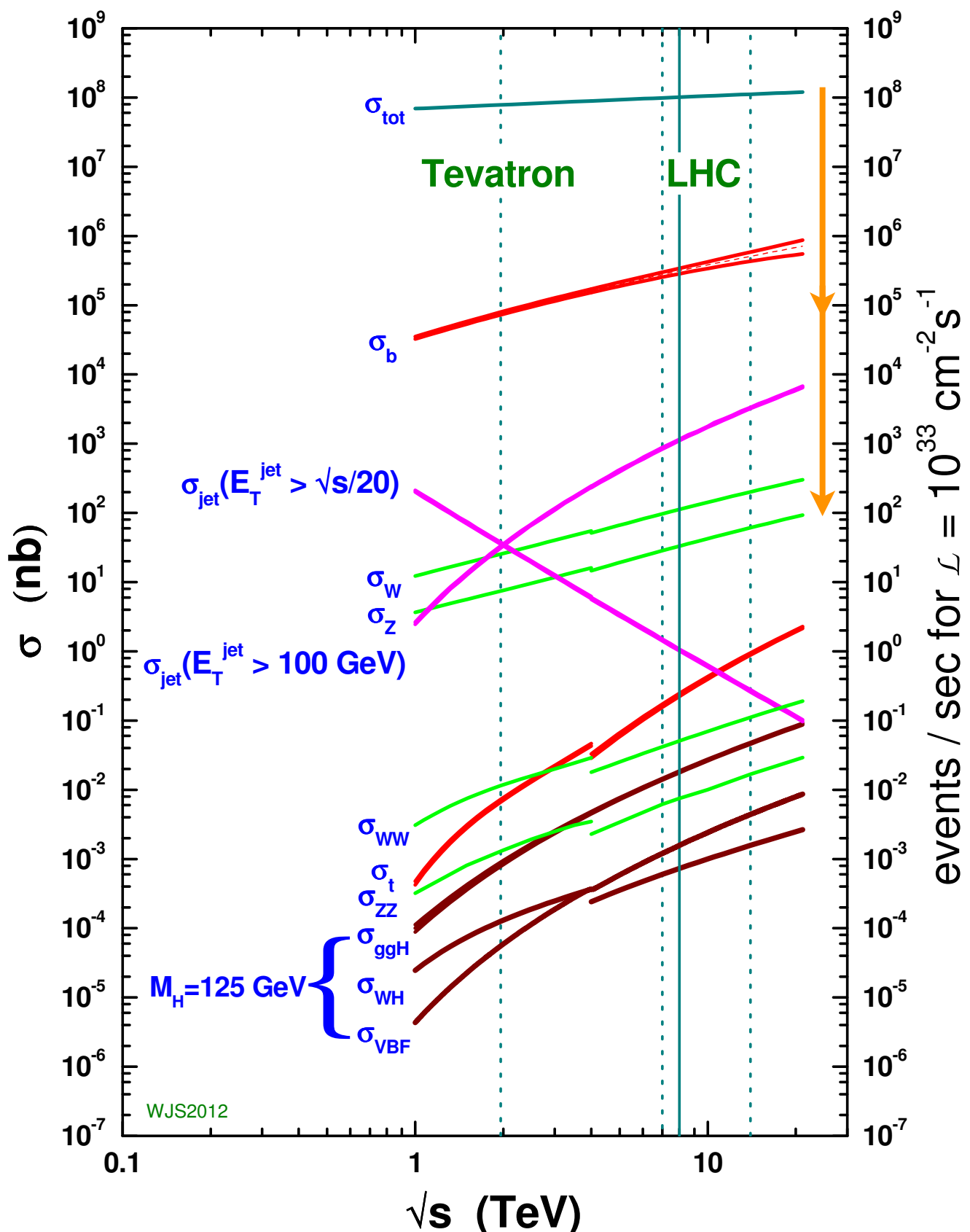
$$\mathcal{L} \sim 10^{34} \text{ cm}^{-2} \text{s}^{-1}$$

} → 反応頻度 1GHz

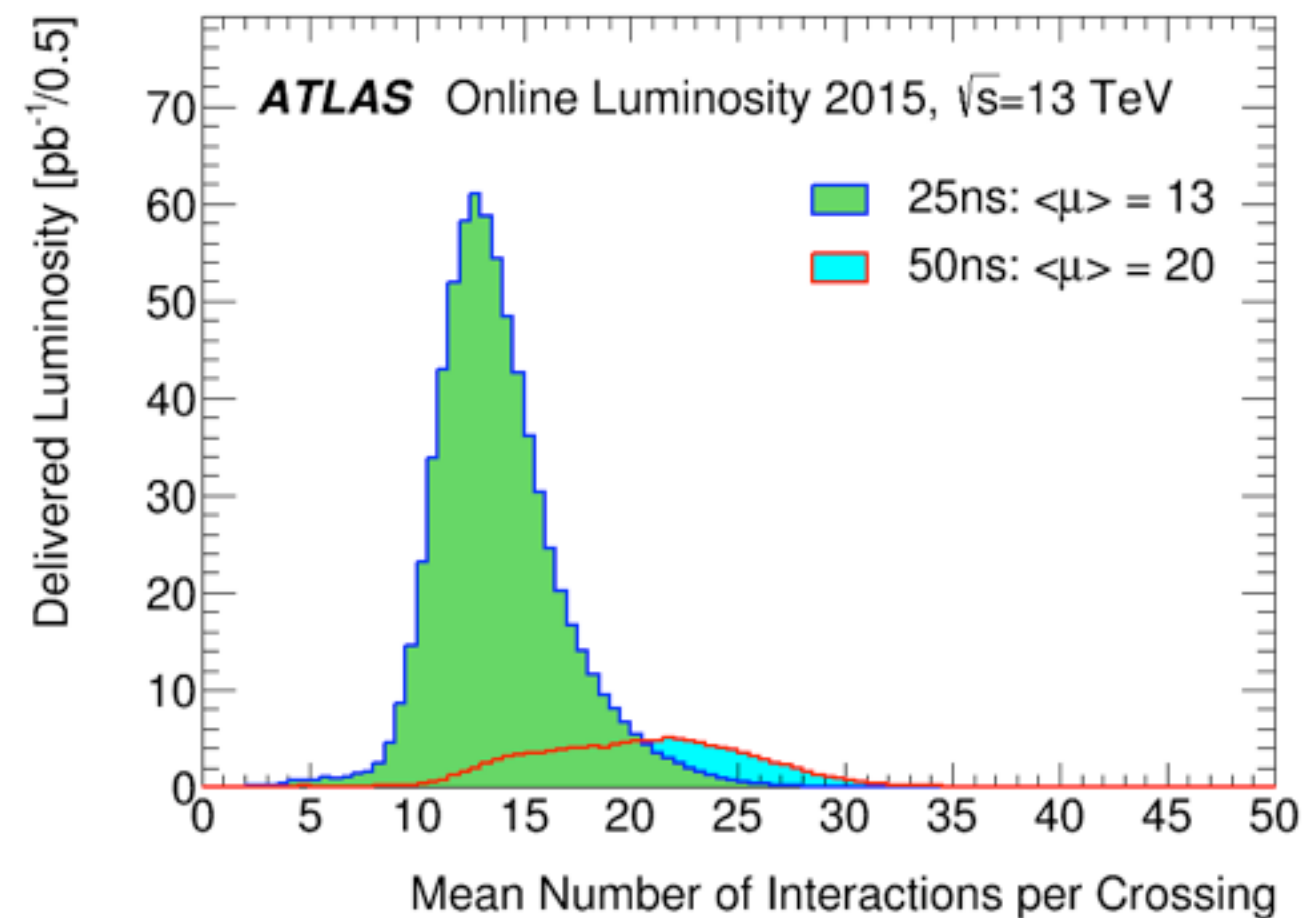
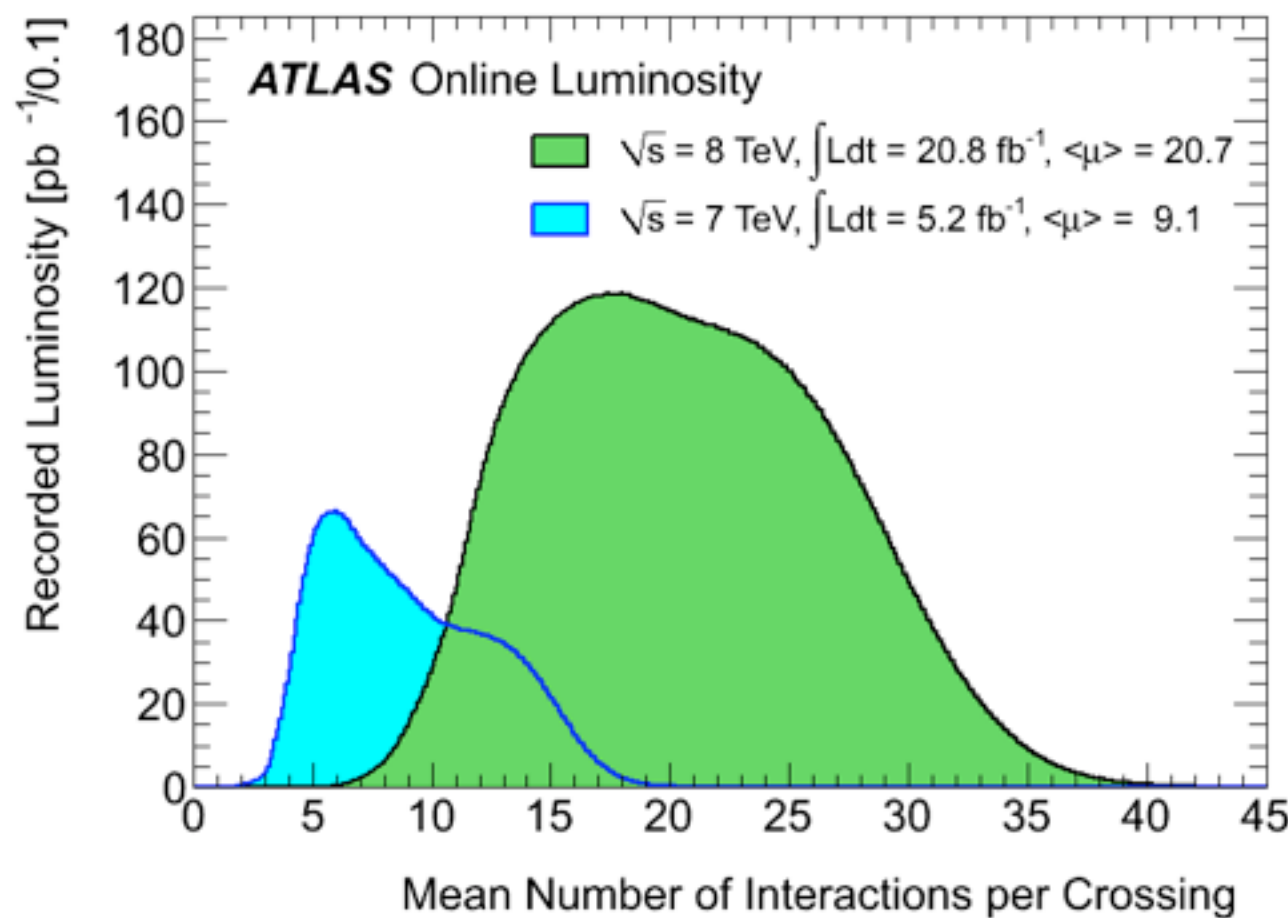
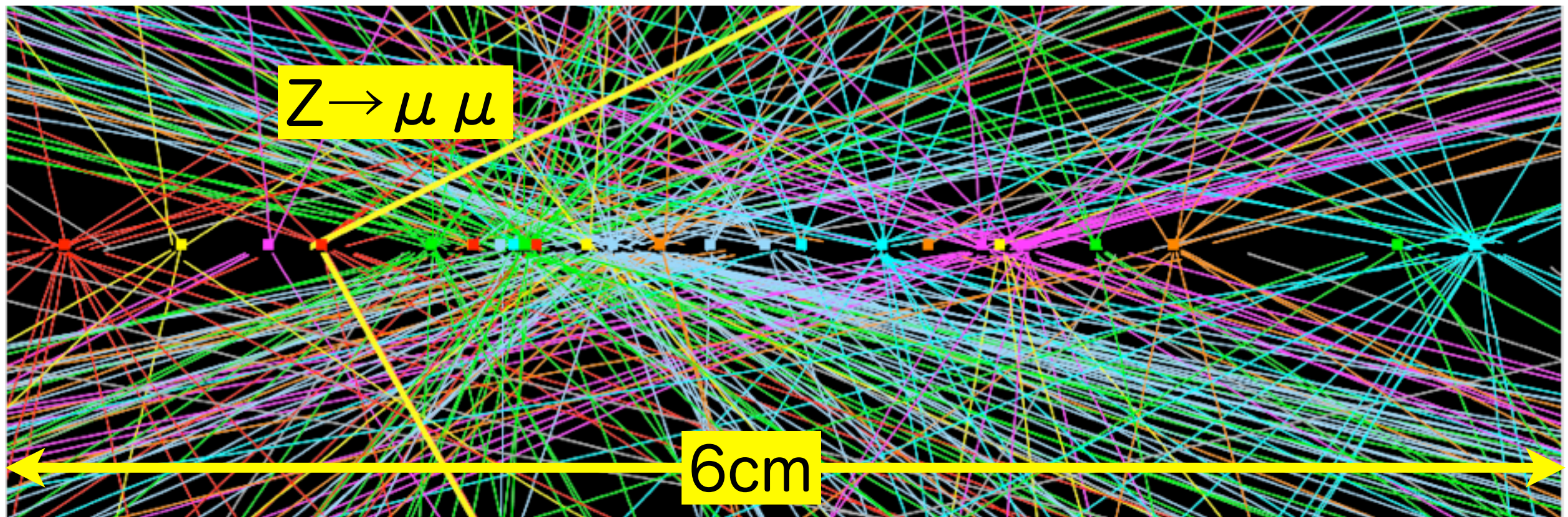
LHCの陽子衝突頻度 = 40MHz

→ 1回の陽子交差で複数の陽子衝突

proton - (anti)proton cross sections



パイルアップ



ATLAS検出器 パフォーマンス

A Toroidal Lhc Appratus

Calorimeters:
Tile & LAr

Muons:

Trigger

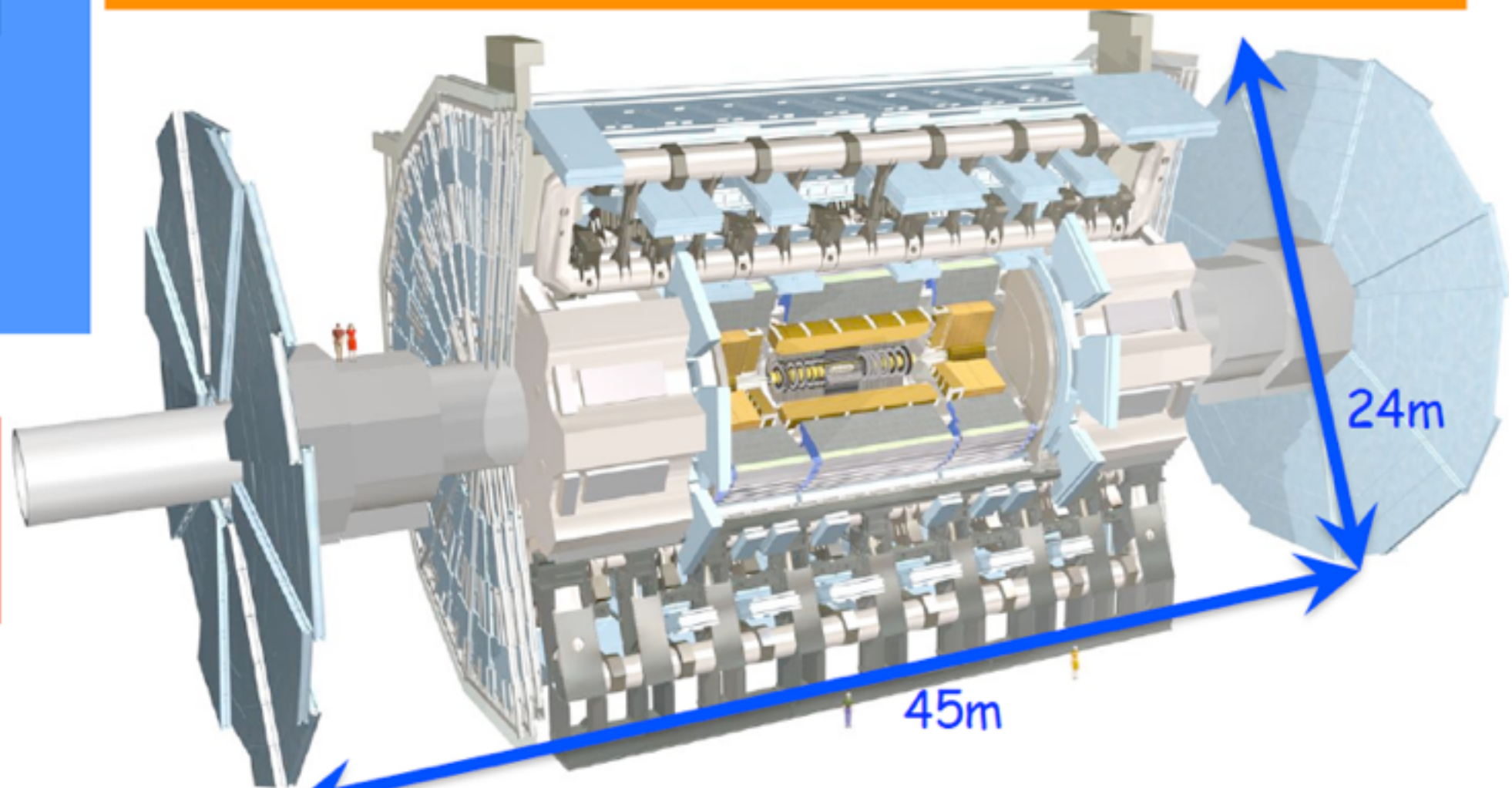
TGC
RPC

Precision
CSC
MDT

大きさ : 24m × 45m
重量 : 7000 トン
読み出し : 160M

$$e/\gamma \quad \frac{\sigma(E)}{E} = \frac{10\%}{\sqrt{E}} + 0.7\%$$

$$\text{Hadron} \quad \frac{\sigma(E)}{E} = \frac{50\%}{\sqrt{E}} + 3\% \quad |\eta| < 3, \quad \frac{\sigma(E)}{E} = \frac{100\%}{\sqrt{E}} + 10\% \quad |\eta| > 3$$



Magnets:

Solenoid : 2テスラ



Toroidal :

$$\int B \times d\ell = 2 \sim 6 \text{ (T×m)}$$

$$\text{Inner Tracker: } \frac{\sigma}{P_T} = 0.05\% \times P_T + 1\% \quad (2\% @ 20\text{GeV})$$

Pixel:

$$50 \times 400 \mu\text{m}^2$$

80M channels

SCT:



$$80 \mu\text{m} \times 6\text{cm}$$

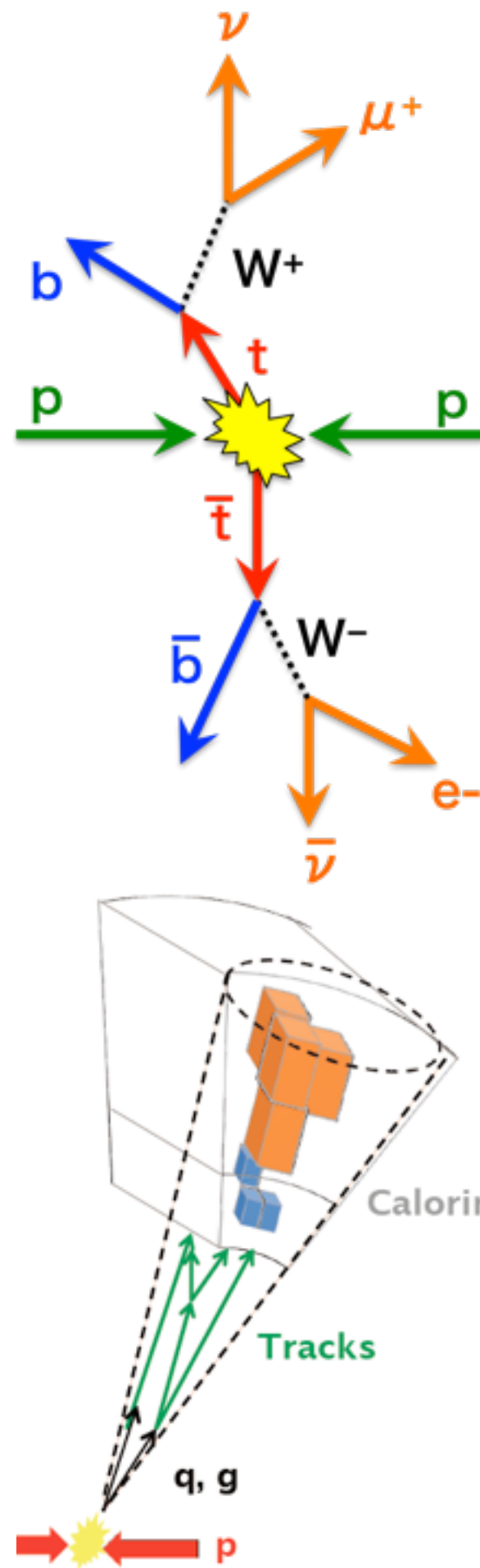
7M channels

TRT:

4mm φ straw tube

350k channels

Object ID



μ 粒子
 μ 粒子検出器

ν (missing E_T)
全検出器

ハドロンカロリメータ

電磁カロリメータ

内部飛跡検出器

ジェット
カロリメータ
飛跡検出器

電子
電磁カロリメータ
内部飛跡検出器

b-jet id & τ -id

b-jet id

jet内のmultiplicityが大

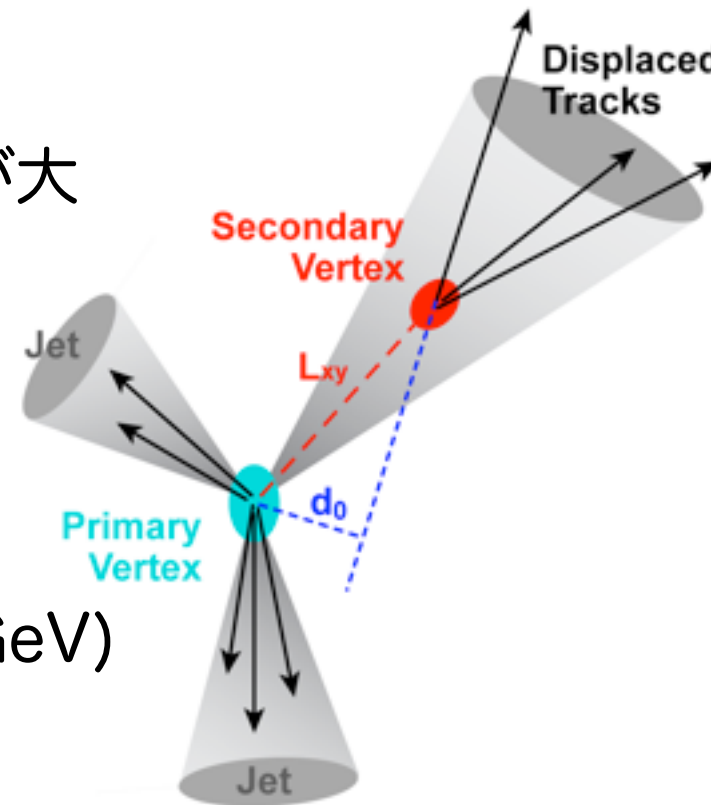
L_{xy} が大

jet内の d_0 が大

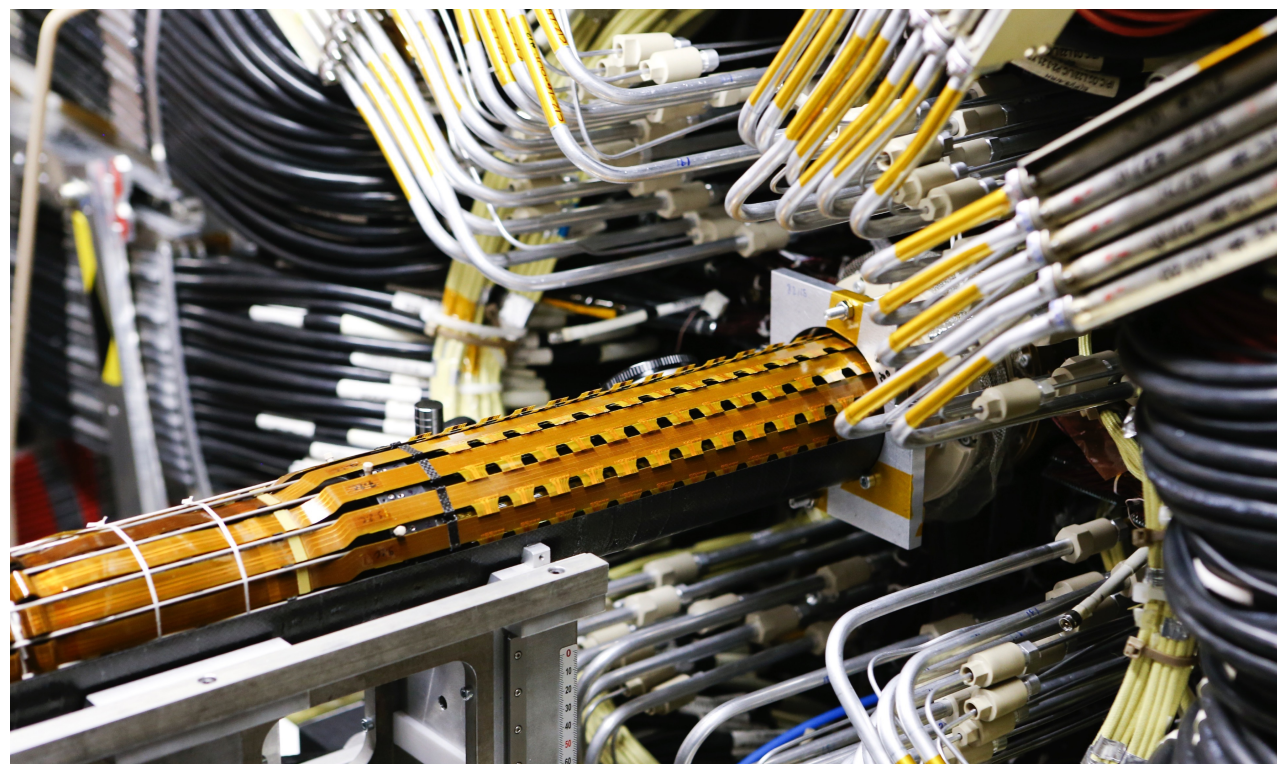
$$c\tau \sim 500 \mu\text{m}$$

$$\beta\gamma \sim 10 \text{ (@P} \sim 50\text{GeV)}$$

$\rightarrow 5 \text{ mm位走る}$



Run 2からInsertable B layer (IBL)を導入



τ -jet id

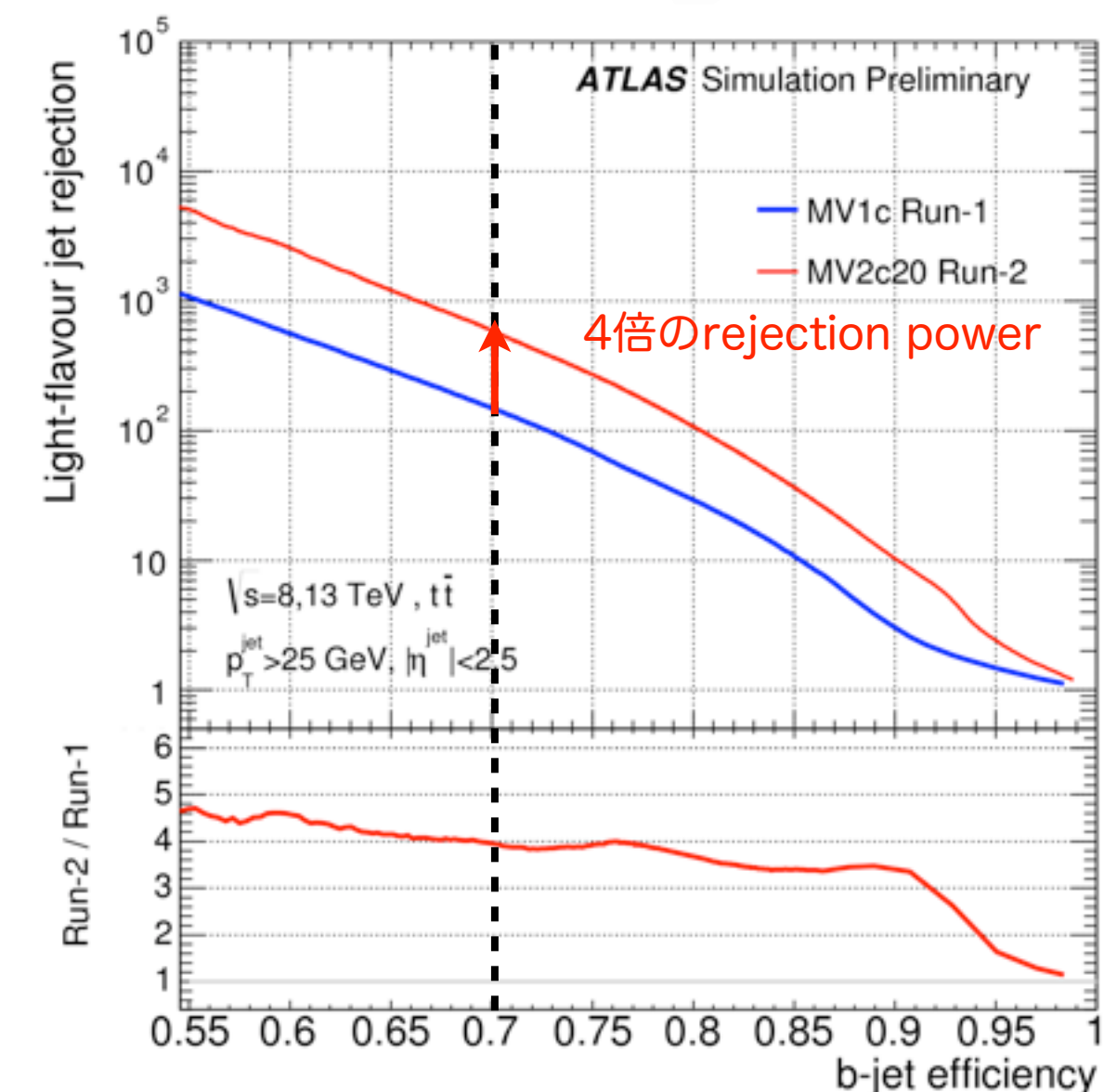
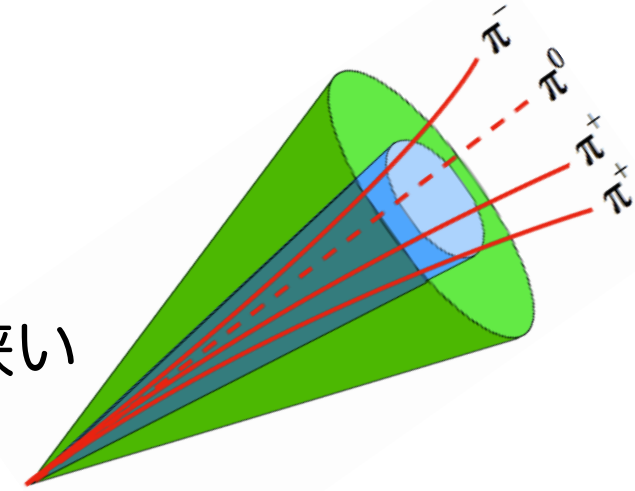
energyの広がり :

e/γ より広い

quark/gluonより狭い

荷電粒子 :

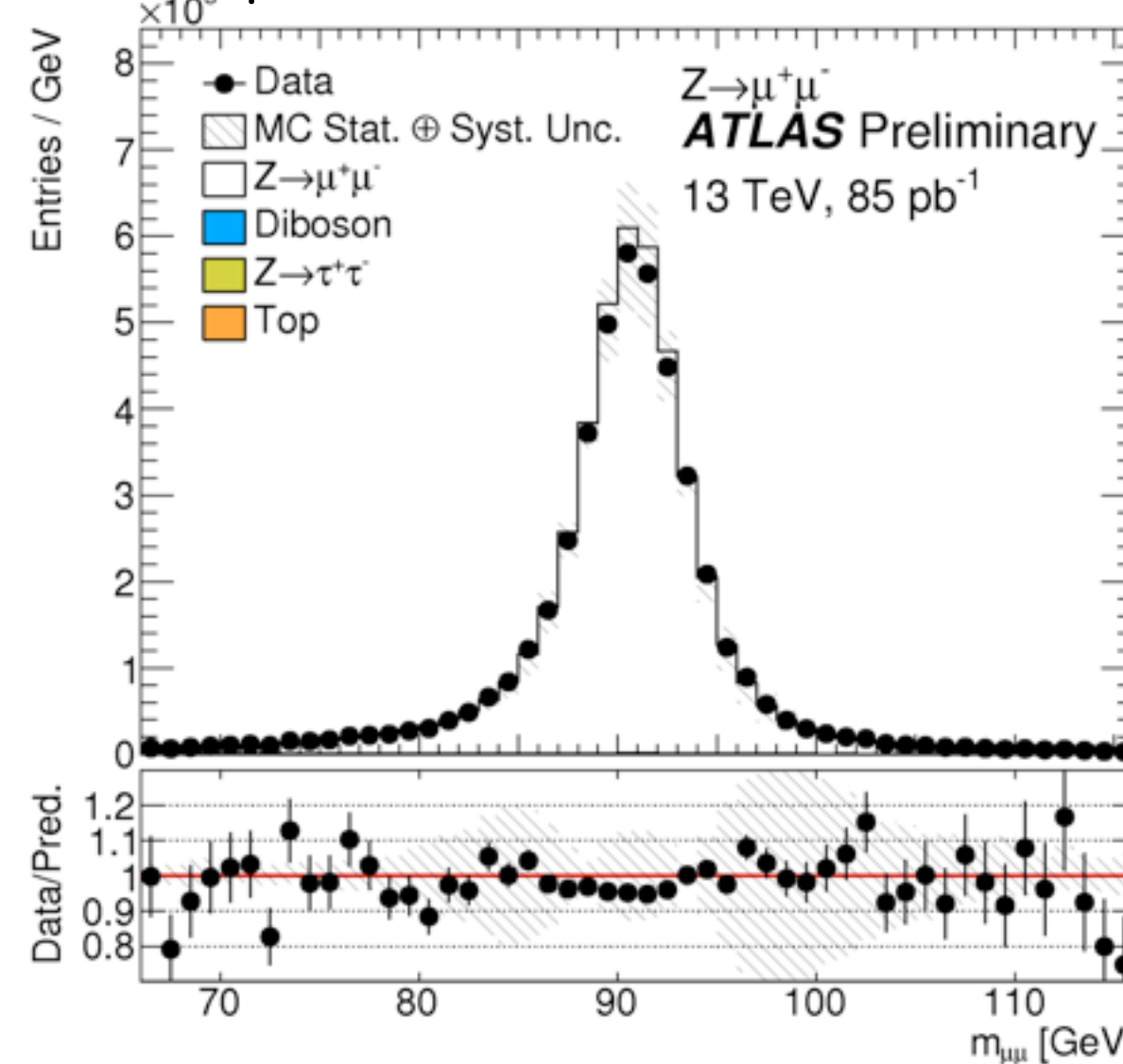
1本か3本がcollinearに



標準模型の検証

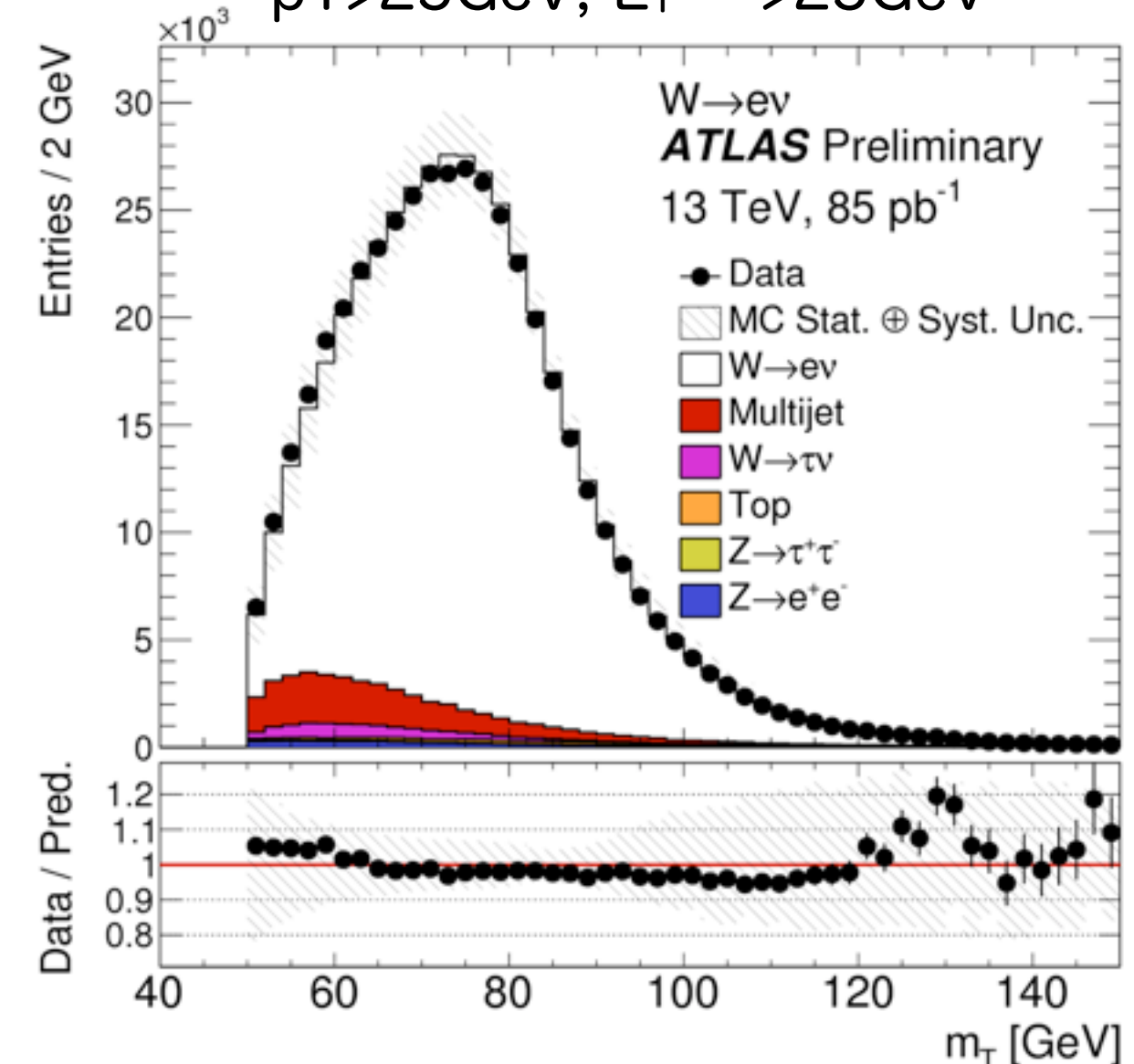
W, Z boson の測定

100k Z(90000) events
 $pT > 25\text{GeV}$



レプトン2つの4元運動量から不变質量

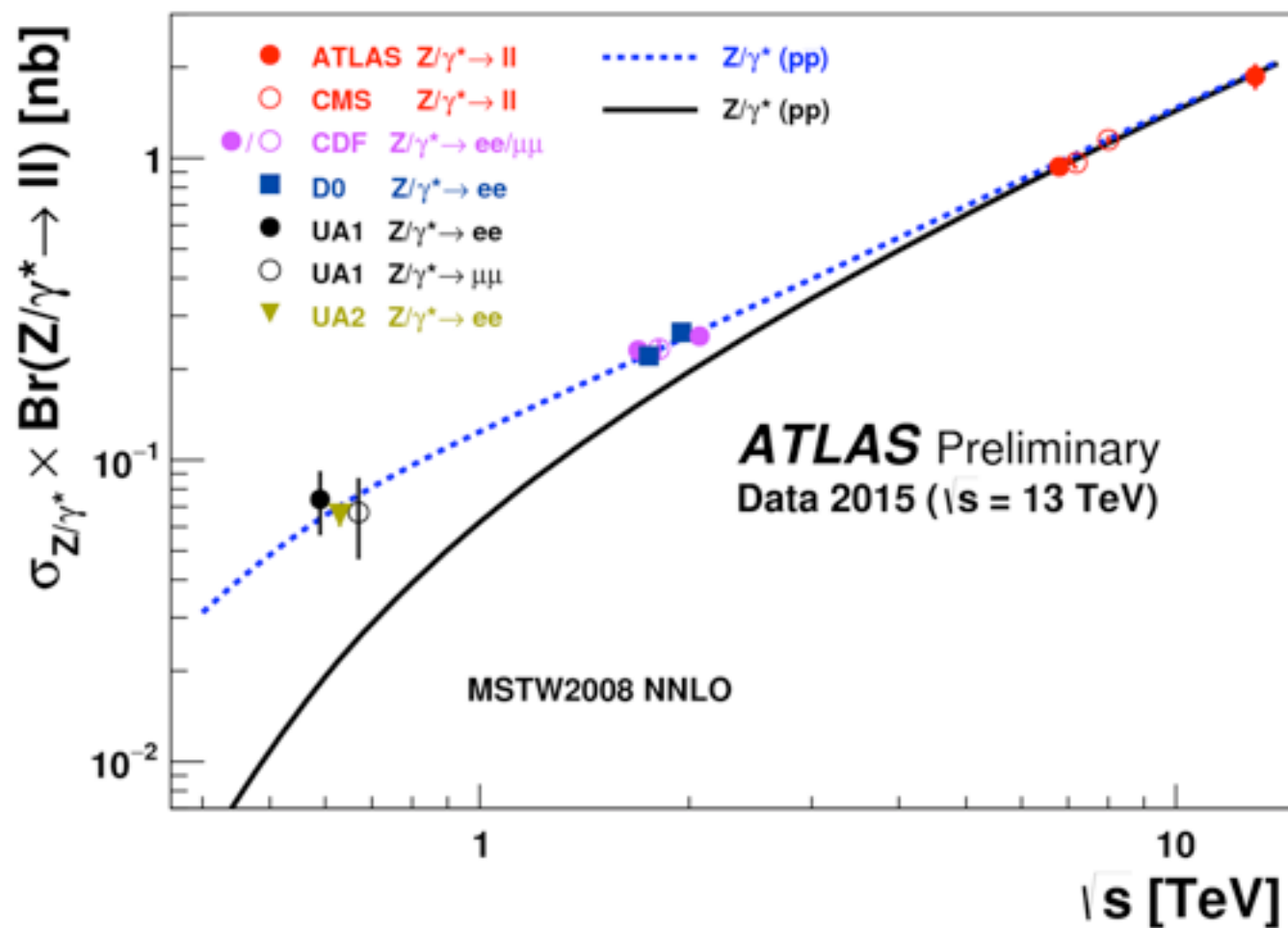
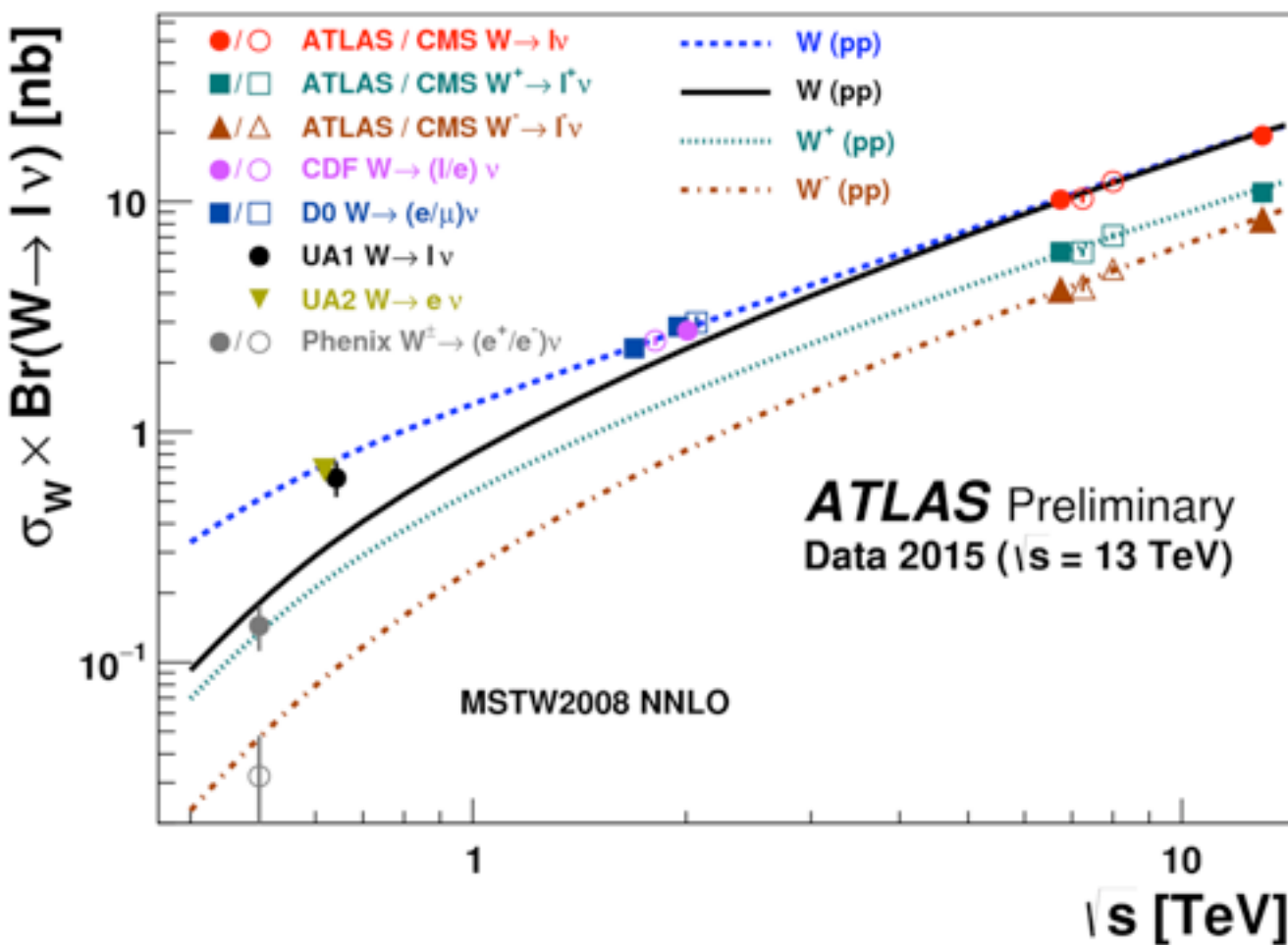
1M W events
 $pT > 25\text{GeV}$, $E_T^{\text{miss}} > 25\text{GeV}$



レプトンの(p_T^ℓ)とmissing E_T (E_T^{miss})から
Transverse mass (m_T)

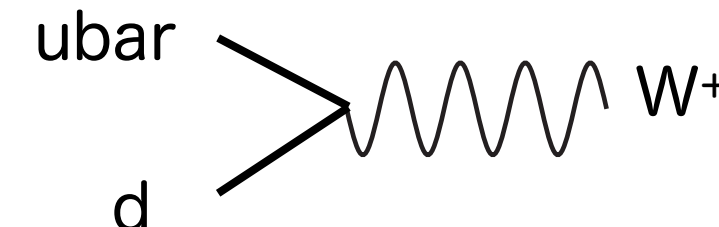
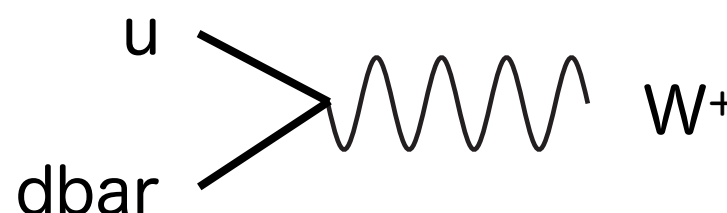
$$m_T = \sqrt{2p_T^\ell E_T^{\text{miss}}(1 - \cos \Delta\phi_{\ell\nu})}$$

W, Z 生成断面積

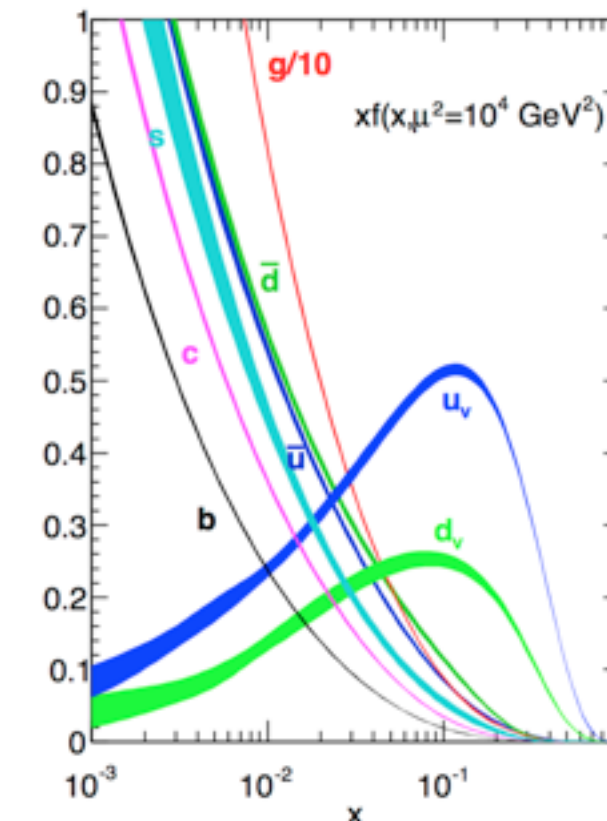


\sqrt{s} が小さいと ppbar 方が断面積大 \rightarrow valence が寄与
 \sqrt{s} が大きいと sea quark も W/Z の生成に関与できる

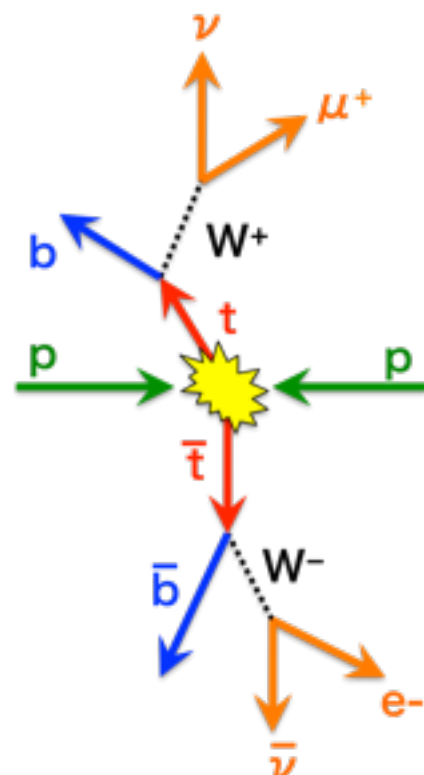
pp で W^+ と W^- とで生成断面積が違う



陽子内の u と d の分布で決まる

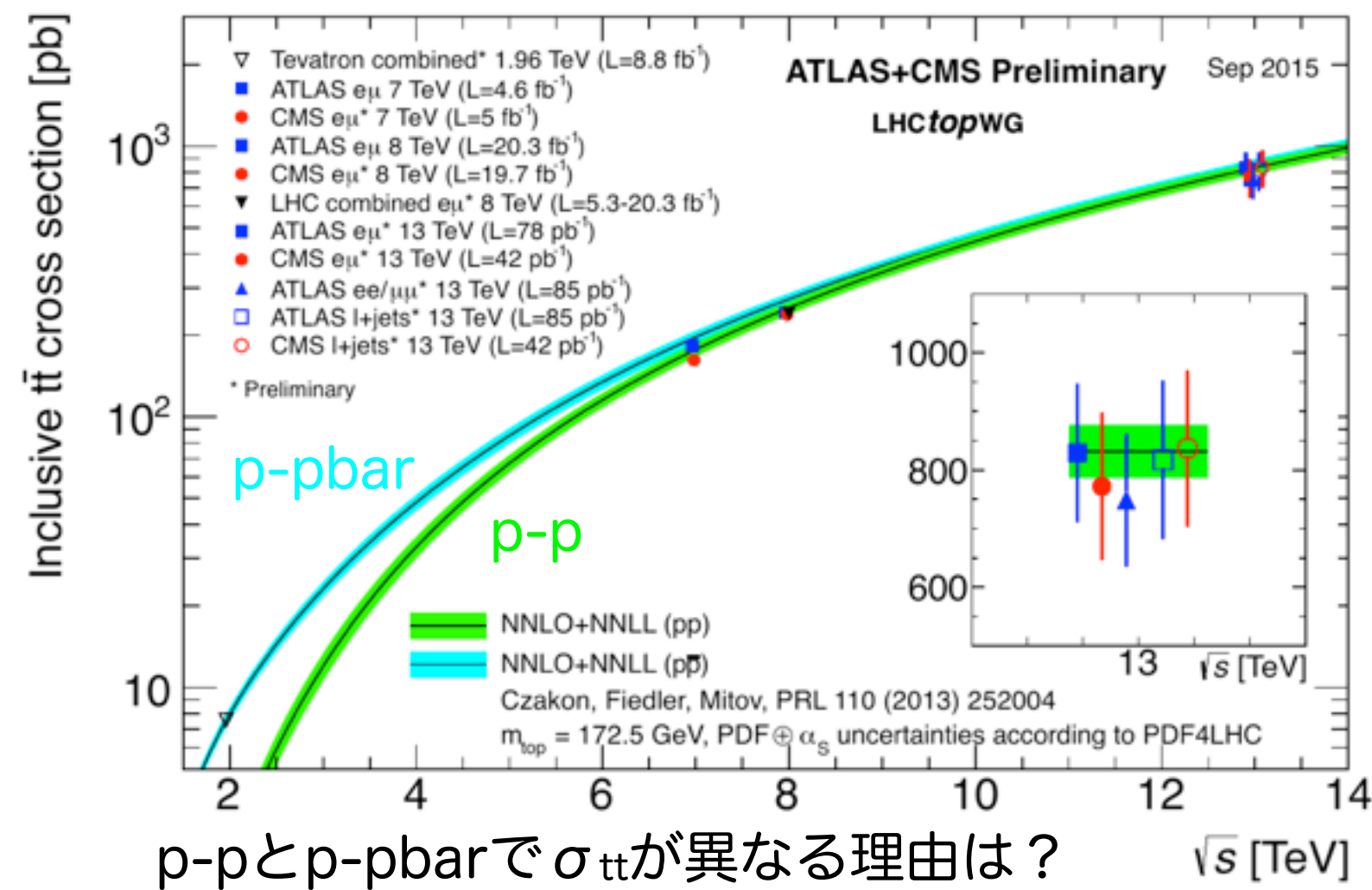
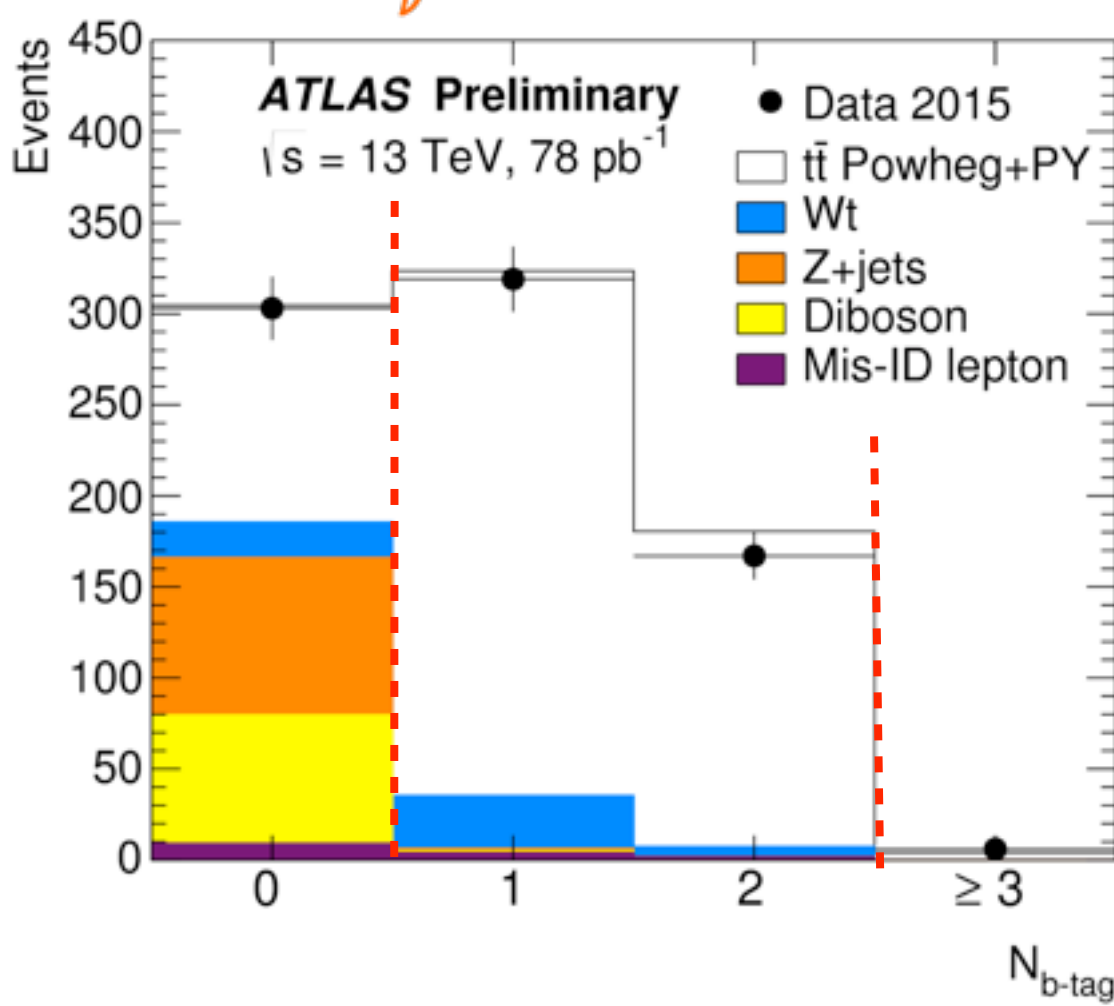


トップクォーク 生成断面積



LHCは、top quark factory

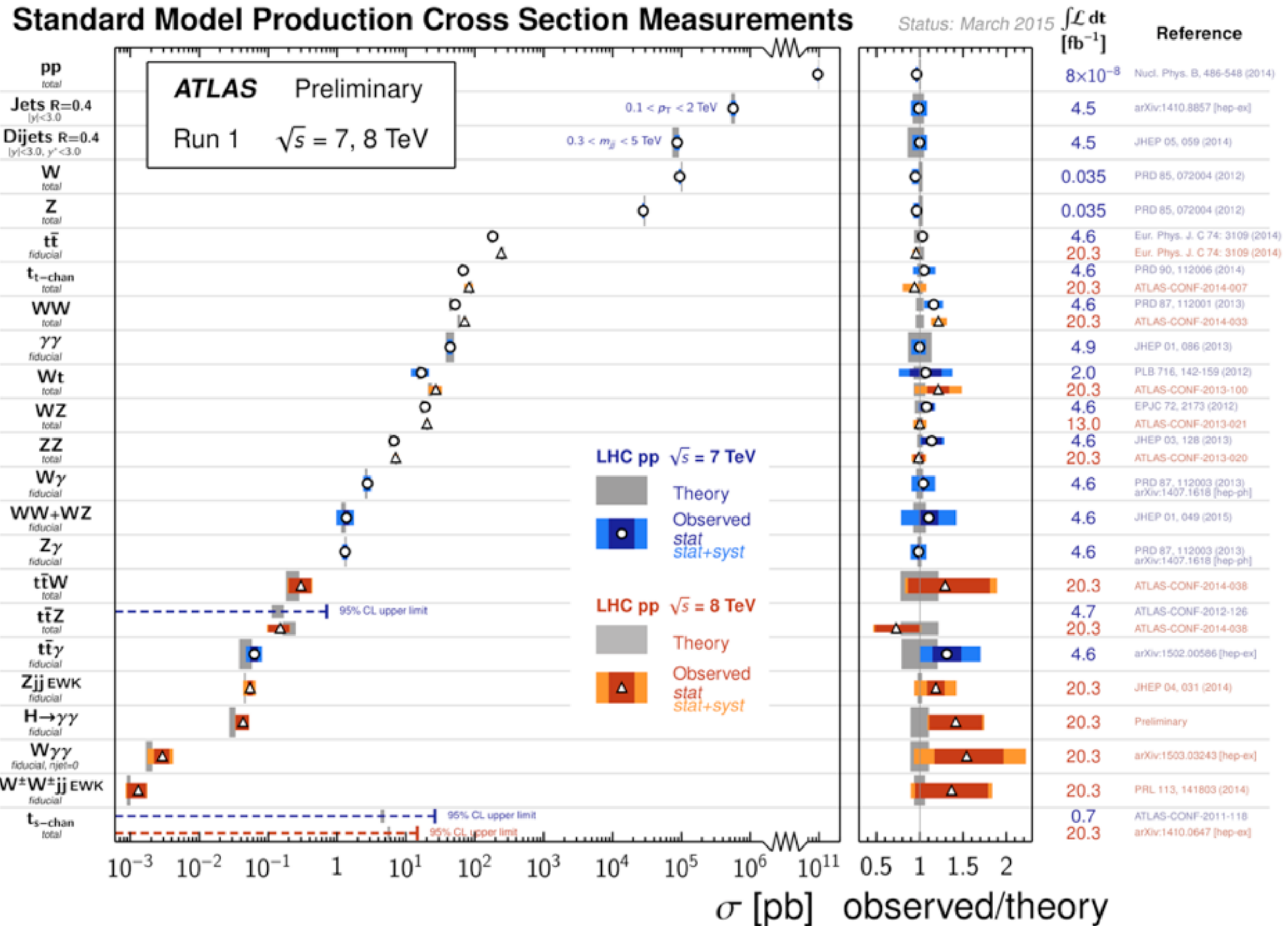
非常に高いエネルギーのp-p collision
2つのレプトンと1本か2本のb-jetを要求するだけで殆ど信号



$p\text{-}p$ と $p\text{-}p\bar{p}$ で σ_{tt} が異なる理由は？

$\sqrt{s}=2 \text{ TeV} \sim 13 \text{ TeV}$ までQCDは非常に良い有効理論であることを立証

Run 1で測定した標準模型過程

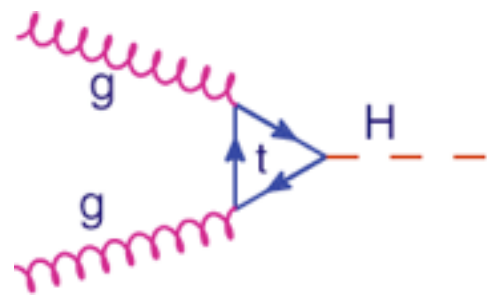


ヒッグス物理

発見からcoupling, mass, spinなどの測定へ
Run1の結果と展望

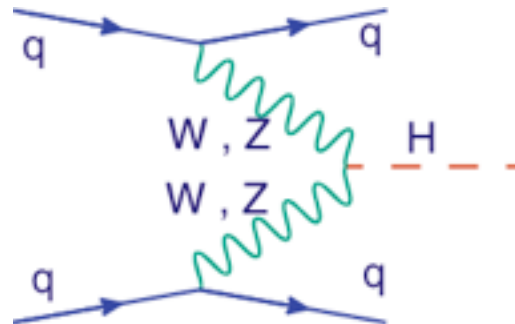
ヒッグス粒子生成過程

Gluon Fusion (ggF)

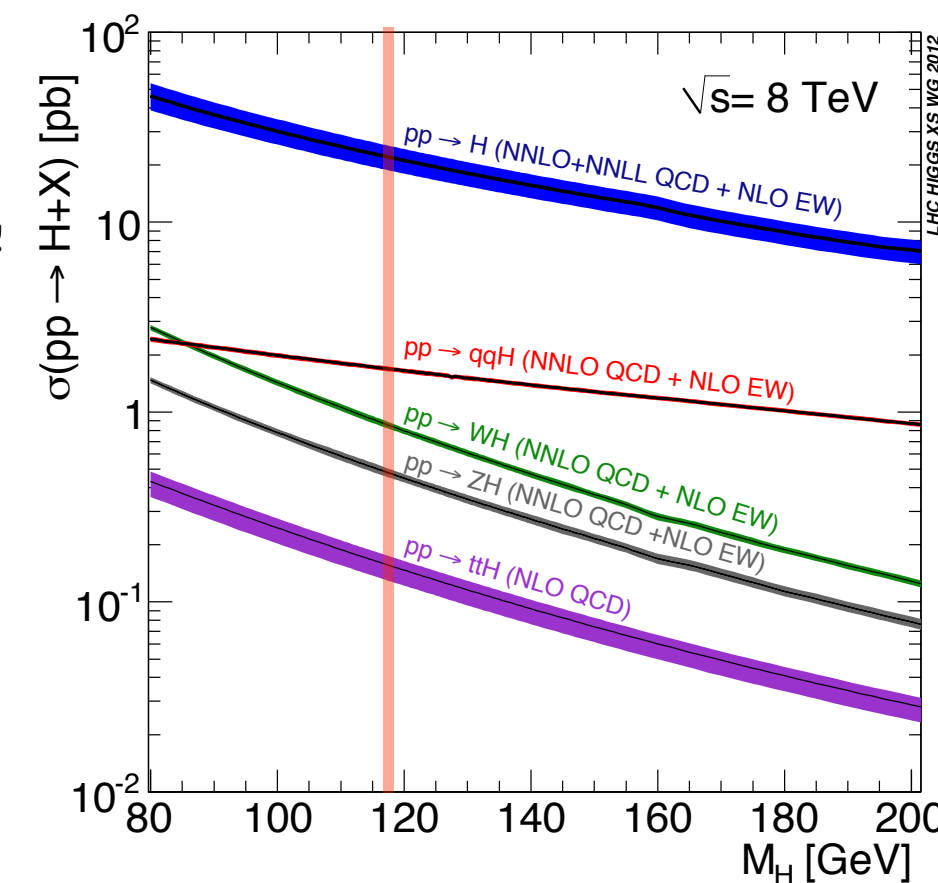


- 主にtop-quarkのループ
- top quarkとの湯川結合の間接的証拠
- gluonが多いので σ が大

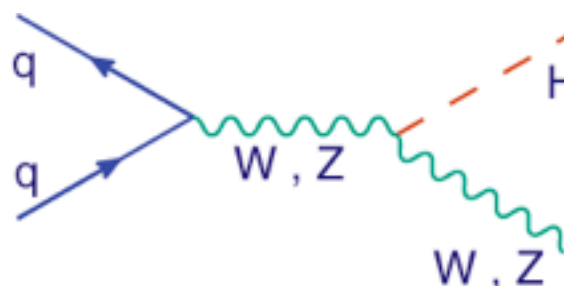
Vector Boson Fusion (VBF)



- ゲージ粒子との結合の直接測定
- 前後方向に出る2本のジェット

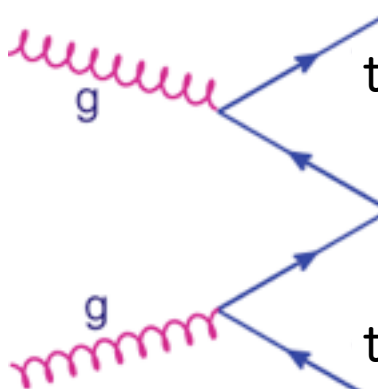


WH/ZH過程 (VH)



- ゲージ粒子との結合の直接測定
- W/Zからの高運動量レプトン

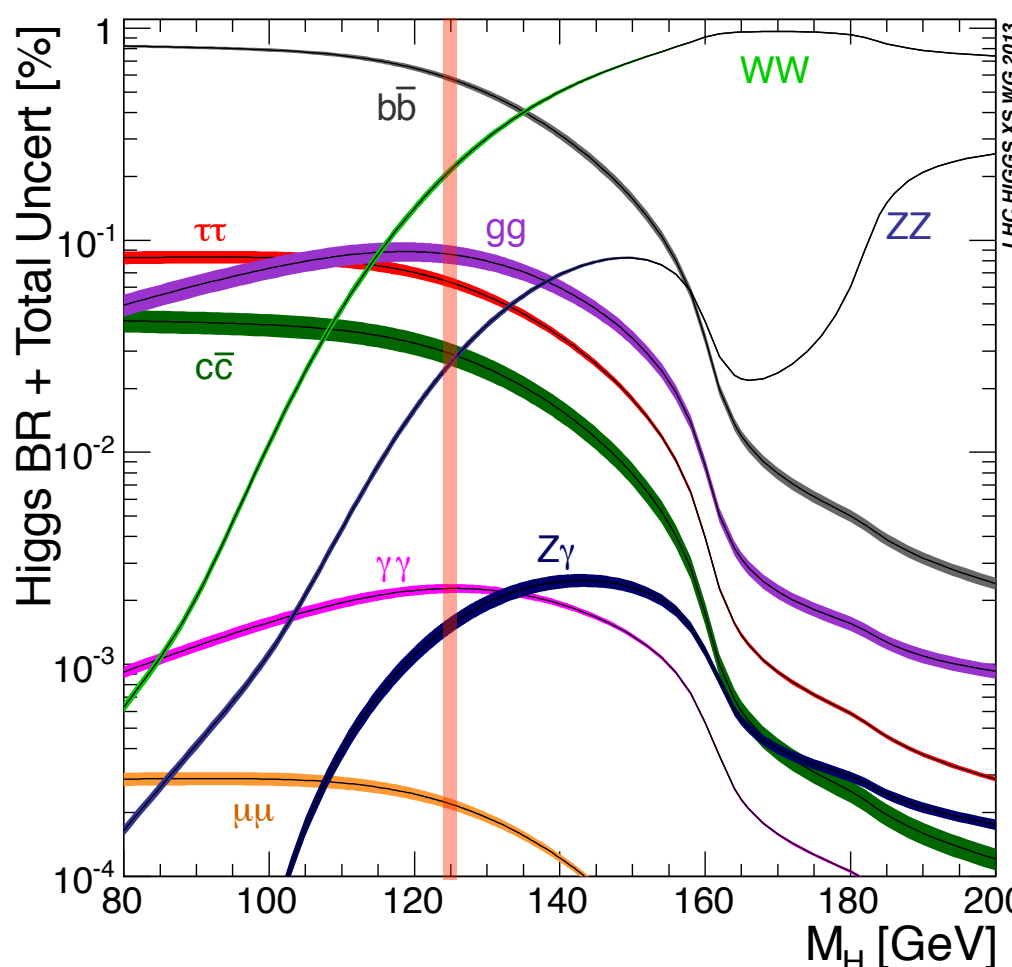
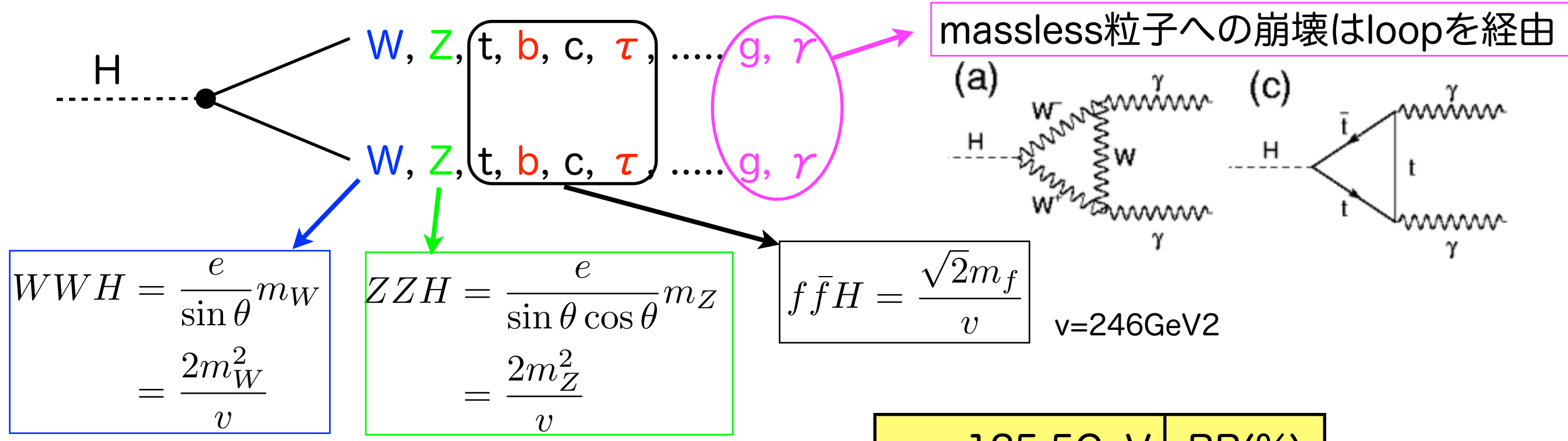
ttH過程 (ttH)



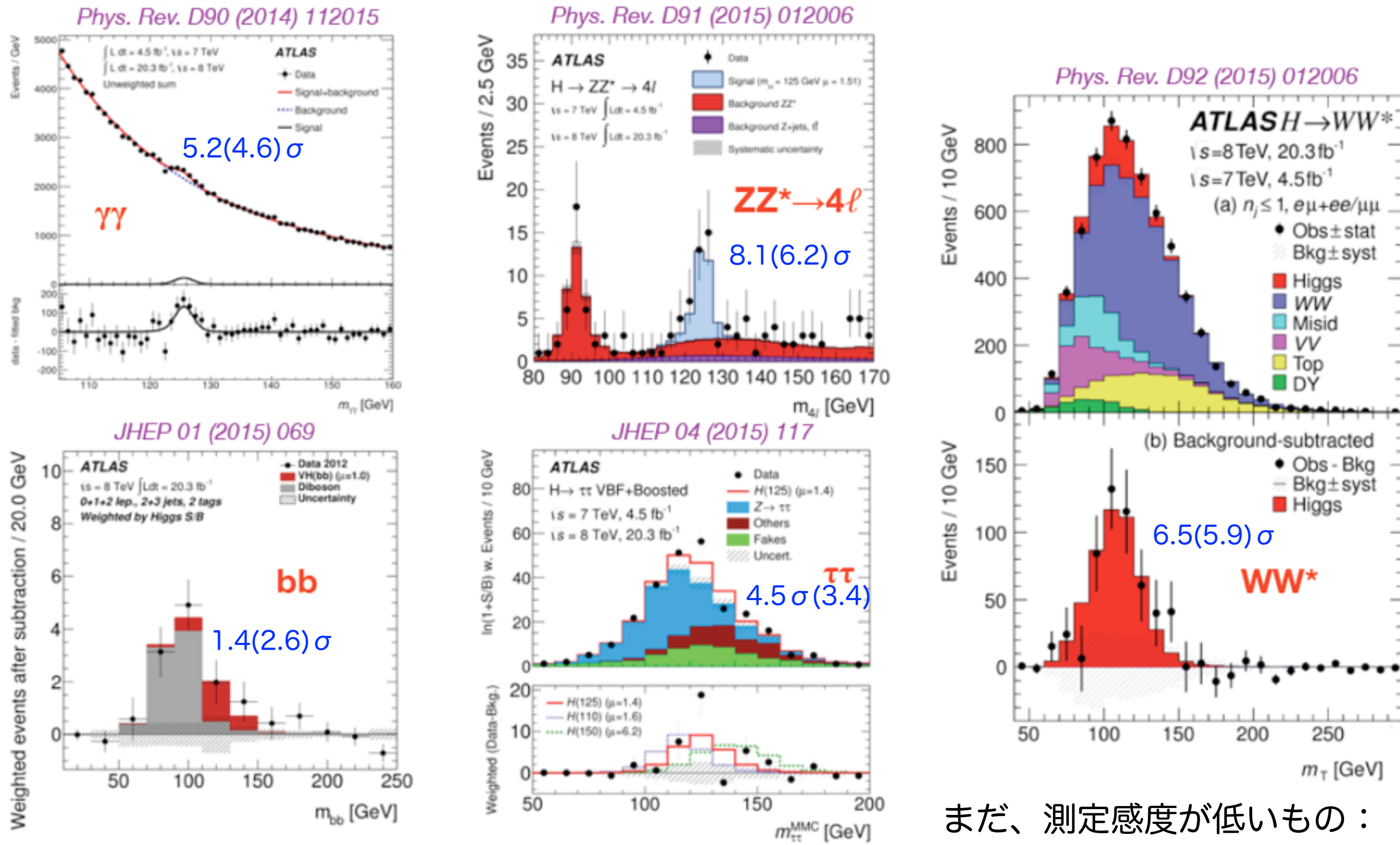
- top quarkとの湯川結合の直接的証拠

$\sigma(\text{pb})$	8TeV	13TeV
ggF	19.3	43.9
VBF	1.6	3.7
WH	0.7	1.4
ZH	0.4	0.9
ttH	0.13	0.51

ヒッグス粒子崩壊過程



Run 1で観測したヒッグス粒子事象数



まだ、測定感度が低いもの：
 $H \rightarrow Z\gamma$, $H \rightarrow \mu\mu$, tth

signal strength

signal strength : 理論予想の何倍観測されたか ?

[arXiv:1507.04548](https://arxiv.org/abs/1507.04548)

$$i \rightarrow H \text{ 生成 : } \mu_i = \frac{\sigma_i}{(\sigma_i)_{\text{SM}}} \quad \text{ggF, VBF, VZ, ttH?}$$

$$H \rightarrow f \text{ 崩壊 : } \mu_f = \frac{\text{BR}_f}{(\text{BR}_f)_{\text{SM}}}$$

$i \rightarrow H \rightarrow f$ の signal strength :

$$\mu = \mu_i \times \mu_f = \frac{\sigma_i \times \text{BR}_f}{(\sigma_i \times \text{BR}_f)_{\text{SM}}}$$

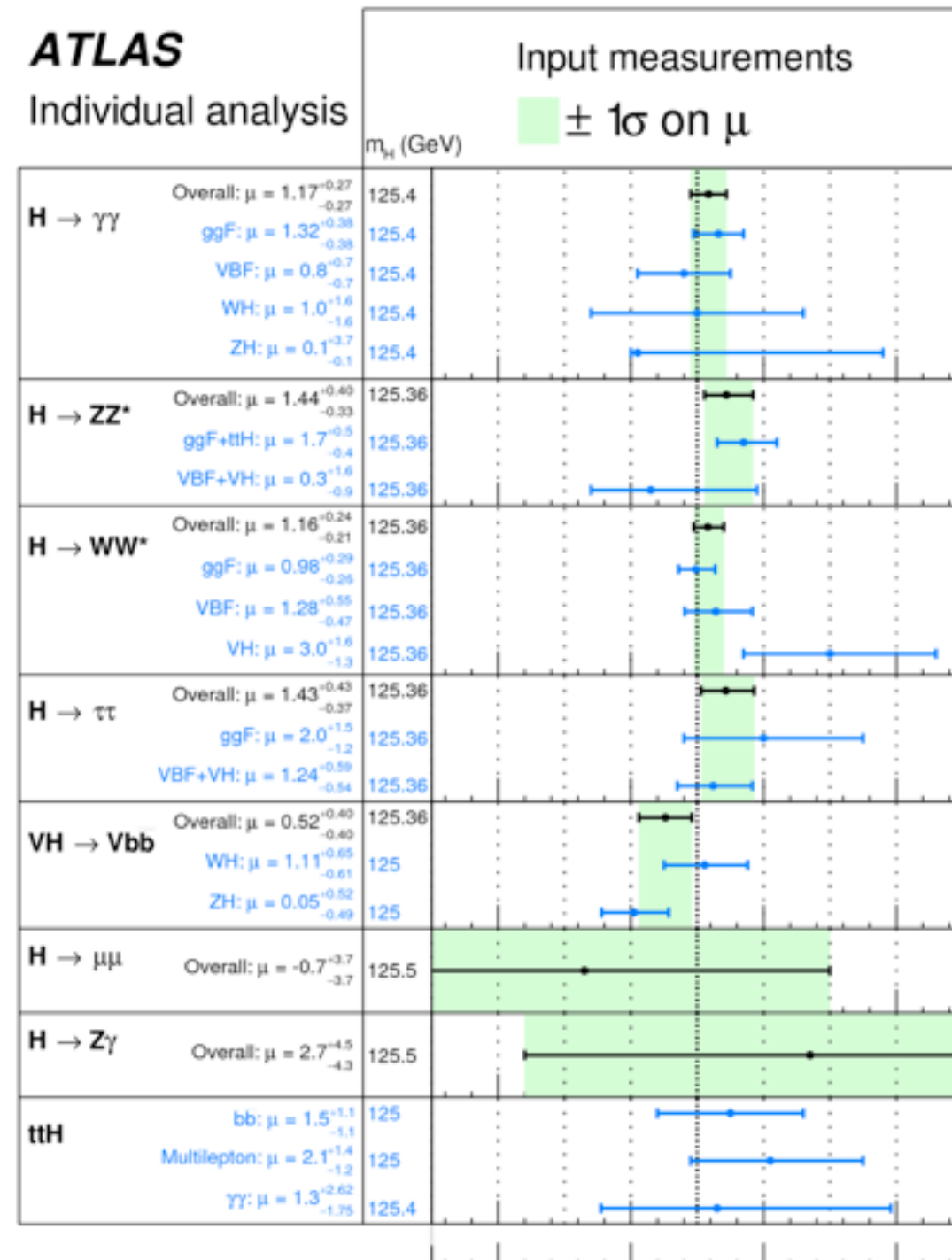
信号数 = $\sigma \times \text{BR} \times (\text{acceptance}) \times (\text{reco. effi.})$:

$$n_S = \sum_i \sum_f \mu_i (\sigma_i)_{\text{SM}} \times \mu_f (\text{BR}_f)_{\text{SM}} \times A_{if} \times \epsilon_{if} \times \mathcal{L}$$

↑ 测定 ↑ 予想 ↑ 見積 ↑ 测定

ATLAS

Individual analysis



$\sqrt{s} = 7 \text{ TeV}, 4.5-4.7 \text{ fb}^{-1}$

$\sqrt{s} = 8 \text{ TeV}, 20.3 \text{ fb}^{-1}$

Signal strength (μ)

Higgs coupling

Hff coupling : $g_F^{\text{SM}} = \sqrt{2} \frac{m_F}{v}$

HVV coupling : $g_V^{\text{SM}} = 2 \frac{m_V^2}{v}$

coupling strength(κ): SMの予想の何倍?

$$g_i = g_i^{\text{SM}} \times \kappa_i$$

$$\Gamma_H = \Gamma_H^{\text{SM}} \times \kappa_H^2$$

signal strengthはcoupling strengthで書ける

$$\sigma \cdot \text{BR}(i \rightarrow H \rightarrow f) = \frac{\sigma_i \cdot \Gamma_f}{\Gamma_H}$$

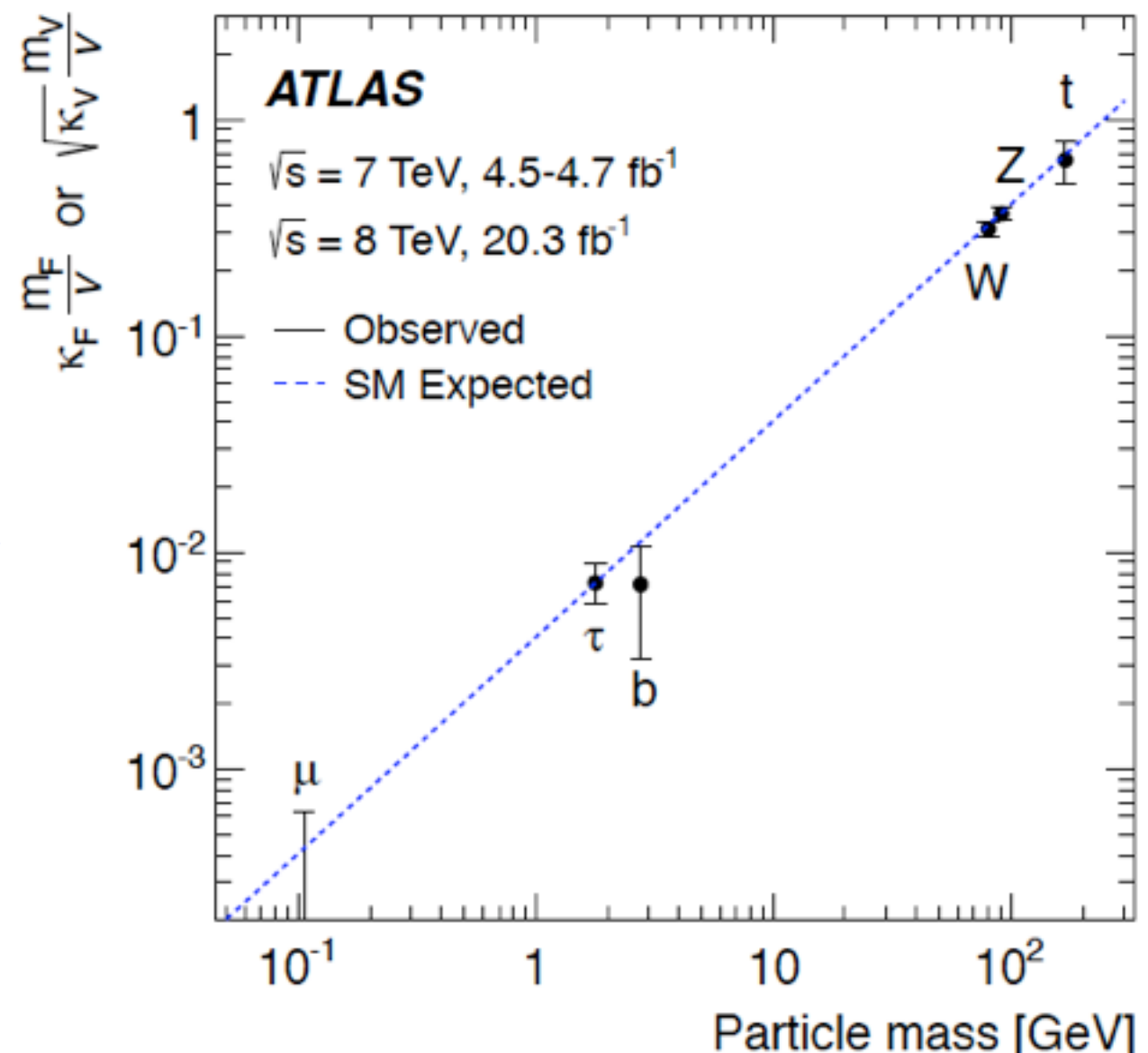
例: gg \rightarrow H \rightarrow $\gamma\gamma$

$$\frac{\sigma \cdot \text{BR}(gg \rightarrow H \rightarrow \gamma\gamma)}{\sigma_{\text{SM}}(gg \rightarrow H) \cdot \text{BR}_{\text{SM}}(H \rightarrow \gamma\gamma)} = \frac{\kappa_g^2 \cdot \kappa_\gamma^2}{\kappa_H^2}$$

$$= \mu_i \times \mu_f$$

[arXiv:1507.04548](https://arxiv.org/abs/1507.04548)

$\kappa_Z, \kappa_W, \kappa_t, \kappa_b, \kappa_\tau, \kappa_\mu$ を測定

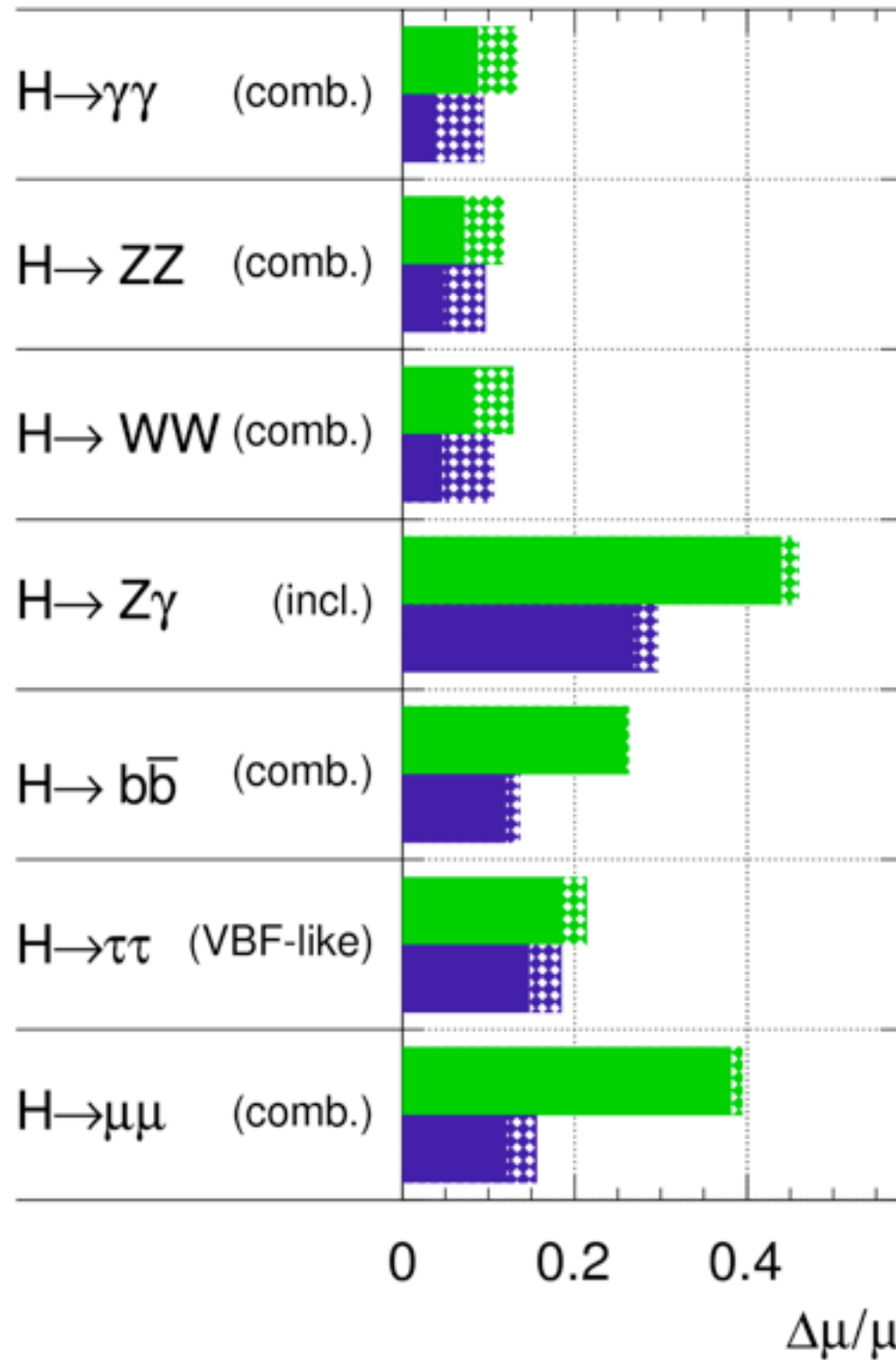


Loopや Γ_H は、SMを仮定

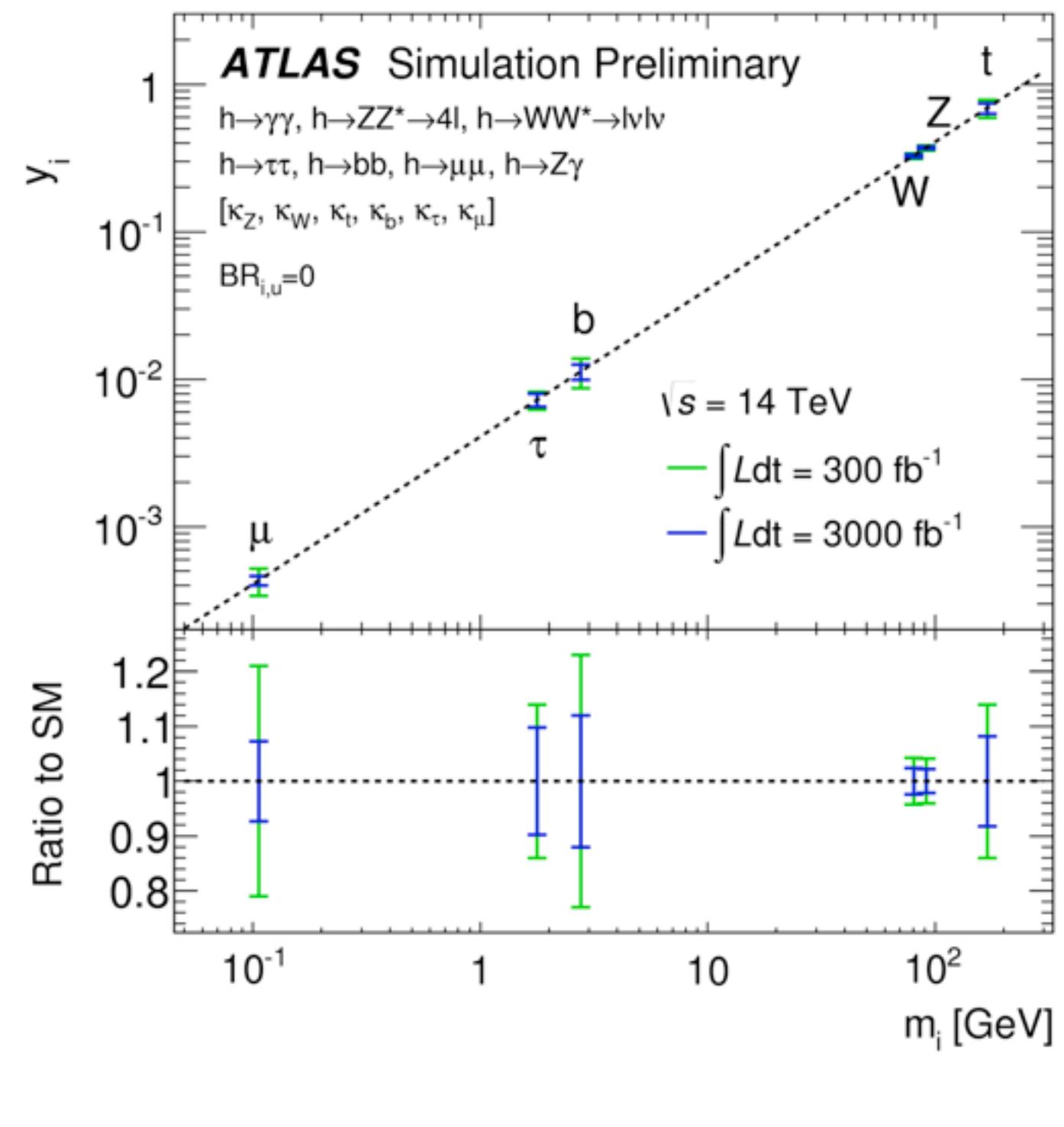
Higgs coupling 展望

ATLAS Simulation Preliminary

$\sqrt{s} = 14 \text{ TeV}$: $\int L dt = 300 \text{ fb}^{-1}$; $\int L dt = 3000 \text{ fb}^{-1}$



Run2 : $L=100 \text{ fb}^{-1}$

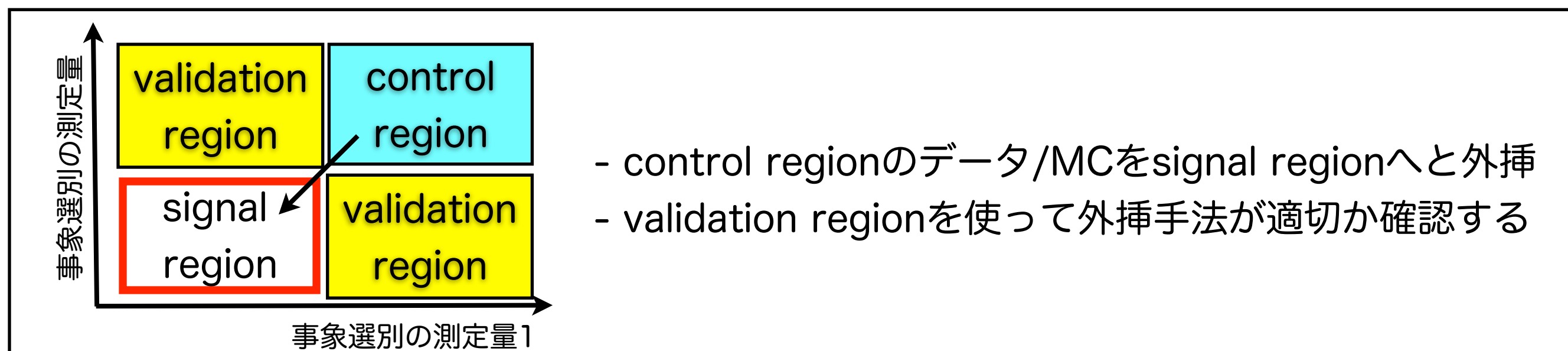
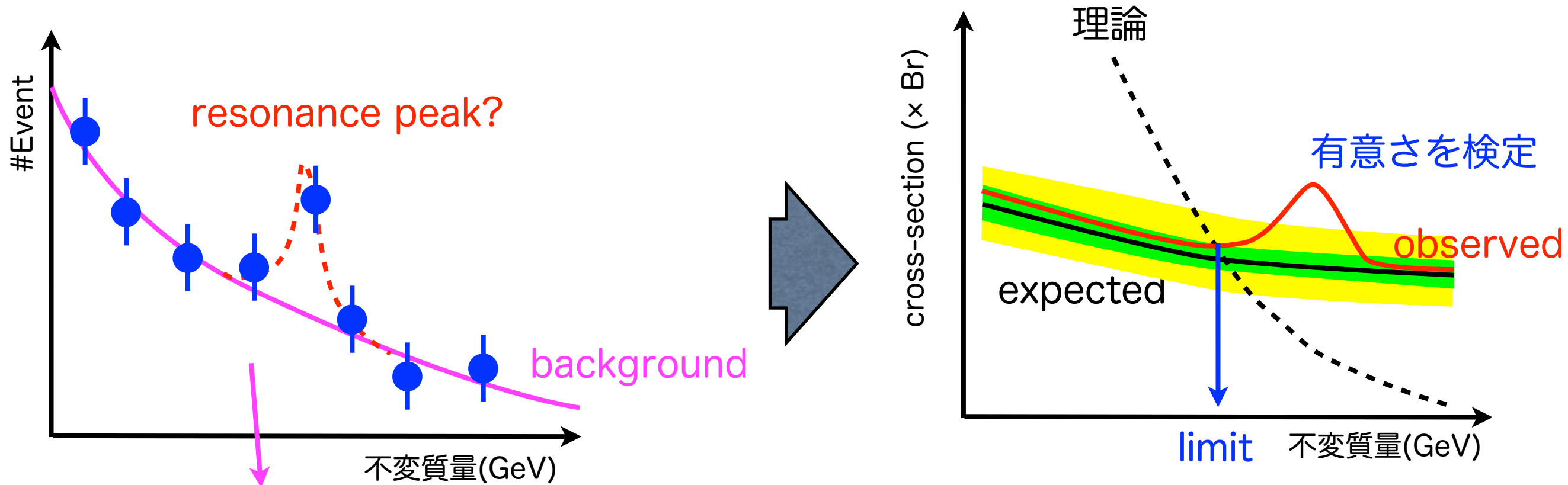


新物理探索

13TeV最新結果
SUSY探索の展望

直接探索のアプローチ

1. 信号と背景事象を区別する測定値を探す（不变質量など）
2. Simulation, data driven, 両方で背景事象の評価
3. 観測データと予想される背景事象との比較 (excess??)
4. 信号模型に対する制限を求める



Run1 : 新粒子探索(SUSY以外)

ATLAS Exotics Searches* - 95% CL Exclusion

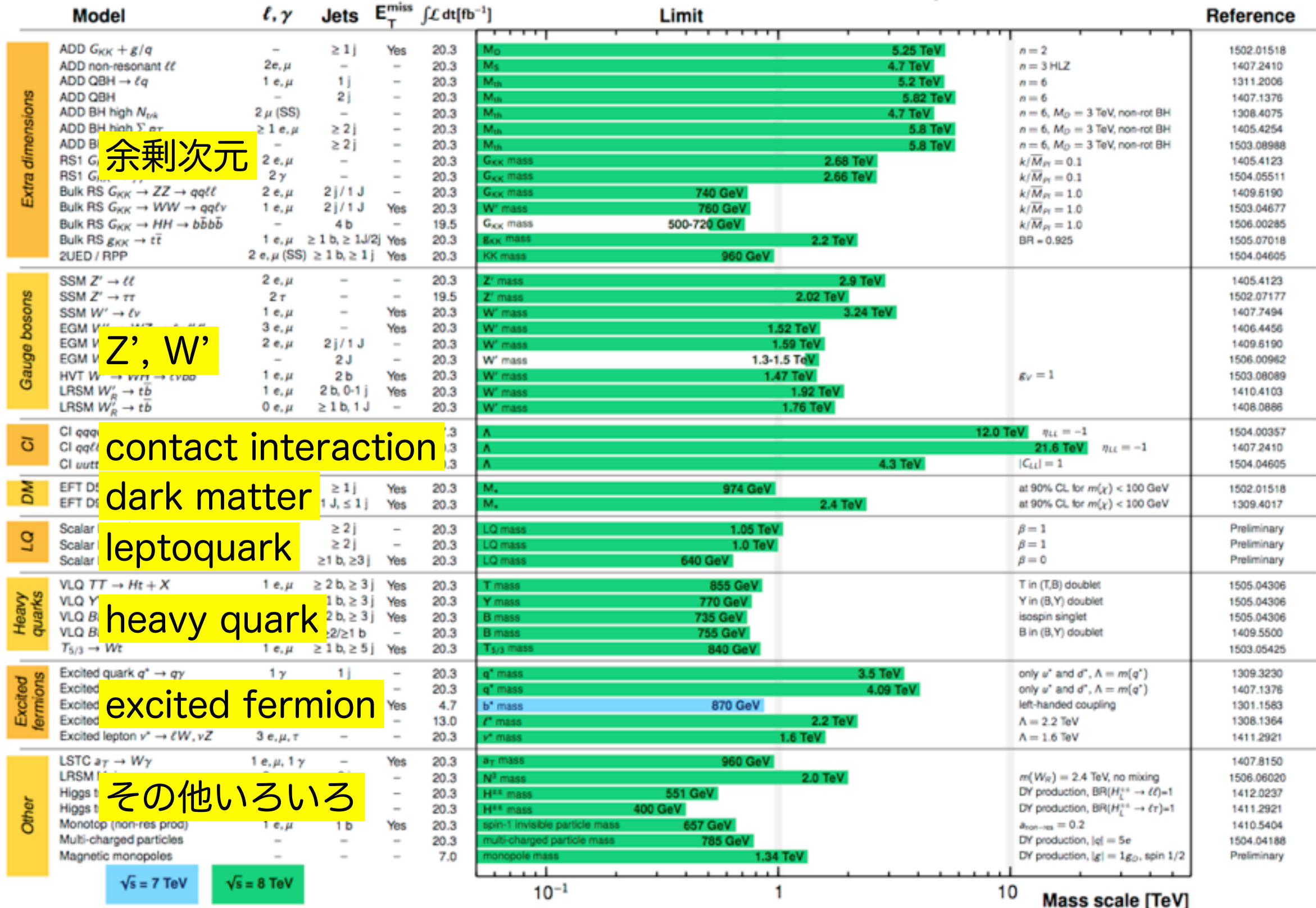
Status: July 2015

ATLAS Preliminary

$$\int \mathcal{L} dt = (4.7 - 20.3) \text{ fb}^{-1}$$

$\sqrt{s} = 7, 8 \text{ TeV}$

Reference



余剩次元

Z', W'

contact interaction

dark matter

leptoquark

heavy quark

その他いろいろ

$\sqrt{s} = 7 \text{ TeV}$

$\sqrt{s} = 8 \text{ TeV}$

*Only a selection of the available mass limits on new states or phenomena is shown.

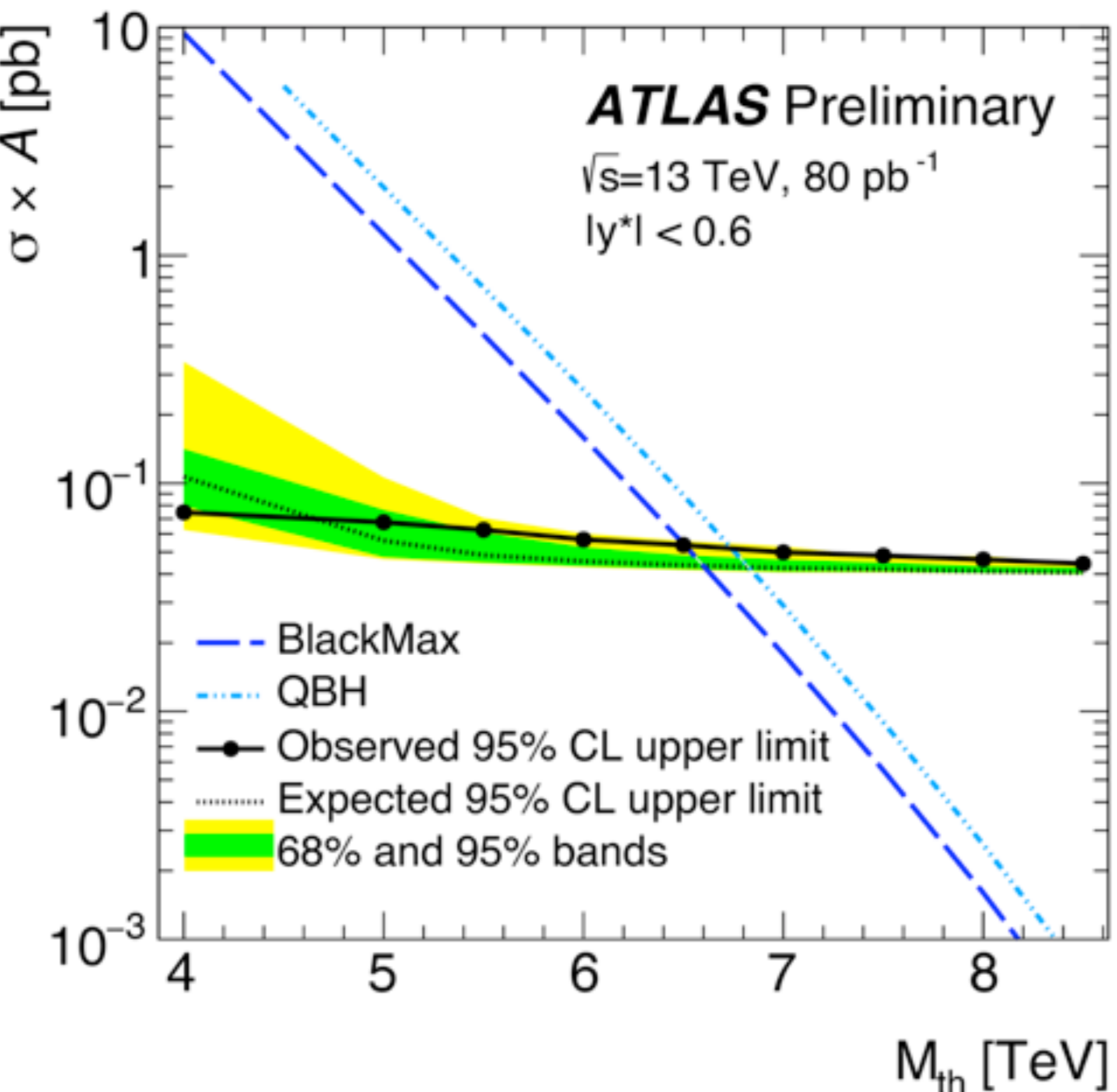
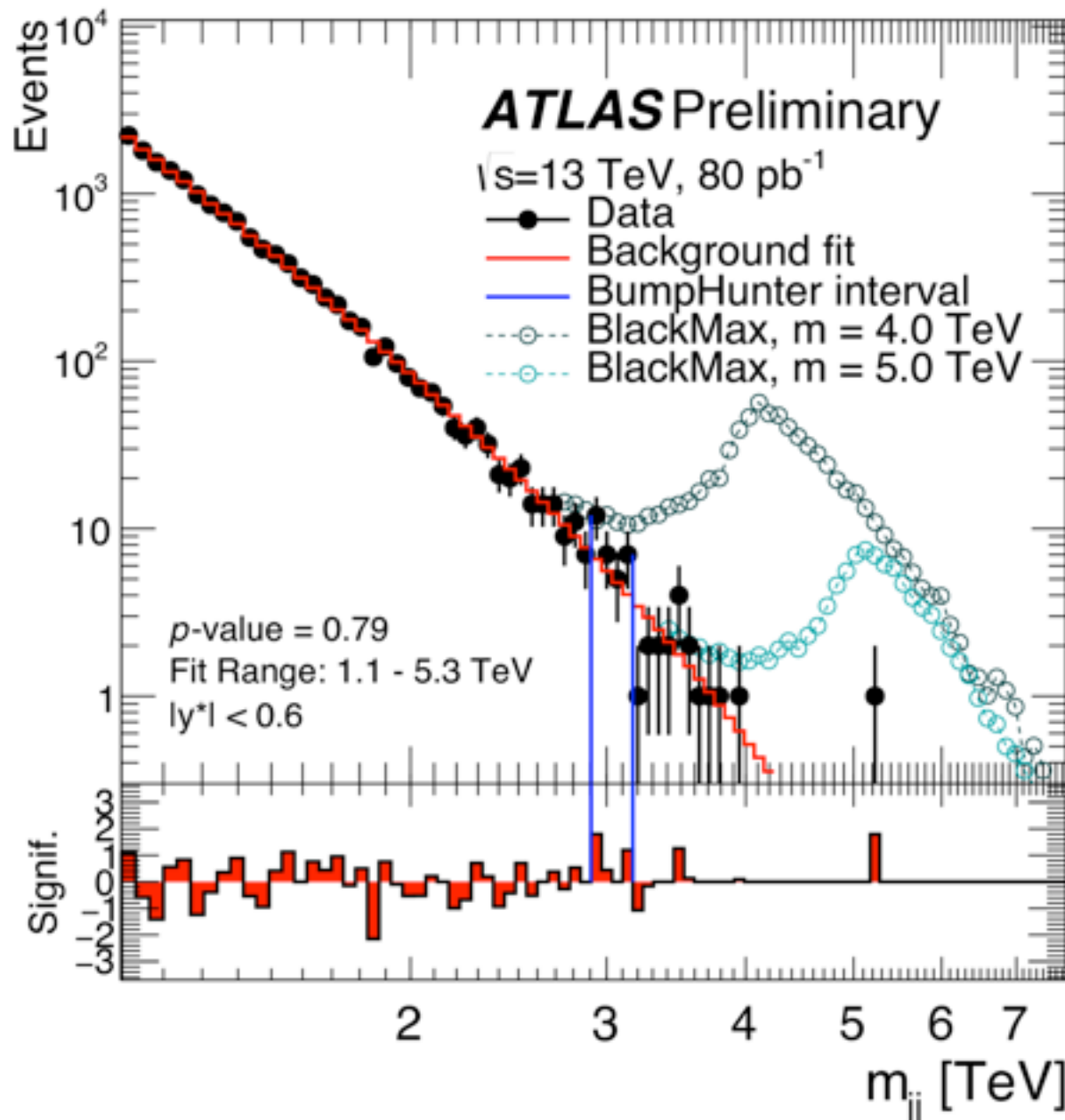
Run 2の探索：Dijet探索

$pT > 410\text{GeV}$, 50GeVのdijet invariant mass

ATLAS-CONF-2015-042

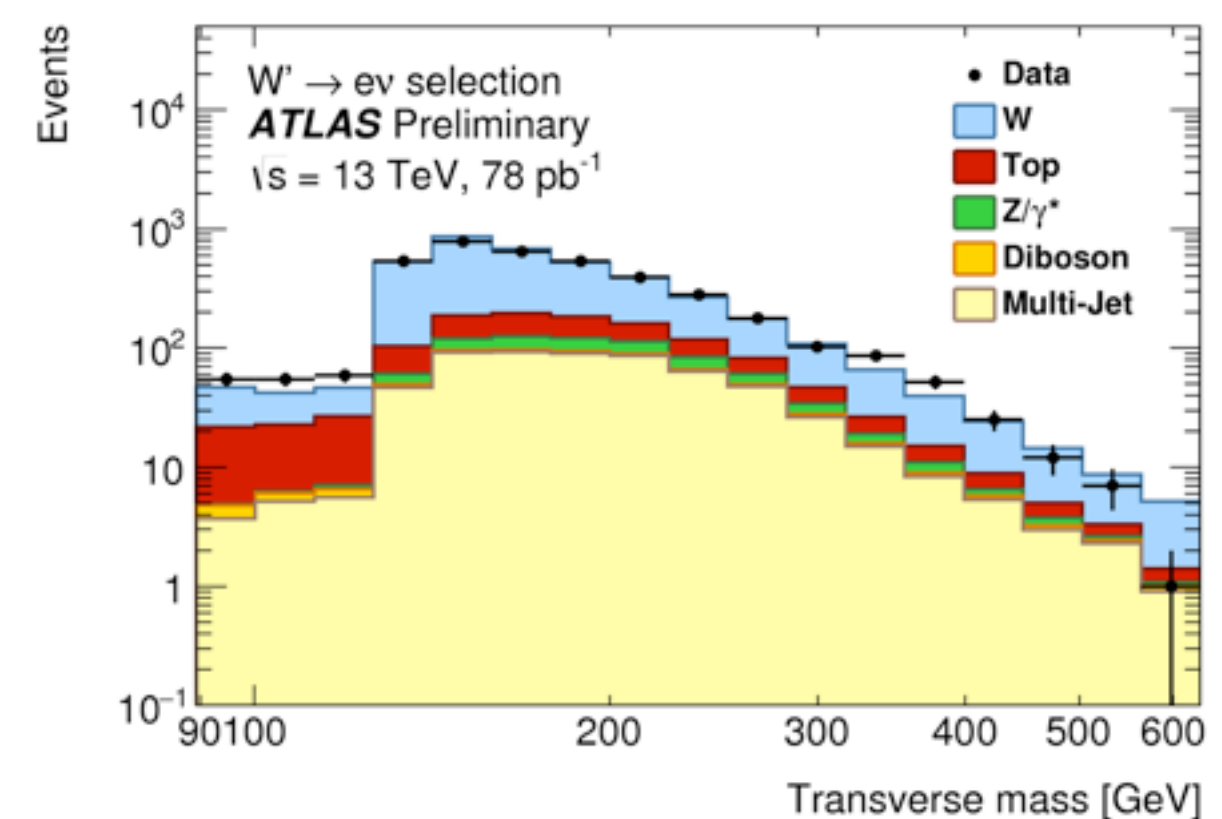
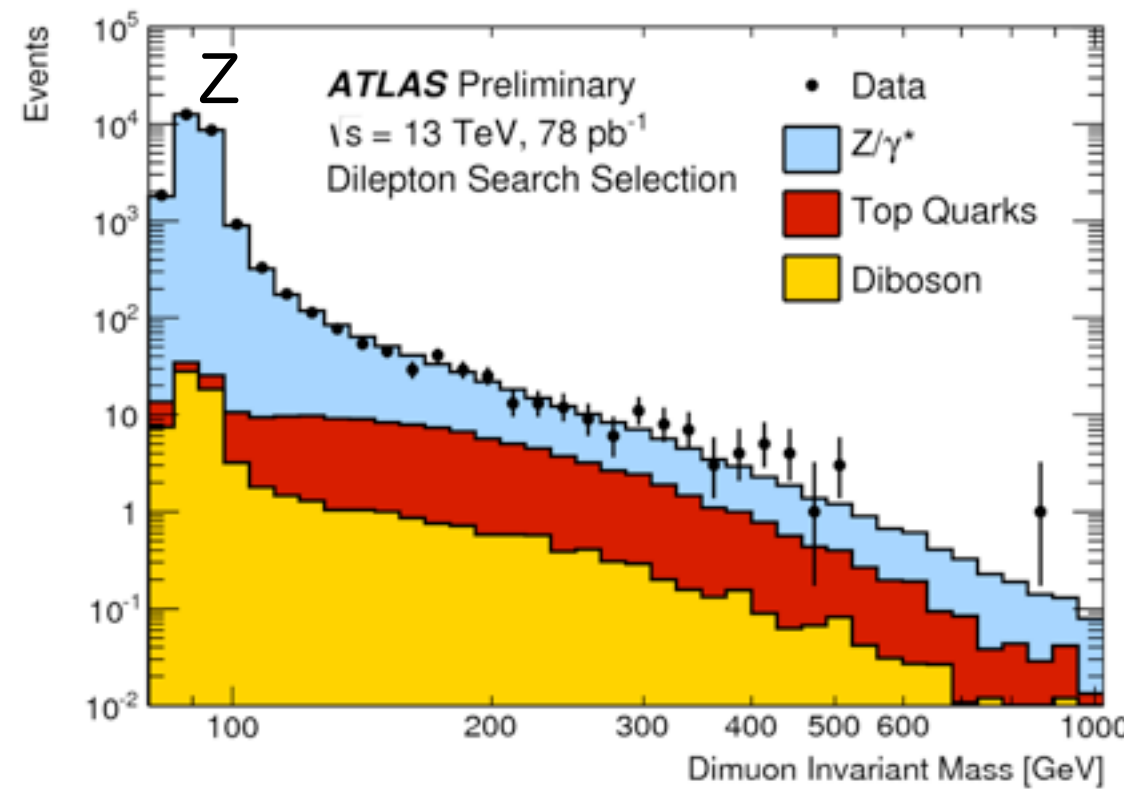
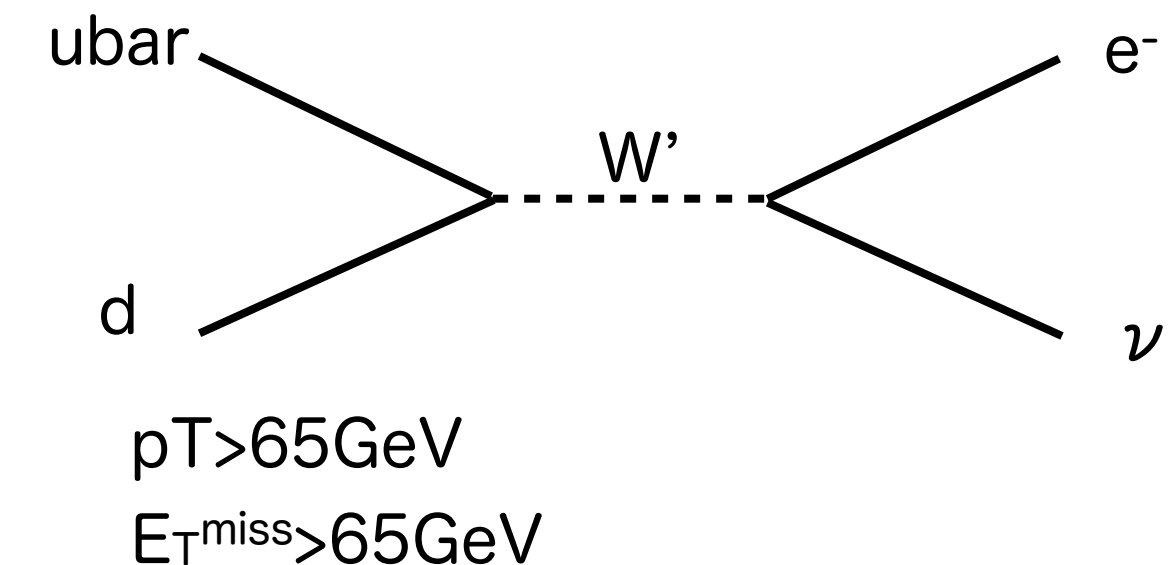
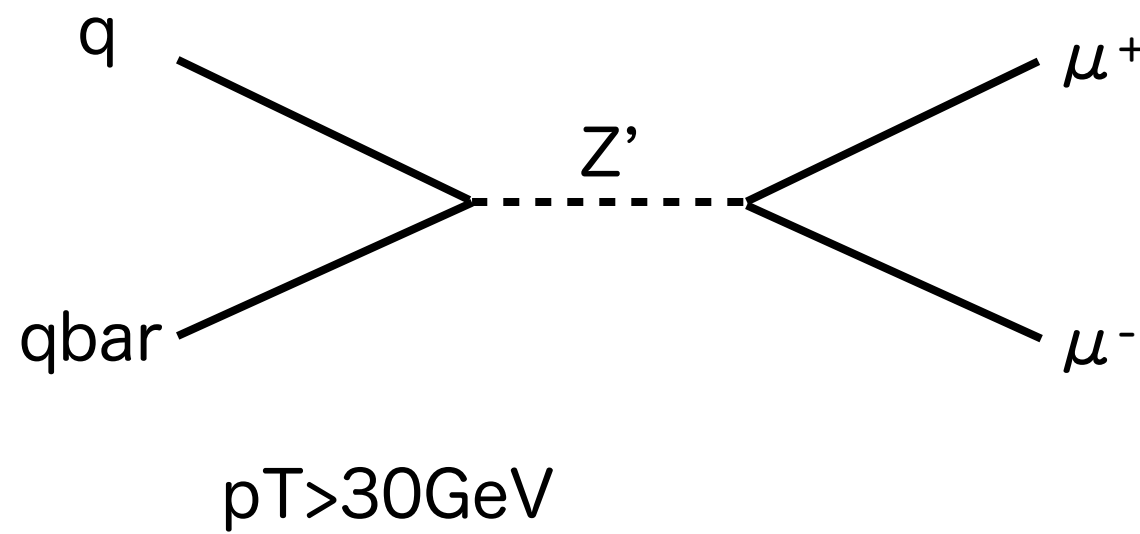
smooth関数で背景事象を評価

$$f(x) = p_1(1 - x)^{p_2} x^{p_3} \quad x = m_{jj}/\sqrt{s}$$



あるモデルの(ADD, $n=6$) の量子重力を~6.5TeVまで棄却
→ Run 1よりも1TeV位 improve

Run 2の探索：Z', W' search

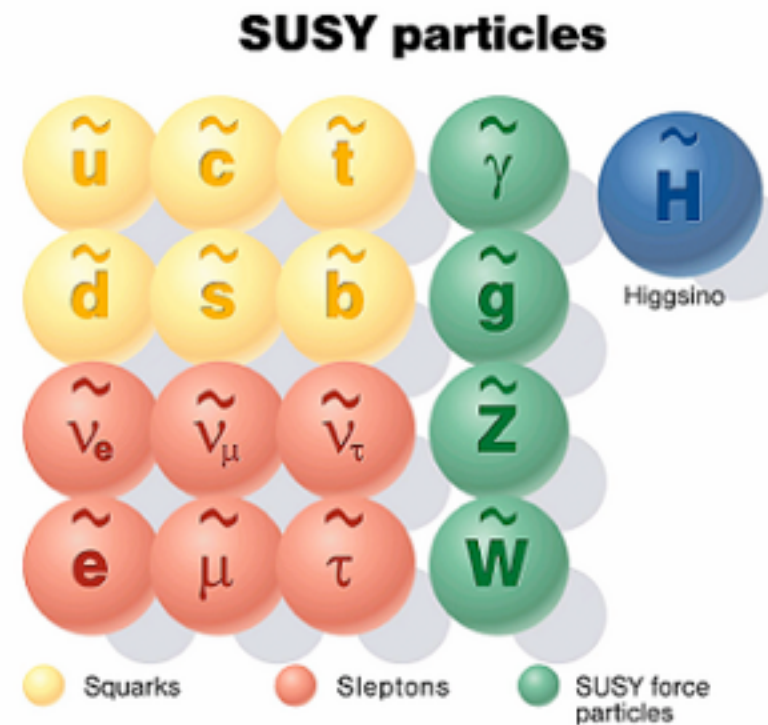
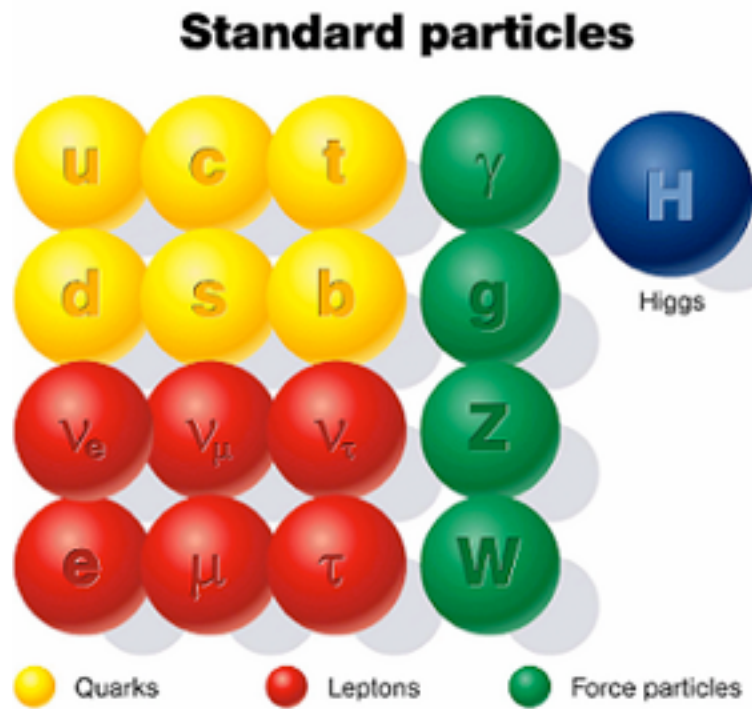


$$m_T = \sqrt{2p_T^\ell E_T^{\text{miss}}(1 - \cos \Delta\phi_{\ell\nu})}$$

13TeV, 2~3fb⁻¹のデータでRun1の感度を超える見込み

95% C.L. limit 約3TeV

SUSY



Neutralino($\tilde{\chi}^0$):
bino, 中性wino, 中性higgsino
Chargino($\tilde{\chi}^\pm$):
荷電wino, 荷電higgsino

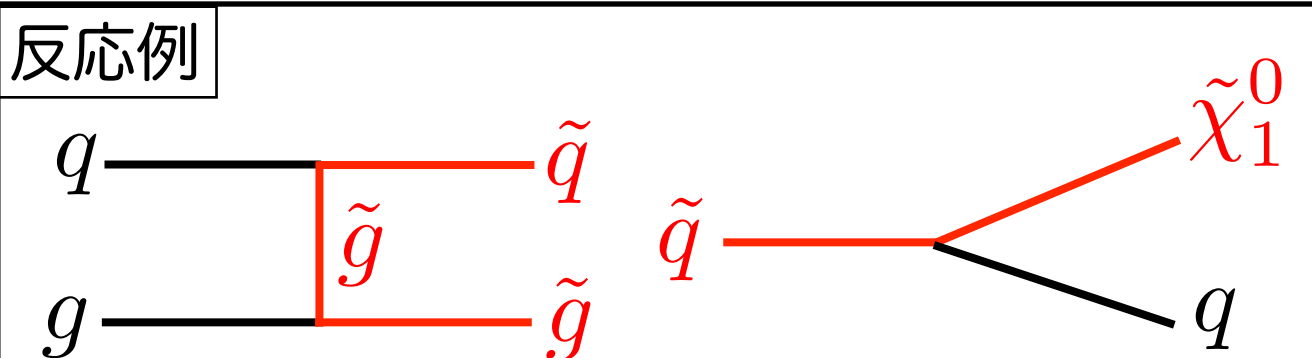
超対称性粒子の性質：

- ・ フェルミオンとボゾンの入れ替え
 - ▶ SM粒子に対してspinが1/2違うSUSY
- ・ spin以外の量子数(電荷など)は同じ
 - ▶ SM粒子と同じ相互作用をする
- ・ 超対称性は破れている
 - ▶ SUSYはSM粒子よりも重い
- ・ 多くのモデルにRパリティ($\equiv (-1)^{2S+3B-L}$)
 - SM粒子は正、SUSYは負
 - ▶ SUSYはSM粒子から対生成で生成
 - ▶ SUSYはSUSYとSM粒子に崩壊
 - ▶ 最も軽いSUSYは安定→暗黒物質

超対称性粒子のご利益：

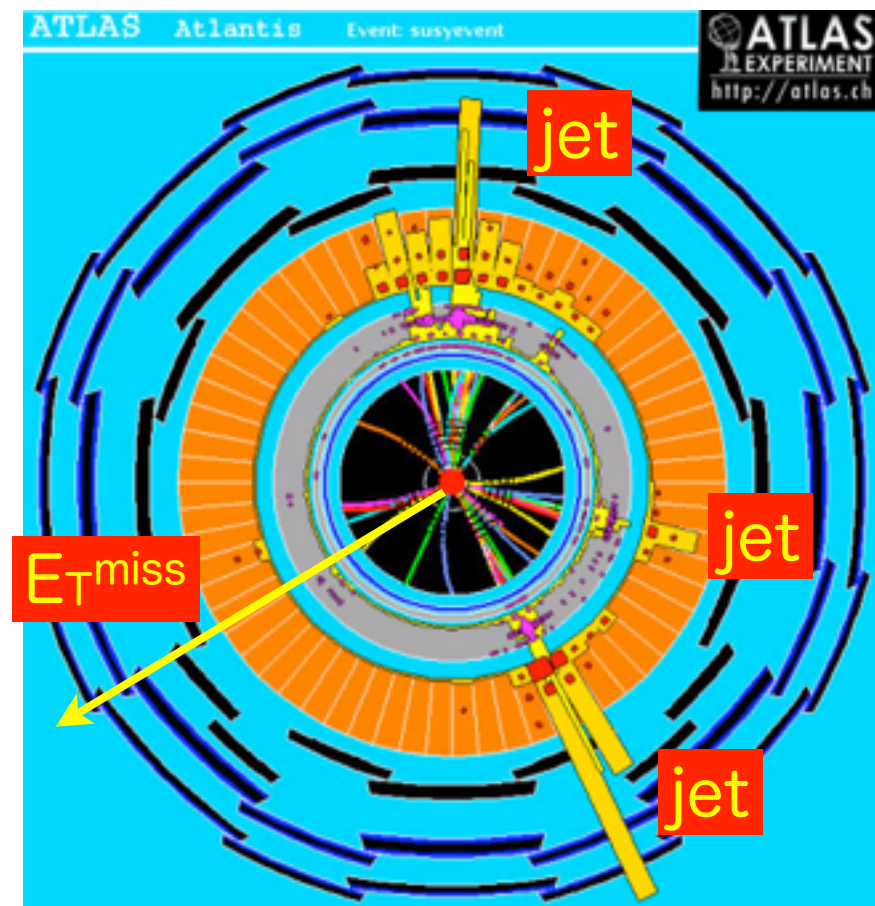
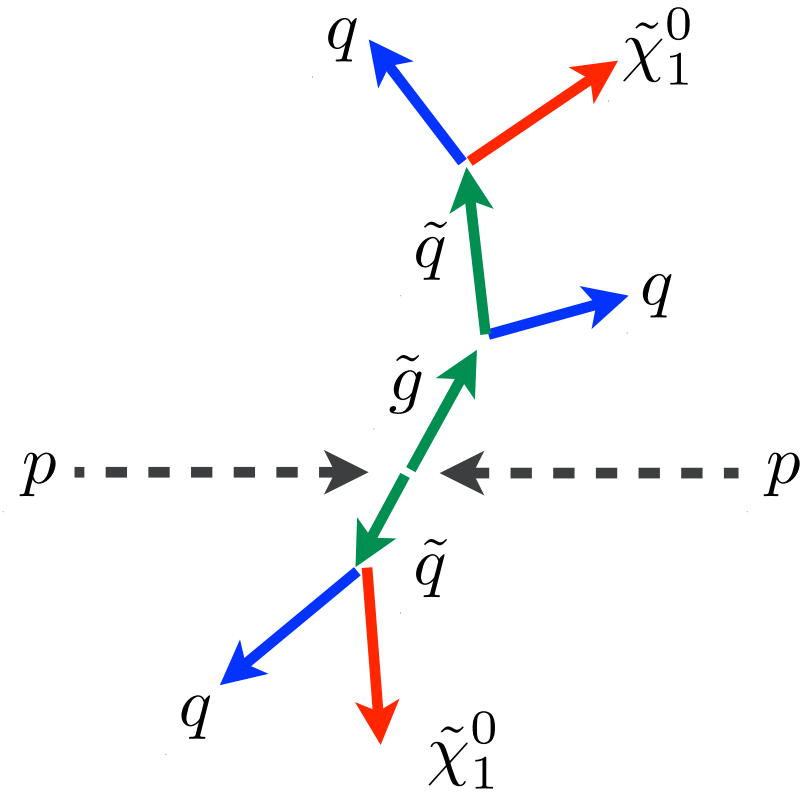
- ・ 力の大統一の可能性
- ・ 暗黒物質
- ・ 階層性問題の解決

反応例

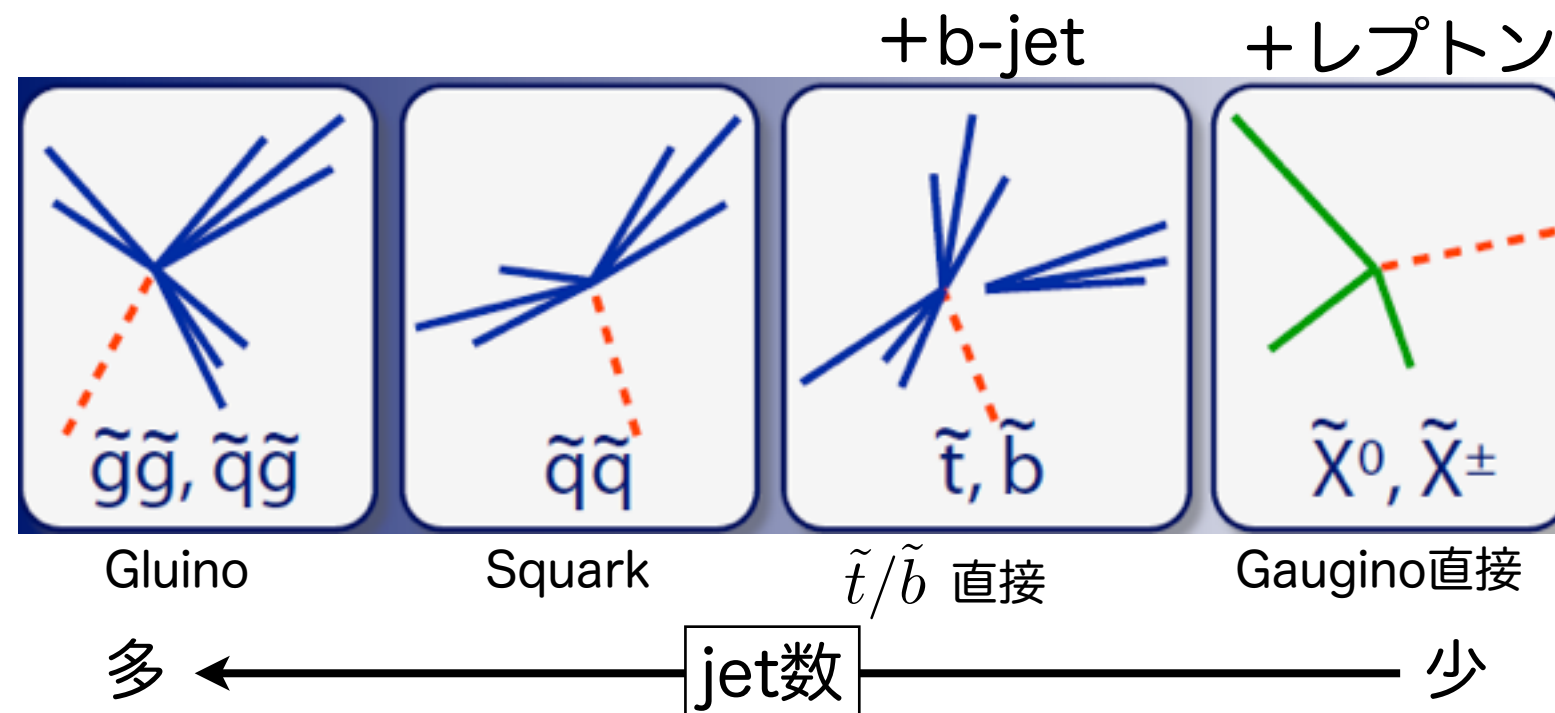


典型的なSUSYのsignature

陽子陽子衝突なのでカラーを持つSUSYの生成が主



様々な生成過程を考慮：signatureも変わる



$$E_T^{\text{miss}} + \text{high } p_T \text{ jets} + \begin{cases} \text{lepton} \\ \text{b-jet} \\ \tau\text{-jet} \end{cases}$$

信号と背景事象の分離：

$$m_{eff} = \sum_{\text{jets}} p_T + \sum_{\text{leptons}} p_T + E_T^{\text{miss}}$$

Run 1 SUSY探索

ATLAS SUSY Searches* - 95% CL Lower Limits

Status: July 2015

ATLAS Preliminary

$\sqrt{s} = 7, 8 \text{ TeV}$

Reference

Model	e, μ, τ, γ	Jets	E_T^{miss}	$\int \mathcal{L} dt [\text{fb}^{-1}]$	Mass limit		$\sqrt{s} = 7 \text{ TeV}$	$\sqrt{s} = 8 \text{ TeV}$	Reference	
					Mass limit	Mass limit				
Inclusive Searches	MSUGRA/CMSSM	0-3 $e, \mu, 1-2 \tau$	2-10 jets/3 b	Yes	20.3	\tilde{q}, \tilde{g}		1.8 TeV		1507.05525
	$\tilde{q}\tilde{q}, \tilde{q} \rightarrow q\tilde{q}_1^0$	0	2-6 jets	Yes	20.3	\tilde{q}	850 GeV			1405.7875
	$\tilde{q}\tilde{q}, \tilde{q} \rightarrow q\tilde{q}_1^0$ (compressed)	mono-jet	1-3 jets	Yes	20.3	\tilde{q}	100-440 GeV			1507.05525
	$\tilde{q}\tilde{q}, \tilde{q} \rightarrow q(\ell\ell/\ell\nu/\nu\nu)\tilde{\chi}_1^0$	2 e, μ (off-Z)	2 jets	Yes	20.3	\tilde{q}	780 GeV			1503.03290
	$\tilde{g}\tilde{g}, \tilde{g} \rightarrow q\tilde{q}\tilde{\chi}_1^0$	0	2-6 jets	Yes	20.3	\tilde{g}	1.33 TeV			1405.7875
	$\tilde{g}\tilde{g}, \tilde{g} \rightarrow q\tilde{q}\tilde{\chi}_1^0 \rightarrow q\bar{q}W^\pm\tilde{\chi}_1^0$	0-1 e, μ	2-6 jets	Yes	20	\tilde{g}	1.26 TeV			1507.05525
	$\tilde{g}\tilde{g}, \tilde{g} \rightarrow q\tilde{q}\tilde{\chi}_1^0 \rightarrow q\bar{q}W^\pm\tilde{\chi}_1^0$	-	-	-	20	\tilde{g}	1.32 TeV			1501.03555
	GM	-	-	-	20.3	\tilde{g}	1.6 TeV			1407.0603
	GG	-	-	-	20.3	\tilde{g}	1.29 TeV			1507.05493
	GGM (higgsino-bino NLSP)	γ	1 b	Yes	20.3	\tilde{g}	1.3 TeV			1507.05493
3rd gen. med.	GGM (higgsino-bino NLSP)	γ	2 jets	Yes	20.3	\tilde{g}	1.25 TeV			1507.05493
	GGM (higgsino NLSP)	2 e, μ (Z)	2 jets	Yes	20.3	\tilde{g}	850 GeV			1503.03290
	Gravitino LSP	0	mono-jet	Yes	20.3	\tilde{G}	865 GeV			1502.01518
						$F^{1/2}$ scale				
3rd gen. direct production	$\tilde{g}\tilde{g}, \tilde{g} \rightarrow b\bar{b}\tilde{\chi}_1^0$	-	-	Yes	20.1	\tilde{g}	1.25 TeV			1407.0600
	$\tilde{g}\tilde{g}, \tilde{g} \rightarrow b\bar{b}\tilde{\chi}_1^0$	-	-	Yes	20.3	\tilde{g}	1.1 TeV			1308.1841
	$\tilde{g}\tilde{g}, \tilde{g} \rightarrow b\bar{b}\tilde{\chi}_1^0$	0-1 e, μ	3 b	Yes	20.1	\tilde{g}	1.34 TeV			1407.0600
	$\tilde{g}\tilde{g}, \tilde{g} \rightarrow b\bar{b}\tilde{\chi}_1^0$	0-1 e, μ	3 b	Yes	20.1	\tilde{g}	1.3 TeV			1407.0600
EW direct	$b_1\tilde{b}_1, \tilde{b}_1 \rightarrow b\tilde{\chi}_1^0$	0	2 b	Yes	20.1	\tilde{b}_1	100-620 GeV			1308.2631
	$b_1\tilde{b}_1, \tilde{b}_1 \rightarrow b\tilde{\chi}_1^0$	2 e, μ (SS)	0-3 b	Yes	20.3	\tilde{b}_1	275-440 GeV			1404.2500
	$\tilde{t}_1\tilde{t}_1, \tilde{t}_1 \rightarrow t\tilde{\chi}_1^0$	1-2 e, μ	1-2 b	Yes	4.7/20.3	\tilde{t}_1	110-167 GeV			1209.2102, 1407.0583
	$\tilde{t}_1\tilde{t}_1, \tilde{t}_1 \rightarrow t\tilde{\chi}_1^0$	1-2 e, μ	0-2 jets/1-2 b	Yes	20.3	\tilde{t}_1	90-191 GeV			1506.08616
Long-lived particles	$\tilde{t}_1\tilde{t}_1$ (natural GMSB)	$\geq e, \mu$ (Z)	1 b	Yes	20.3	\tilde{t}_1	230-460 GeV			1407.0608
	$\tilde{t}_1\tilde{t}_2, \tilde{t}_2 \rightarrow \tilde{t}_1 + Z$	3 e, μ (Z)	1 b	Yes	20.3	\tilde{t}_1	210-700 GeV			1403.5222
	$\tilde{t}_1\tilde{t}_2, \tilde{t}_2 \rightarrow \tilde{t}_1 + Z$	3 e, μ (Z)	1 b	Yes	20.3	\tilde{t}_2	150-580 GeV			1403.5222
	$\tilde{t}_1\tilde{t}_2, \tilde{t}_2 \rightarrow \tilde{t}_1 + Z$	3 e, μ (Z)	1 b	Yes	20.3	\tilde{t}_2	290-600 GeV			1403.5222
RPV	$\tilde{\chi}_1^{\pm}\tilde{\chi}_1^{\mp}, \tilde{\chi}_1^{\pm} \rightarrow l\ell\tilde{\chi}_1^0$	2 e, μ	0	Yes	20.3	$\tilde{\chi}_1^{\pm}$	90-325 GeV			1403.5294
	$\tilde{\chi}_1^{\pm}\tilde{\chi}_1^{\mp}, \tilde{\chi}_1^{\pm} \rightarrow l\ell\tilde{\chi}_1^0$	2 e, μ	0	Yes	20.3	$\tilde{\chi}_1^{\pm}$	140-465 GeV			1403.5294
	$\tilde{\chi}_1^{\pm}\tilde{\chi}_1^{\mp}, \tilde{\chi}_1^{\pm} \rightarrow \tau\tau\tilde{\chi}_1^0$	2 τ	-	Yes	20.3	$\tilde{\chi}_1^{\pm}$	100-350 GeV			1407.0350
	$\tilde{\chi}_1^{\pm}\tilde{\chi}_1^{\mp}, \tilde{\chi}_1^{\pm} \rightarrow \tau\tau\tilde{\chi}_1^0$	2 τ	-	Yes	20.3	$\tilde{\chi}_1^{\pm}, \tilde{\chi}_1^{\mp}$	700 GeV			1402.7029
Other	$\tilde{\chi}_1^0\tilde{\chi}_2^0, \tilde{\chi}_1^0\tilde{\chi}_2^0 \rightarrow l\ell\ell\ell$	4 e, μ	0	Yes	20.3	$\tilde{\chi}_1^0, \tilde{\chi}_2^0$	420 GeV			1403.5294, 1402.7029
	$\tilde{\chi}_1^0\tilde{\chi}_2^0, \tilde{\chi}_1^0\tilde{\chi}_2^0 \rightarrow l\ell\ell\ell$	4 e, μ	0	Yes	20.3	$\tilde{\chi}_1^0, \tilde{\chi}_2^0$	250 GeV			1501.07110
	GGM (wino NLSP) weak prod.	1 $e, \mu + \gamma$	-	Yes	20.3	\tilde{W}	620 GeV			1405.5086
						\tilde{W}	124-361 GeV			1507.05493
超寿命SUSY	Direct $\tilde{\chi}_1^{\pm}\tilde{\chi}_1^{\mp}$ prod., long-lived $\tilde{\chi}_1^{\pm}$	Disapp. trk	1 jet	Yes	20.3	$\tilde{\chi}_1^{\pm}$	270 GeV			1310.3675
	Direct $\tilde{\chi}_1^{\pm}\tilde{\chi}_1^{\mp}$ prod., long-lived $\tilde{\chi}_1^{\pm}$	dE/dx trk	-	Yes	18.4	$\tilde{\chi}_1^{\pm}$	482 GeV			1506.05332
	Stat. GM	-	1-5 jets	Yes	27.9	\tilde{g}	832 GeV			1310.6584
	Stat. GM	-	-	-	19.1	\tilde{g}	1.27 TeV			1411.6795
Rparity破るSUSY	GMSB, $\tilde{\chi}_1^0 \rightarrow y\tilde{G}$, long-lived $\tilde{\chi}_1^0$	2 γ	-	Yes	20.3	$\tilde{\chi}_1^0$	537 GeV			1411.6795
	$\tilde{g}\tilde{g}, \tilde{g} \rightarrow ee/\nu\mu/\mu\nu$	displ. ee/ep/ep/ep	-	-	20.3	\tilde{g}	435 GeV			1409.5542
	$\tilde{g}\tilde{g}, \tilde{g} \rightarrow Z\tilde{G}$	displ. vtx + jets	-	-	20.3	\tilde{g}	1.0 TeV			1504.05162
	$\tilde{g}\tilde{g}, \tilde{g} \rightarrow Z\tilde{G}$	displ. vtx + jets	-	-	20.3	\tilde{g}	1.0 TeV			1504.05162

10⁻¹ 1TeV Mass scale[TeV]

*Only a selection of the available mass limits on new states or phenomena is shown. All limits quoted are observed in signal cross sections.

Run 1 SUSY探索

ATLAS SUSY Searches* - 95% CL Lower Limits

Status: July 2015

ATLAS Preliminary

$\sqrt{s} = 7, 8 \text{ TeV}$

Reference

Model	e, μ, τ, γ	Jets	E_T^{miss}	$\int \mathcal{L} dt [\text{fb}^{-1}]$	Mass limit	$\sqrt{s} = 7 \text{ TeV}$	$\sqrt{s} = 8 \text{ TeV}$	Reference
Inclusive Searches	MSUGRA/CMSSM	0-3 $e, \mu / 1-2 \tau$	2-10 jets/3 b	Yes	20.3	\tilde{q}, \tilde{g}	1.8 TeV	1507.05525
	$\tilde{q}\tilde{q}, \tilde{q} \rightarrow q\tilde{q}^0$	0	2-6 jets	Yes	20.3	\tilde{q}	850 GeV	1405.7875
	$\tilde{q}\tilde{q}, \tilde{q} \rightarrow q\tilde{q}^0$ (compressed)	mono-jet	1-3 jets	Yes	20.3	\tilde{q}	100-440 GeV	1507.05525
	$\tilde{q}\tilde{q}, \tilde{q} \rightarrow q(\ell\ell/\ell\nu/\nu\nu)\tilde{\chi}_1^0$	2 e, μ (off-Z)	2 jets	Yes	20.3	\tilde{q}	780 GeV	1503.03290
	$\tilde{g}\tilde{g}, \tilde{g} \rightarrow q\tilde{q}\tilde{\chi}_1^0$	0	2-6 jets	Yes	20.3	\tilde{g}	1.33 TeV	1405.7875
	$\tilde{g}\tilde{g}, \tilde{g} \rightarrow q\tilde{q}\tilde{\chi}_1^0 \rightarrow q\bar{q}W^\pm\tilde{\chi}_1^0$	0-1 e, μ	2-6 jets	Yes	20	\tilde{g}	1.26 TeV	1507.05525
	$\tilde{g}\tilde{g}, \tilde{g} \rightarrow q\tilde{q}\tilde{\chi}_1^0 \rightarrow q\bar{q}W^\pm\tilde{\chi}_1^0$	-	-	-	20	\tilde{g}	1.32 TeV	1501.03555
	GM	-	-	-	-	\tilde{g}	1.6 TeV	1407.0603
	GG	-	-	-	-	\tilde{g}	1.29 TeV	1507.05493
	GGM (higgsino-bino NLSP)	γ	1 b	Yes	20.3	\tilde{g}	1.3 TeV	1507.05493
3rd gen. med.	GGM (higgsino-bino NLSP)	γ	2 jets	Yes	20.3	\tilde{g}	1.25 TeV	1507.05493
	GGM (higgsino NLSP)	2 e, μ (Z)	2 jets	Yes	20.3	\tilde{g}	850 GeV	1503.03290
	Gravitino LSP	0	mono-jet	Yes	20.3	$F^{1/2}$ scale	865 GeV	1502.01518
	$\tilde{g}\tilde{g}, \tilde{g} \rightarrow b\bar{b}\tilde{\chi}_1^0$	0-1 e, μ	3 b	Yes	20.1	\tilde{g}	1.25 TeV	1407.0600
3rd gen. direct production	$\tilde{g}\tilde{g}, \tilde{g} \rightarrow b\bar{b}\tilde{\chi}_1^0$	-	-	-	20.1	\tilde{g}	1.1 TeV	1308.1841
	$\tilde{g}\tilde{g}, \tilde{g} \rightarrow b\bar{b}\tilde{\chi}_1^0$	-	-	-	20.1	\tilde{g}	1.34 TeV	1407.0600
	$\tilde{g}\tilde{g}, \tilde{g} \rightarrow b\bar{b}\tilde{\chi}_1^0$	0-1 e, μ	3 b	Yes	20.1	\tilde{g}	1.3 TeV	1407.0600
	$b_1\tilde{b}_1, b_1 \rightarrow b\tilde{\chi}_1^0$	0	2 b	Yes	20.1	b_1	100-620 GeV	1308.2631
EW direct	$b_1\tilde{b}_1, b_1 \rightarrow b\tilde{\chi}_1^0$	2 e, μ (SS)	0-3 b	Yes	20.3	b_1	275-440 GeV	1404.2500
	$\tilde{l}_1\tilde{l}_1, \tilde{l}_1 \rightarrow l\tilde{\chi}_1^0$	-	-	-	-	\tilde{l}_1	-	583
	$\tilde{l}_1\tilde{l}_1, \tilde{l}_1 \rightarrow l\tilde{\chi}_1^0$	-	-	-	-	\tilde{l}_1	-	-
	$\tilde{l}_1\tilde{l}_1, \tilde{l}_1 \rightarrow l\tilde{\chi}_1^0$	-	-	-	-	\tilde{l}_1	-	-
Electron	$\tilde{e}_1\tilde{e}_1, \tilde{e}_1 \rightarrow e\tilde{\chi}_1^0$	-	-	-	-	\tilde{e}_1	-	029
	$\tilde{e}_1\tilde{e}_1, \tilde{e}_1 \rightarrow e\tilde{\chi}_1^0$	-	-	-	-	\tilde{e}_1	-	-
	$\tilde{e}_1\tilde{e}_1, \tilde{e}_1 \rightarrow e\tilde{\chi}_1^0$	-	-	-	-	\tilde{e}_1	-	-
	$\tilde{e}_1\tilde{e}_1, \tilde{e}_1 \rightarrow e\tilde{\chi}_1^0$	-	-	-	-	\tilde{e}_1	-	-
Long-lived particles	$\tilde{\chi}_{2,3}^0, \tilde{\chi}_{2,3}^0 \rightarrow l_R\ell$	4 e, μ	0	Yes	20.3	$\tilde{\chi}_{2,3}^0$	620 GeV	1405.5086
	GGM (wino NLSP) weak prod.	1 $e, \mu + \gamma$	-	Yes	20.3	\tilde{W}	124-361 GeV	1507.05493
	Direct $\tilde{\chi}_1^+ \tilde{\chi}_1^-$ prod., long-lived $\tilde{\chi}_1^{\pm}$	Disapp. trk	1 jet	Yes	20.3	$\tilde{\chi}_1^{\pm}$	270 GeV	1310.3675
	Direct $\tilde{\chi}_1^+ \tilde{\chi}_1^-$ prod., long-lived $\tilde{\chi}_1^{\pm}$	dE/dx trk	-	Yes	18.4	$\tilde{\chi}_1^{\pm}$	482 GeV	1506.05332
R parity	Stable $\tilde{\chi}_1^0$	-	1-5 jets	Yes	27.9	$\tilde{\chi}_1^0$	832 GeV	1310.6584
	Stable $\tilde{\chi}_1^0$	-	-	-	19.1	$\tilde{\chi}_1^0$	1.27 TeV	1411.6795
	GM	-	-	-	19.1	$\tilde{\chi}_1^0$	537 GeV	1411.6795
	GMSB, $\tilde{\chi}_1^0 \rightarrow y\tilde{G}$, long-lived $\tilde{\chi}_1^0$	2 γ	-	Yes	20.3	$\tilde{\chi}_1^0$	435 GeV	1409.5542
R parity	$\tilde{g}\tilde{g}, \tilde{g} \rightarrow ee/\nu\mu/\mu\nu$	displ. ee/ep/ep/ep	-	-	20.3	\tilde{g}	1.0 TeV	1504.05162
	$\tilde{g}\tilde{g}, \tilde{g} \rightarrow Z\tilde{G}$	displ. vtx + jets	-	-	20.3	\tilde{g}	1.0 TeV	1504.05162
	LFV $pp \rightarrow \tilde{\nu}_\tau + X, \tilde{\nu}_\tau \rightarrow e\mu/\tau\mu/\tau\tau$	$e\mu, e\tau, \mu\tau$	-	-	20.3	$\tilde{\nu}_\tau$	1.7 TeV	1503.04430
	Bilinear RPV CMSSM	2 e, μ (SS)	0-3 b	Yes	20.3	\tilde{q}, \tilde{g}	1.35 TeV	1404.2500
Other	$\tilde{\chi}_1^0, \tilde{\chi}_1^0 \rightarrow W\tilde{\chi}_1^0, \tilde{\chi}_1^0 \rightarrow ee\bar{v}, ee\bar{v}, ee\bar{v}$	4 e, μ	-	Yes	20.3	$\tilde{\chi}_1^0$	750 GeV	1405.5086
	$\tilde{g}\tilde{g}, \tilde{g} \rightarrow \tilde{\chi}_1^0 \tilde{\chi}_1^0 \rightarrow W\tilde{\chi}_1^0, \tilde{\chi}_1^0 \rightarrow ee\bar{v}, ee\bar{v}, ee\bar{v}$	-	-	-	20.3	$\tilde{\chi}_1^0$	450 GeV	1502.05666
	$\tilde{g}\tilde{g}, \tilde{g} \rightarrow \tilde{\chi}_1^0 \tilde{\chi}_1^0 \rightarrow W\tilde{\chi}_1^0, \tilde{\chi}_1^0 \rightarrow ee\bar{v}, ee\bar{v}, ee\bar{v}$	-	-	-	20.3	$\tilde{\chi}_1^0$	917 GeV	1502.05666
	$\tilde{g}\tilde{g}, \tilde{g} \rightarrow \tilde{\chi}_1^0 \tilde{\chi}_1^0 \rightarrow W\tilde{\chi}_1^0, \tilde{\chi}_1^0 \rightarrow ee\bar{v}, ee\bar{v}, ee\bar{v}$	-	-	-	20.3	$\tilde{\chi}_1^0$	870 GeV	1502.05666
$\tilde{t}_1 \tilde{t}_1 \rightarrow b\bar{b}, \tilde{t}_1 \tilde{t}_1 \rightarrow b\bar{b}$	$\tilde{g}\tilde{g}, \tilde{g} \rightarrow \tilde{\chi}_1^0 \tilde{\chi}_1^0 \rightarrow W\tilde{\chi}_1^0, \tilde{\chi}_1^0 \rightarrow ee\bar{v}, ee\bar{v}, ee\bar{v}$	2 e, μ (SS)	0-3 b	Yes	20.3	\tilde{g}	850 GeV	1404.2500
	$\tilde{t}_1 \tilde{t}_1 \rightarrow b\bar{b}, \tilde{t}_1 \tilde{t}_1 \rightarrow b\bar{b}$	0	2 jets + 2 b	-	20.3	\tilde{t}_1	100-308 GeV	ATLAS-CONF-2015-026
Scalar charm, $\tilde{c} \rightarrow c\tilde{\chi}_1^0$	$\tilde{t}_1 \tilde{t}_1 \rightarrow b\bar{b}, \tilde{t}_1 \tilde{t}_1 \rightarrow b\bar{b}$	2 e, μ	2 b	-	20.3	\tilde{t}_1	0.4-1.0 TeV	ATLAS-CONF-2015-015
	Scalar charm, $\tilde{c} \rightarrow c\tilde{\chi}_1^0$	0	2 c	Yes	20.3	\tilde{c}	490 GeV	m($\tilde{\chi}_1^0$)<200 GeV

10⁻¹ 1TeV Mass scale[TeV]

*Only a selection of the available mass limits on new states or phenomena is shown. All limits quoted are observed in signal cross sections.

Run 2のSUSY探索

2-6 jets + E_T^{miss} 探索

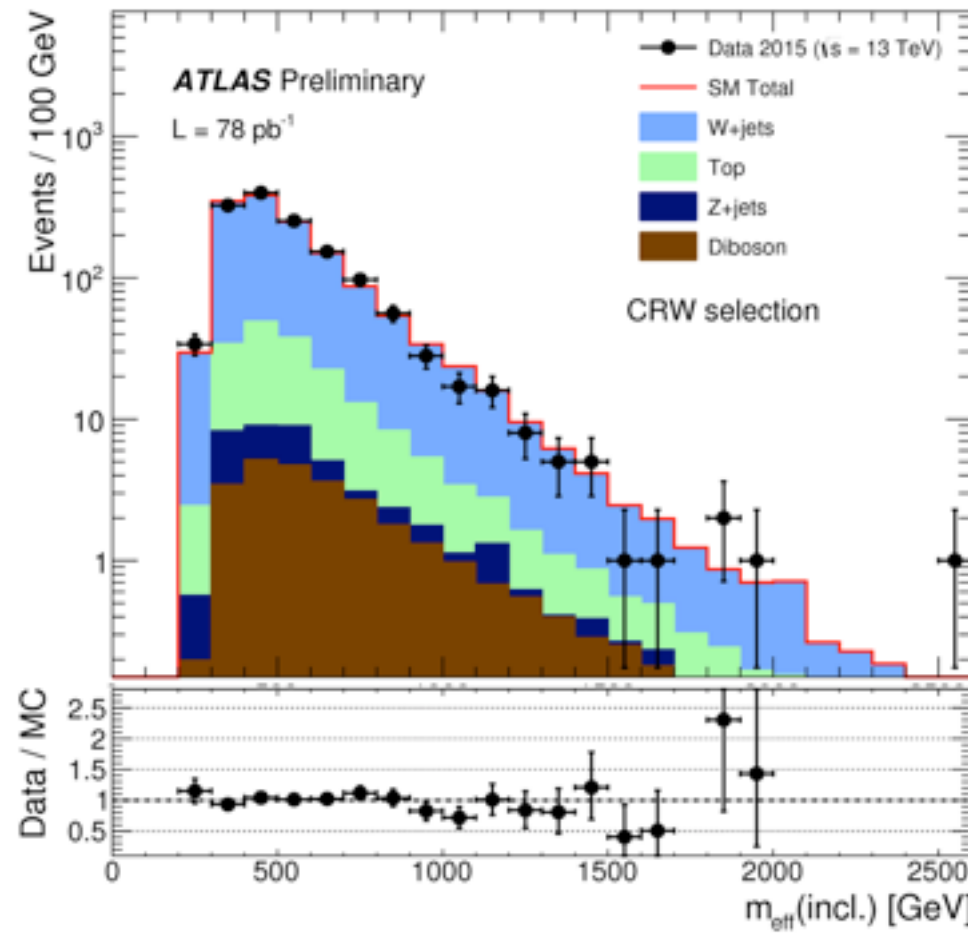
1-lepton control region

- ▶ == 1 e/ μ
- ▶ $E_T^{\text{miss}} > 100 \text{ GeV}$, $30 < m_T < 100 \text{ GeV}$
- ▶ ≥ 2 jets(100,60GeV), no b-jets

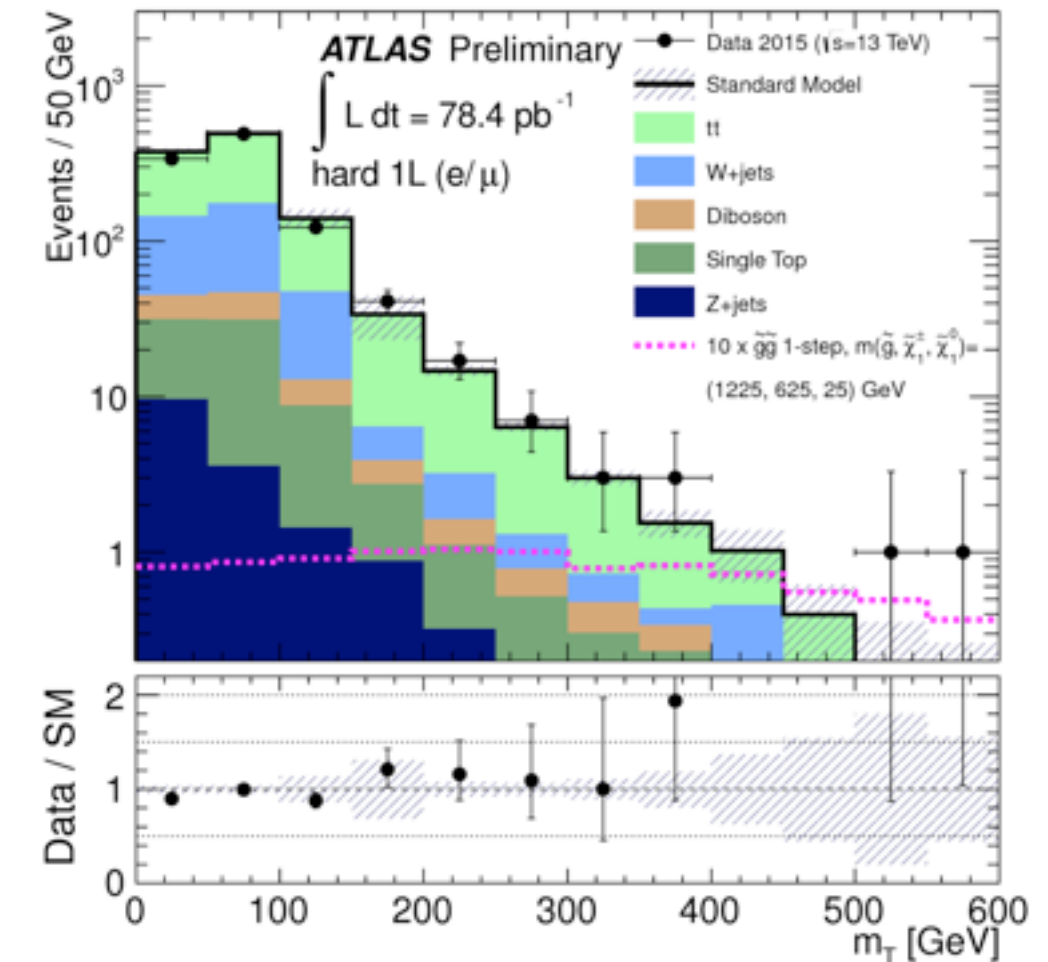
1-lepton+ ≥ 4 jets + E_T^{miss} 探索

pre-selection

- ▶ == 1 e/ μ
- ▶ $E_T^{\text{miss}} > 100 \text{ GeV}$
- ▶ ≥ 4 jets(30GeV)

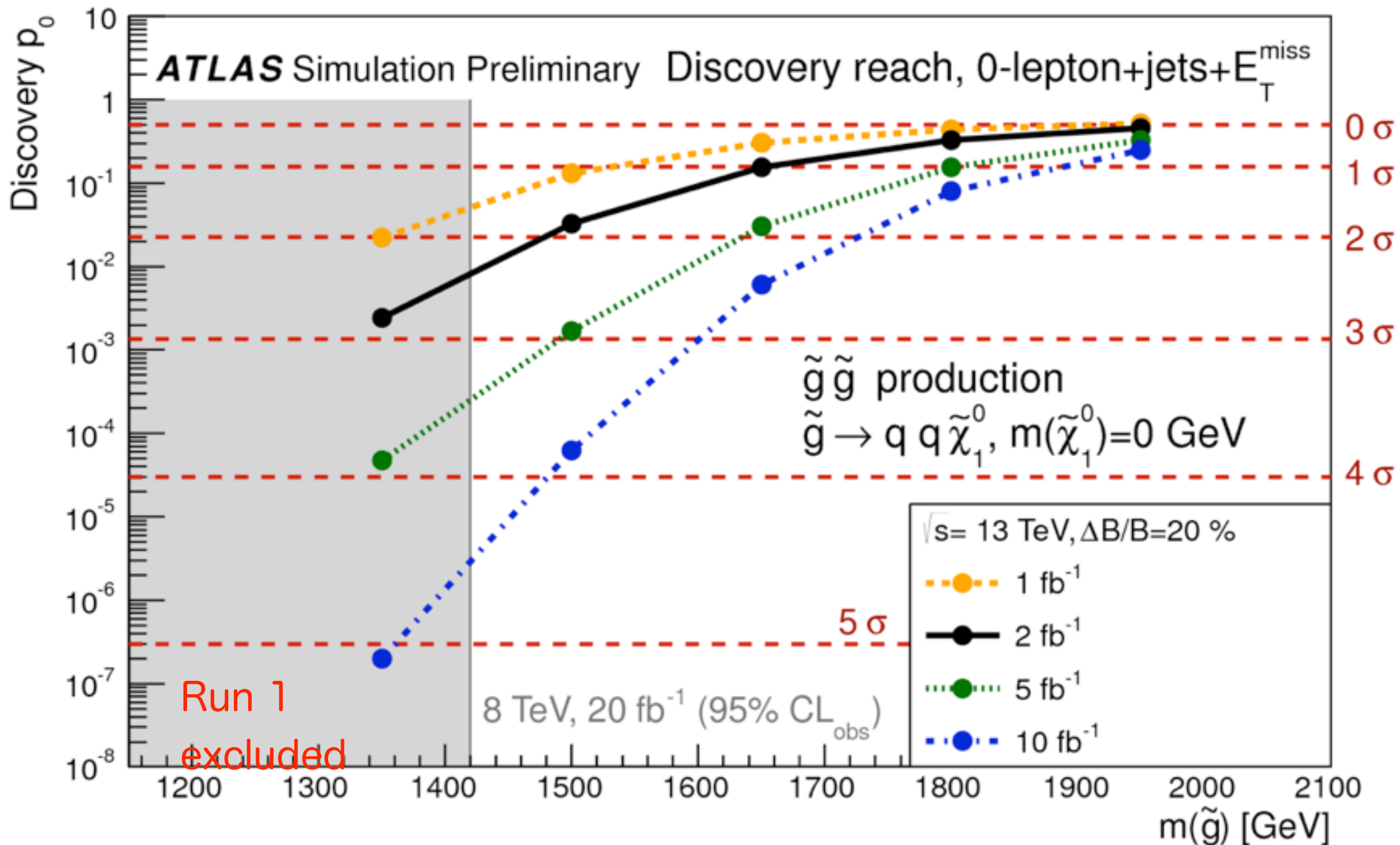


W+jets backgroundの理解



ttbar backgroundの理解

予想される探索感度



数 fb^{-1} のデータを用いれば、
Run 1 で exclude できなかった gluino を 3σ で観測できる

最後に

今年中に 3fb^{-1} 位は貯める予定

多くの新物理探索でRun1の感度を超える始める

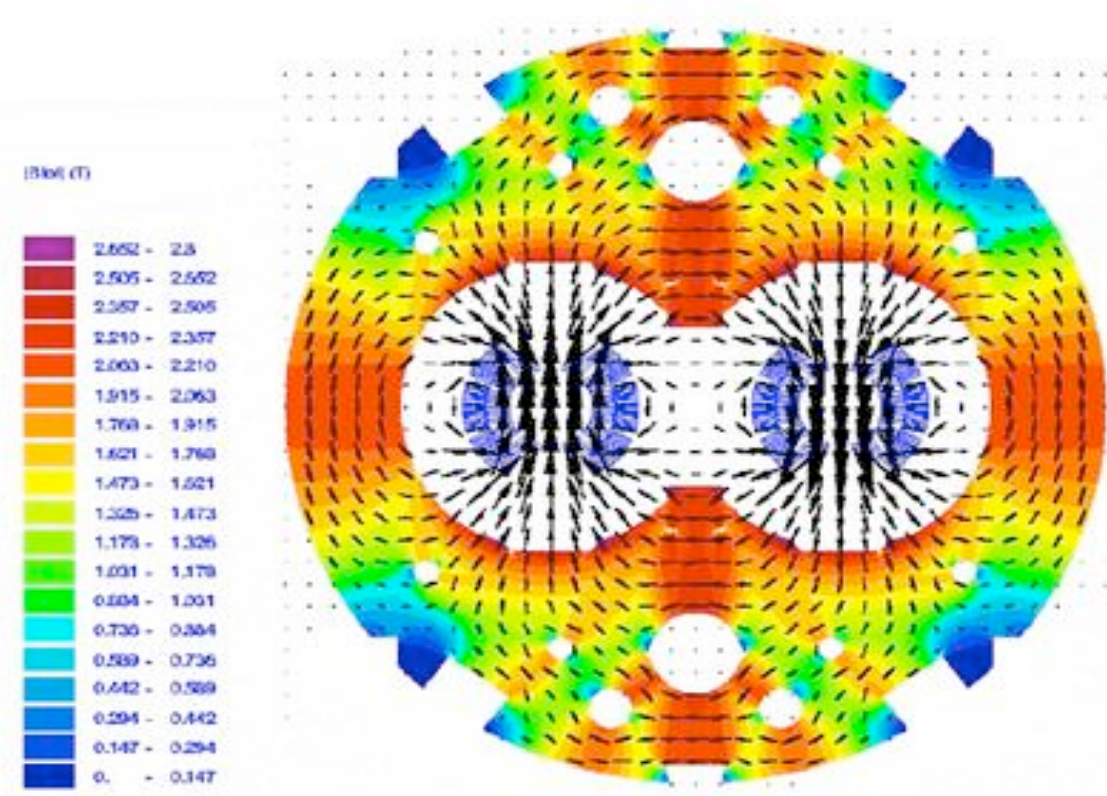
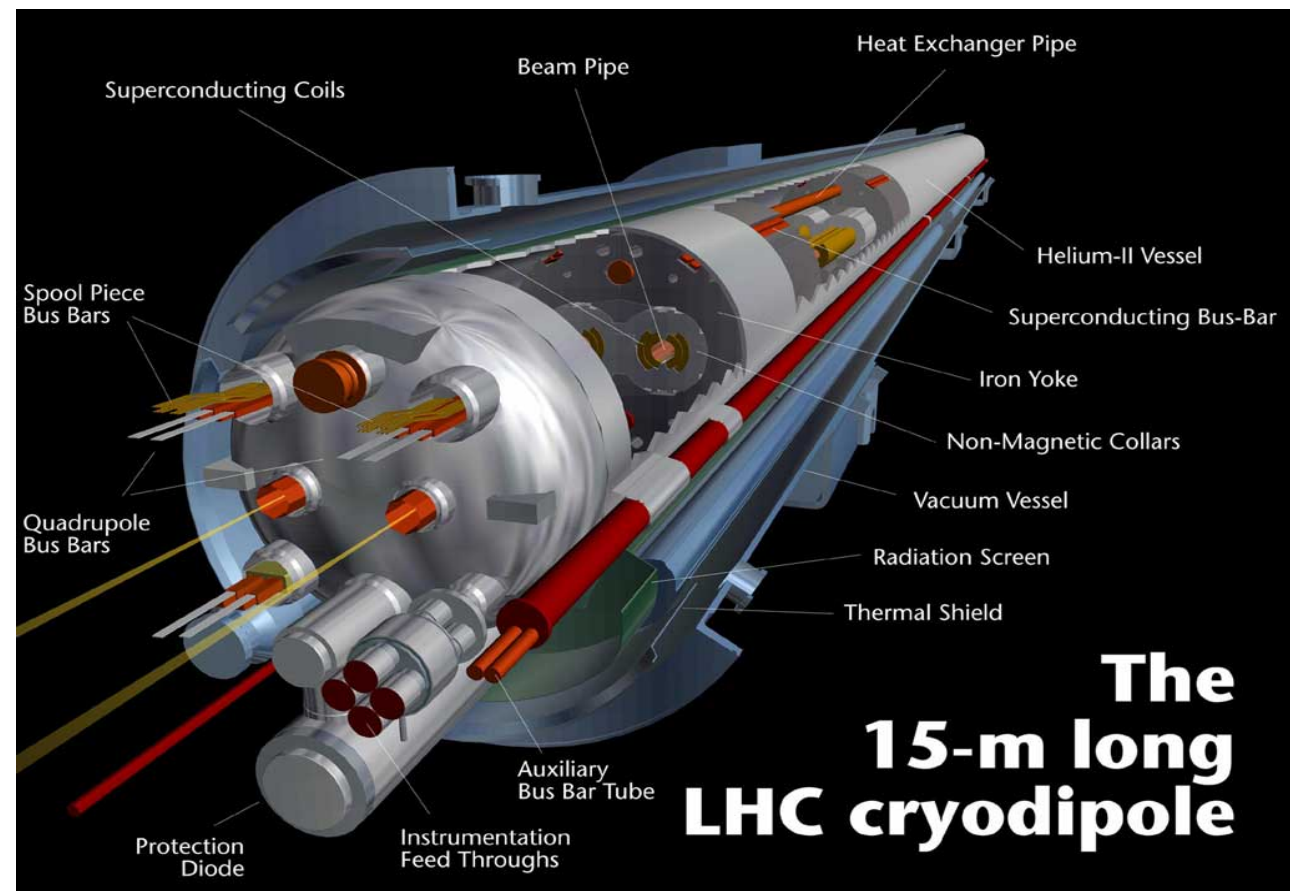
今年中に何が見えるか？
ご期待下さい！！

バックアップ

LHCのスペック

	Design	2015目標	現状
Beam Energy	7TeV	6.5TeV	6.5TeV
dipole磁場	8.33T	7.7T	7.7T
Peak Luminosity	$10^{34}\text{cm}^{-2}\text{s}^{-1}$	$1.3 \times 10^{34}\text{cm}^{-2}\text{s}^{-1}$	$0.3 \times 10^{34}\text{cm}^{-2}\text{s}^{-1}$
陽子数/Bunch	1.15×10^{11}	1.15×10^{11}	1.15×10^{11}
バンチ数/ビーム	2,808	2,802	1,321
バンチ間隔	25 ns	25 ns	25 ns
β^*	55 cm	40 cm	80cm

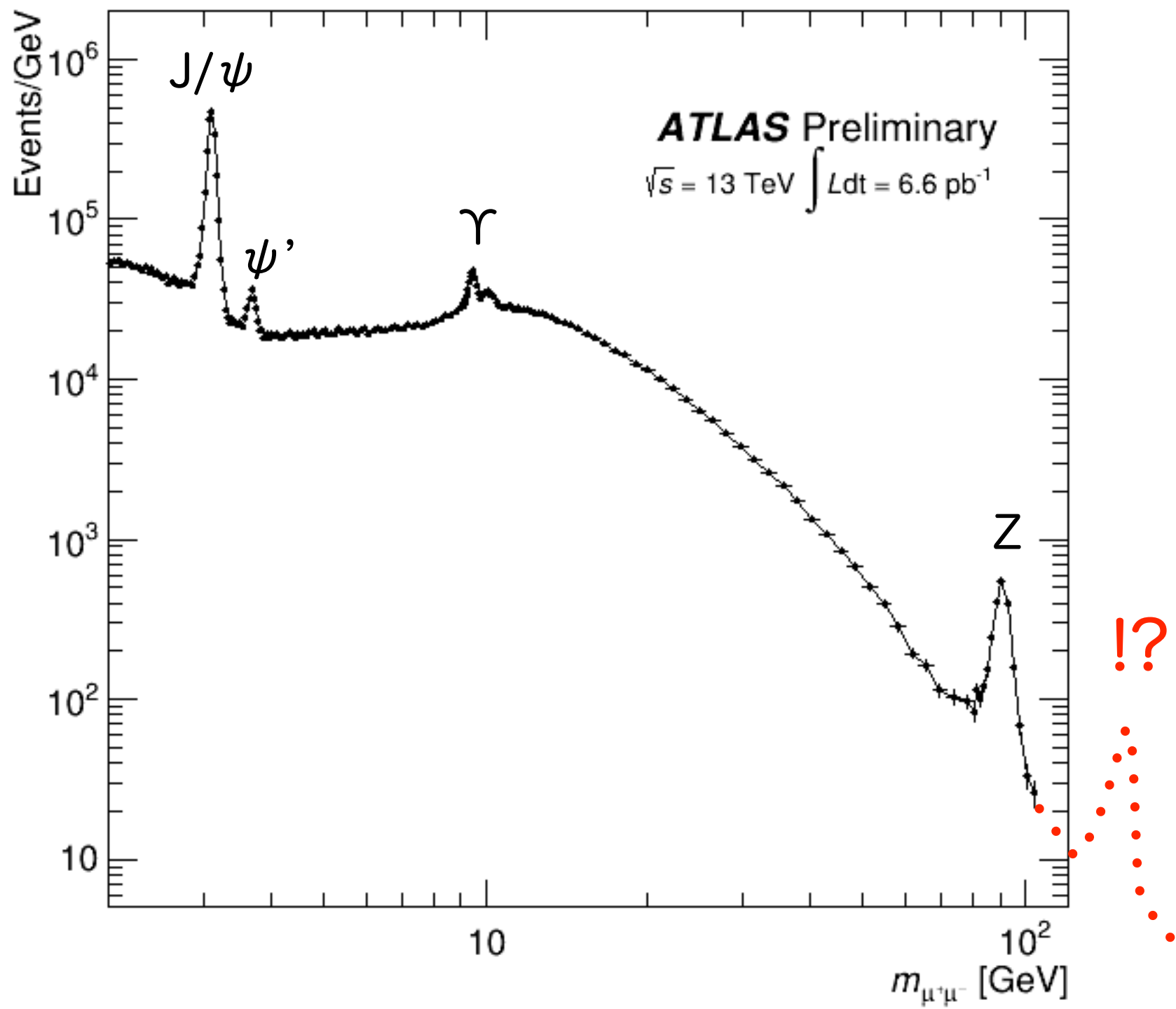
LHC加速器



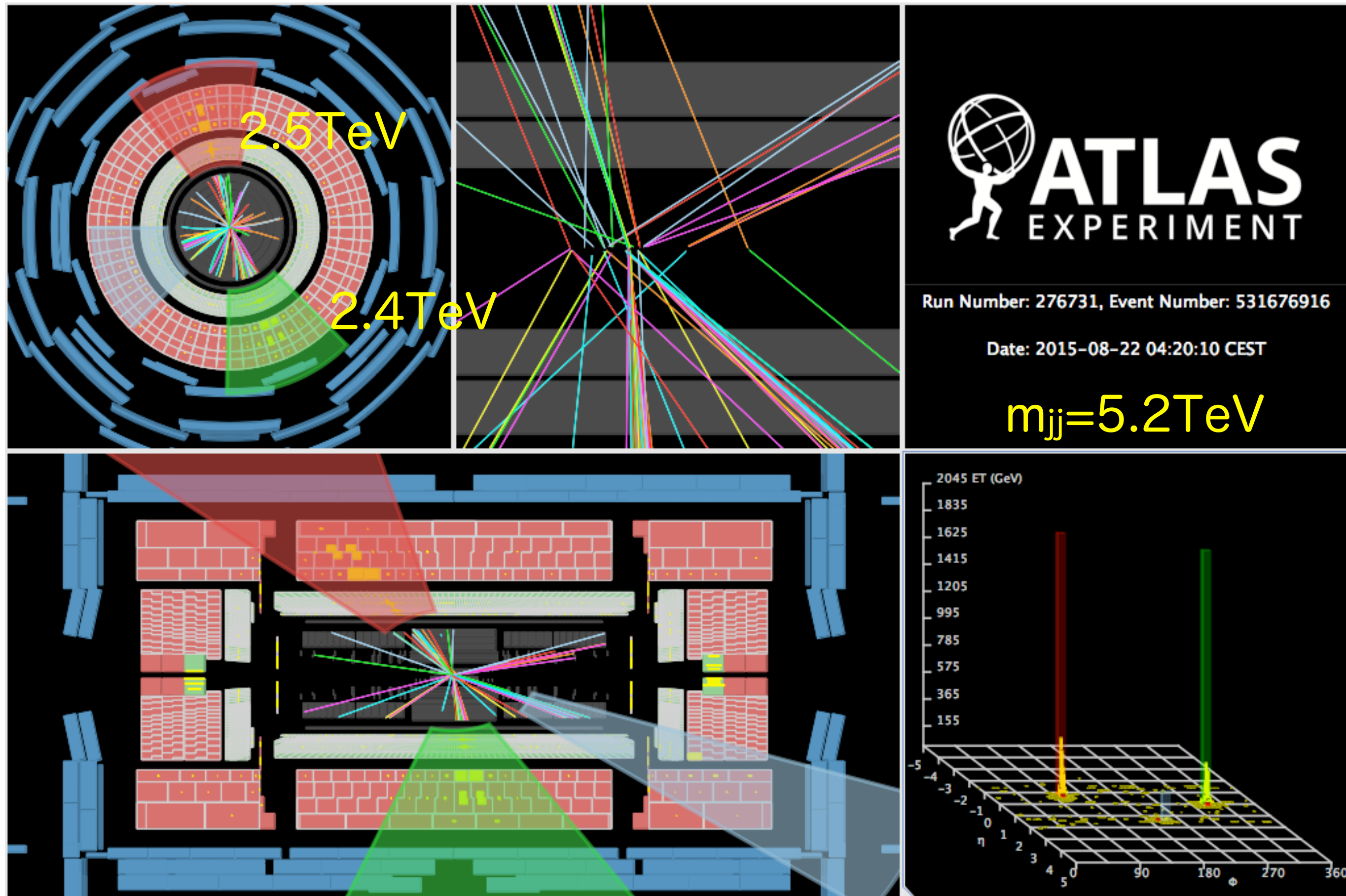
8.33テスラの超伝導磁石(1.9Kに冷却)



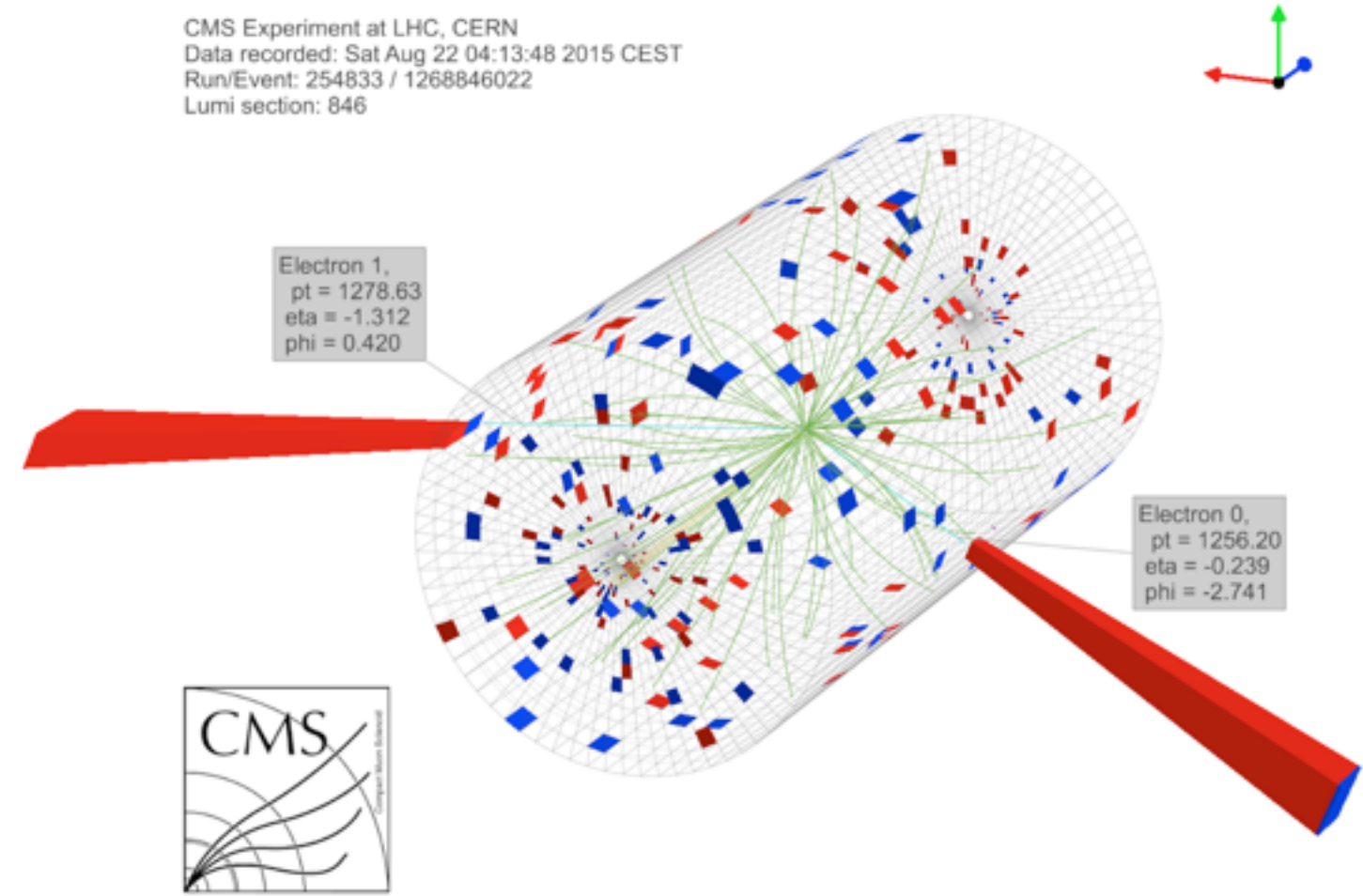
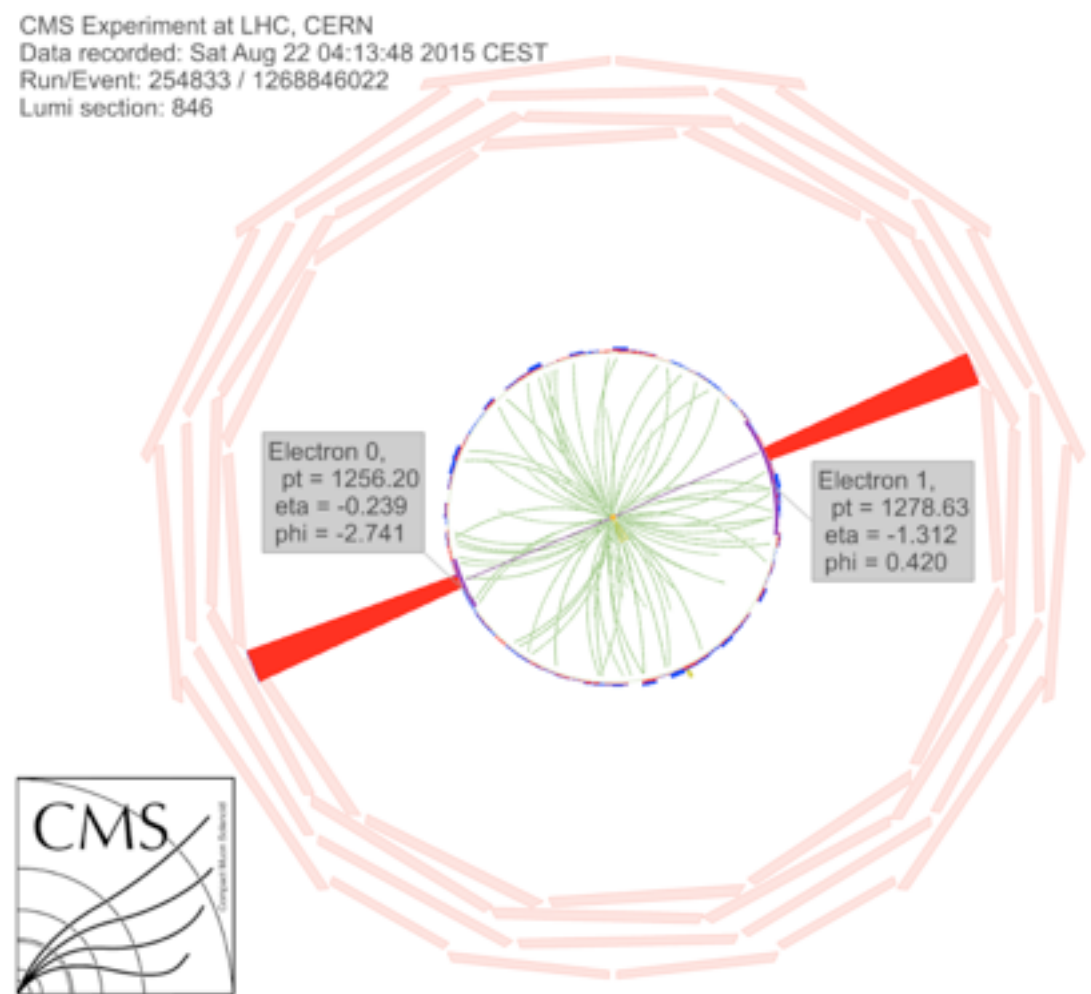
新粒子探索



最も m_{jj} の高いdijet事象

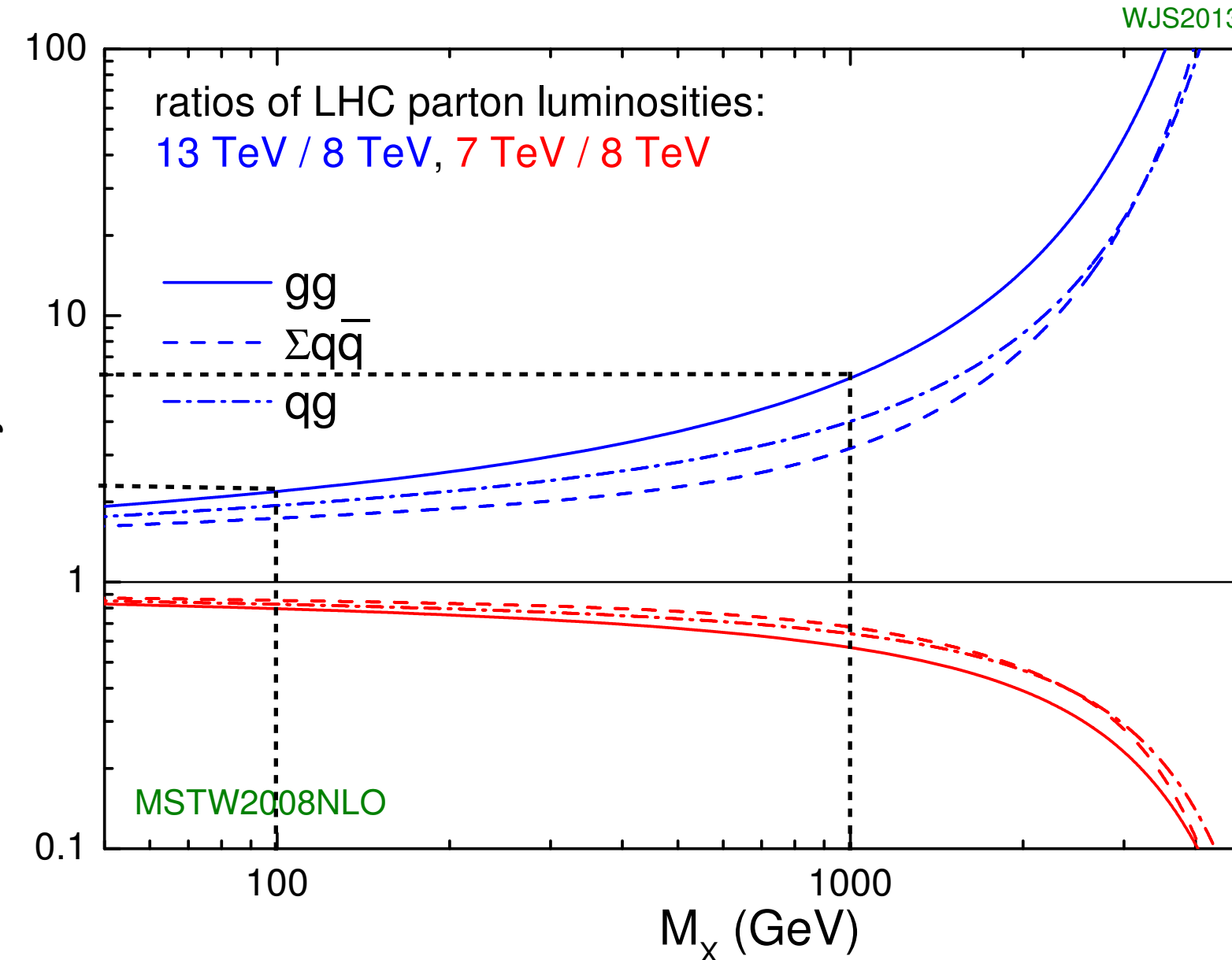


CMSの最も高い m_{ee} のdi-electron事象



7TeV→8TeV→13TeVへのご利益

\sqrt{s} を高くすると、重い粒子の生成が特に増加する



13TeV / 8TeV

- ヒッグス粒子 (100GeV) 生成 : ~2倍
- 超対称性粒子 (1TeV) 生成 : ~5倍

